

**821/FT.01/SKRIP/07/2008**

**UJI INTEGRITAS TIANG BETON DAN TIANG BAJA  
DENGAN MENGGUNAKAN METODE  
LOW STRAIN DYNAMIC TEST**

**SKRIPSI**



**Oleh**  
**HARRY RINALDI**  

---

**04 02 01 033 6**

**SKRIPSIINI DIAJUKAN UNTUK MELENGKAPI SEBAGIAN  
PERSYARATAN MENJADI SARJANA TEKNIK**

**DEPARTEMEN TEKNIK SIPIL  
FAKULTAS TEKNIK UNIVERSITAS INDONESIA  
GENAP 2007/2008**

821/FT.01/SKRIP/07/2008

**INTEGRITY TESTING  
ON STEEL AND CONCRETE PILE  
USING LOW STRAIN DYNAMIC TEST METHOD**

**FINAL ASSIGNMENT**



**HARRY RINALDI**

**04 02 01 033 6**

**THIS FINAL ASSIGNMENT IS PROPOSED TO COMPLETE  
ONE OF THE REQUIREMENTS TO ACHIEVE  
AN ENGINEERING BACHELOR DEGREE**

**DEPARTMENT OF CIVIL ENGINEERING  
ENGINEERING FACULTY UNIVERSITY OF INDONESIA  
EVEN 2007/2008**

## **PERNYATAAN KEASLIAN SKRIPSI**

Saya menyatakan dengan sesungguhnya bahwa skripsi dengan judul :

### **UJI INTEGRITAS TIANG BETON DAN TIANG BAJA DENGAN MENGGUNAKAN METODE LOW STRAIN DYNAMIC TEST**

yang dibuat untuk melengkapi sebagian persyaratan menjadi Sarjana Teknik pada Program Studi Teknik Sipil Departemen Teknik Sipil Fakultas Teknik Universitas Indonesia, sejauh yang saya ketahui bukan merupakan tiruan atau duplikasi dari skripsi yang sudah dipublikasikan dan atau pernah dipakai untuk mendapatkan gelar kesarjanaan di lingkungan Universitas Indonesia maupun di Perguruan Tinggi atau Instansi manapun, kecuali bagian yang sumber informasinya dicantumkan sebagaimana mestinya.

Depok, 15 Juli 2008

Harry Rinaldi

NPM 04 02 01 033 6

## **FINAL ASSIGNMENT ORIGINALITY CLARIFICATION**

I hereby state that final assignment titled :

### **INTEGRITY TESTING ON STEEL AND CONCRETE PILE USING LOW STRAIN DYNAMIC TEST METHOD**

which is submitted to fulfill one of requirement needed to achieve Bachelor Degree in Civil Engineering Department Faculty of Engineering University of Indonesia, is my own work. This final assignment is the original copy and not duplication of other final assignment that have been published or used to gain Bachelor Degree in University of Indonesia as well as other university or any other institute, unless the references included as they should be.

Depok, July 15 2008

Harry Rinaldi

NPM 04 02 01 033 6

## **PENGESAHAN**

Skripsi dengan judul :

### **UJI INTEGRITAS TIANG BETON DAN TIANG BAJA DENGAN MENGGUNAKAN METODE LOW STRAIN DYNAMIC TEST**

dibuat untuk melengkapi sebagian persyaratan menjadi Sarjana Teknik pada Program Studi Teknik Sipil Departemen Teknik Sipil Fakultas Teknik Universitas Indonesia. Skripsi ini telah diujikan pada sidang ujian skripsi pada tanggal 10 Juli 2008 dan dinyatakan memenuhi syarat/sah sebagai skripsi pada Departemen Teknik Sipil Fakultas Teknik Universitas Indonesia.

Depok, 15 Juli 2008

Dosen Pembimbing I

Dosen Pembimbing II

Dr. Ing-. Ir. Henki W Ashadi  
NIP. 131 845 375

Ir. Widjojo A Prakoso, M.Sc Ph.D  
NIP. 132 127 786

## **APPROVAL**

Final assignment titled :

### **INTEGRITY TESTING ON STEEL AND CONCRETE PILE USING LOW STRAIN DYNAMIC TEST METHOD**

is submitted to fulfill one of requirement needed to achieve Bachelor Degree in Civil Engineering Department Faculty of Engineering University of Indonesia, is my own work. This final assignment has been examined at July, 10 2008 and approved as final assignment on Civil Engineering Department Faculty of Engineering University of Indonesia.

Depok, July 15 2008

Counsellor I

Counsellor II

Dr. Ing-. Ir. Henki W Ashadi  
NIP. 131. 845 375

Ir. Widjojo A Prakoso, M.Sc Ph.D  
NIP. 132 127 786

Harry Rinaldi NPM 04 02 01 033 6 Departemen Teknik Sipil	Dosen Pembimbing Dr. Ing-. Ir. Henki W. Ashadi Ir. Widjojo A. Prakoso M.Sc Ph.D
--	---

**UJI INTEGRITAS TIANG BETON DAN TIANG BAJA  
DENGAN MENGGUNAKAN METODE  
LOW STRAIN DYNAMIC TEST**

**ABSTRAK**

Kerusakan pada tiang beton dan tiang baja yang disebabkan selama konstruksi ataupun setelah konstruksi dapat secara serius mempengaruhi kemampulayanan dari suatu struktur bangunan. Uji pembebanan statik dapat mengecek asumsi kapasitas rencana dari pondasi tiang. Namun, hal tersebut sangat mahal dan banyak memakan waktu jika metode tersebut digunakan untuk mengecek keutuhan dari tiang.

Metode Non-destructive terkini berdasarkan teknik low strain impulse dapat secara cepat dan ekonomis mengecek keutuhan seluruh pondasi tiang di lapangan. Metode ini menggunakan sinyal dari hasil tumbukan antara palu dengan kepala tiang. Pantulan gelombang tegangan dari ketidakseragamanan tiang atau kaki tiang diamati pada kepala tiang melalui akcelerometer, diproses dan diinterpretasikan oleh engineer berpengalaman.

Dalam penelitian ini, tiang beton dan baja diujicoba dengan menggunakan metode ini dengan menggunakan alat yang dinamakan Pile Integrity Tester (PIT) hasilnya akan diinterpretasi dan dianalisa.

**Kata kunci : Akselerometer, FFT, Low Strain Dynamic, Pile Integrity Test, Sonic Echo Method, Tiang Beton, Tiang Baja**

Harry Rinaldi NPM 04 02 01 033 6 Departemen Teknik Sipil	Counselor Dr. Ing-. Ir. Henki W. Ashadi Ir. Widjojo A. Prakoso M.Sc Ph.D
--	--

## **INTEGRITY TESTING ON STEEL AND CONCRETE PILE USING LOW STRAIN DYNAMIC TEST METHOD**

### **ABSTRACT**

Defect in concrete and steel piles caused either during or after construction may seriously affect their performance on a structure. Load testing of piles may be used to check the assumption adopted in the load capacity design of the piles. However, it is too expensive and time consuming to use load testing as a means of checking pile's integrity.

Modern non-destructive method based on small strain impulse technique enable the integrity of all the pile on a site to be established rapidly and economically to enhance greatly confidence in the foundation. The method uses signals from a hand held hammer impacting the pile top and generating a compressive stress wave in the pile. Stress wave reflection from non-uniformities or the pile toe are observed at the pile top, processed and interpreted by the experienced test engineer.

In this research, Steel and Concrete Pile are test with this method using equipment called Pile Integrity Tester then the result interpreted and analyzed.

**Key Note : Accelerometer, FFT, Low Strain Dynamic, Pile Integrity Test, Sonic Echo Method, Concrete Pile, Steel Pile**

## DAFTAR ISI

PERNYATAAN KEASLIAN SKRIPSI	ii
PENGESAHAN	iii
UCAPAN TERIMA KASIH	iv
ABSTRAK	v
ABSTRACT	vi
DAFTAR ISI	vii
DAFTAR GAMBAR	x
DAFTAR LAMPIRAN	xii
DAFTAR SINGKATAN	xiii
DAFTAR SIMBOL	xiv
BAB I PENDAHULUAN	1
1.1 Latar Belakang	1
1.2 Deskripsi Masalah	2
1.3 Tujuan Penelitian	3
1.4 Batasan Penelitian	3
1.5 Sistematika Penulisan	4
BAB II STUDI LITERATUR	5
2.1 Pengenalan PIT	5
2.1.1 Perambatan Gelombang pada Tiang	5
2.1.2 Perangkat Penelitian	6
2.1.2.1 Akselerometer	7
2.1.2.2 Hammer	8
2.1.2.3 PIT Collector	8
2.2 Metode Analisis PIT	9
2.2.1 Pulse Echo Method	10
2.2.2 Transient Response Method	11
2.2.3 Analisis Profil	14
2.3 Teori Integrasi Numerik	17

2.3.1	Aturan Trapesium	17
2.3.2	Aturan Simpsons	20
2.4	Analisis Fourier	21
2.4.1	Transformasi Fourier	22
2.4.2	MATLAB dan FFT	23
2.5	Teori Kekakuan	25
BAB	III METODOLOGI PENELITIAN	28
3.1	Pendahuluan	28
3.2	Sampel Tiang Beton	28
3.2.1	Alat dan Bahan	28
3.2.2	Ukuran Tiang Beton	28
3.2.3	Proses Pembuatan Tiang Beton	29
3.3	Sampel Tiang Baja	30
3.4	Prosedur Pengambilan Data Melalui PIT	31
3.5	Metodologi Pengolahan Data	34
BAB	IV ANALISA HASIL PERCOBAAN	35
4.1	Karakteristik Data Rekaman PIT	35
4.1.1	Time Increment	35
4.1.2	Frequency Increment	36
4.2	Interpretasi Hasil Percobaan	37
4.2.1	Metode Time Domain	37
4.2.2	Metode Frequency Domain	41
4.2.3	Perhitungan dengan Mobility	45
4.3	Perbandingan Grafik	48
4.4	Perbandingan Perhitungan Secara Manual	56
BAB	V KESIMPULAN DAN SARAN	58
5.1	Kesimpulan	58
5.2	Saran	59

DAFTAR PUSTAKA	60
LAMPIRAN	61



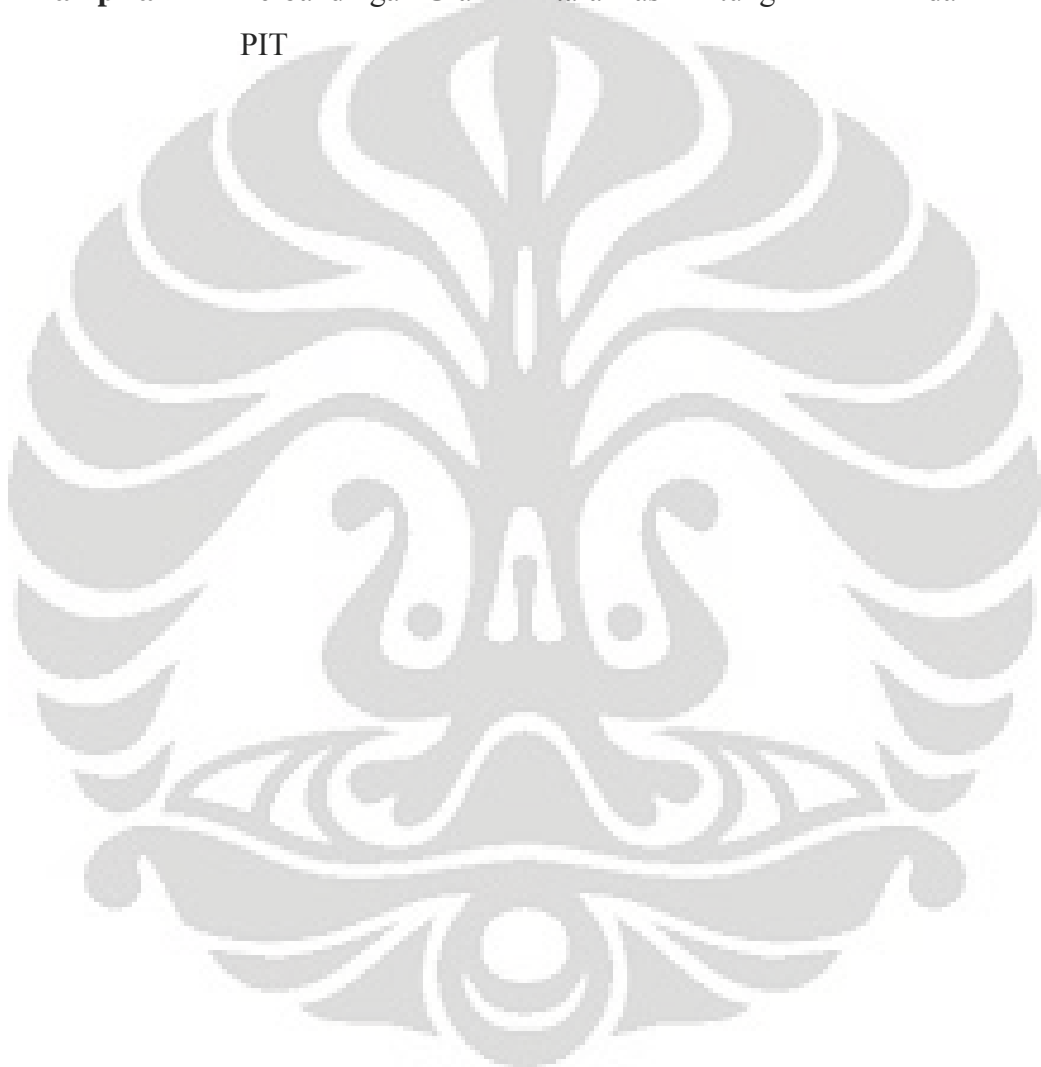
## DAFTAR GAMBAR

	Halaman	
<b>Gambar 2.1</b>	Ilustrasi perjalanan gelombang tegangan	6
<b>Gambar 2.2</b>	Komponen PIT di lapangan	7
<b>Gambar 2.3</b>	Ilustrasi pemasangan PIT	9
<b>Gambar 2.4</b>	Diagram alir metode PEM	10
<b>Gambar 2.5</b>	Contoh output PEM: velocity vs time	11
<b>Gambar 2.6</b>	Diagram alir metode TRM	12
<b>Gambar 2.7</b>	Contoh output TRM: amplitudo <i>vs</i> frekuensi	13
<b>Gambar 2.8</b>	Output Profile Analysis	15
<b>Gambar 2.9</b>	Ilustrasi efek tahanan tanah terhadap kecepatan pada tiang uniform	16
<b>Gambar 2.10</b>	Ilustrasi efek tahanan tanah terhadap kecepatan pada tiang non-uniform	17
<b>Gambar 2.11</b>	Ilustrasi integral dari suatu kurva aturan trapesium	18
<b>Gambar 2.12</b>	Integral dari suatu kurva menggunakan aturan trapesium	19
<b>Gambar 2.13</b>	Ilustrasi integral dari suatu kurva aturan Simpsons	20
<b>Gambar 2.14</b>	Integral dari suatu kurva menggunakan aturan Simpsons	21
<b>Gambar 2.15</b>	Titik-titik data dari deret Fourier diskrit	23
<b>Gambar 2.16</b>	Perbandingan hasil FFT pada fungsi cosinus dengan variasi N-point FFT	25
<b>Gambar 2.17</b>	Pengaruh redaman terhadap displacement pada benda bergetar	27
<b>Gambar 3.1</b>	Ilustrasi beton yang digunakan	29
<b>Gambar 3.2</b>	Tiang baja	30
<b>Gambar 4.1</b>	Perhitungan wavespeed dengan time domain pada tiang 2, L = 1,5 m	38
<b>Gambar 4.2</b>	Perhitungan wavespeed tiang 2 dengan acquisition rate 150K SPS	38
<b>Gambar 4.3</b>	Perhitungan wavespeed dengan time domain pada tiang 1, L = 1,1 m	39
<b>Gambar 4.4</b>	Perhitungan wavespeed dengan time domain pada tiang 4 (RC),	

L = 1,4 m	39	
<b>Gambar 4.5</b>	Perhitungan wavespeed dengan time domain pada tiang baja 1B, L = 1 m	40
<b>Gambar 4.6</b>	Perhitungan wavespeed dengan time domain pada tiang baja 2B, L = 2 m	41
<b>Gambar 4.7</b>	Perhitungan wavespeed dengan time domain pada tiang baja 3B, L = 3 m	41
<b>Gambar 4.8</b>	Perhitungan wavespeed dengan frequency domain pada tiang 2, L = 1,5 m	42
<b>Gambar 4.9</b>	Perhitungan wavespeed dengan frequency domain pada tiang 1, L = 1,1 m	43
<b>Gambar 4.10</b>	Perhitungan wavespeed dengan frequency domain pada tiang RC, L = 1,4 m	43
<b>Gambar 4.11</b>	Perhitungan dgn frequency domain pada tiang baja 1B, L = 1 m	44
<b>Gambar 4.12</b>	Perhitungan dgn frequency domain pada tiang baja 2B, L = 2 m	44
<b>Gambar 4.13</b>	Perhitungan dgn frequency domain pada tiang baja 3B, L = 3 m	45
<b>Gambar 4.14</b>	Grafik gaya impuls (F/Z) pada beton 2	45
<b>Gambar 4.15</b>	Grafik spektrum kecepatan dan spektrum gaya pada beton 2	46
<b>Gambar 4.16</b>	Grafik mobility pada beton 2	47
<b>Gambar 4.17</b>	Grafik mobility pada beton 1	47
<b>Gambar 4.18</b>	Grafik mobility pada beton 3 (Cacat)	48
<b>Gambar 4.19</b>	Grafik gaya impuls (F/Z) pada beton 2	49
<b>Gambar 4.20</b>	Hasil perbandingan antara MATLAB dan PIT pada perhitungan kecepatan dan spektrum kecepatan	52
<b>Gambar 4.21</b>	Hasil perbandingan antara MATLAB dan PIT pada perhitungan kecepatan, gaya, spektrum kecepatan dan spektrum gaya	55
<b>Gambar 4.22</b>	Hasil perbandingan antara MATLAB dan PIT pada perhitungan mobility	55
<b>Gambar 4.23</b>	Contoh perbandingan MATLAB dan PIT pada data yang penulis ambil	56

## DAFTAR LAMPIRAN

<b>Lampiran 1</b>	Perbandingan Grafik-Grafik Hasil Pengujian di Lapangan	61
<b>Lampiran 2</b>	Script MATLAB	67
<b>Lampiran 3</b>	Tabel Perbandingan Perhitungan MATLAB dan PIT	71
<b>Lampiran 4</b>	Perbandingan Grafik Antara Hasil Hitung MATLAB dan PIT	93



## **DAFTAR SINGKATAN**

PIT	Pile Integrity Test
PDA	Pile Driving Analyzer
NDE	Non-Destructive Evaluation
PEM	Pulse Echo Method
TRM	Transient Response Method
FFT	Fast Fourier Transform
PC	Personal Computer
UPV	Ultrasonic Pulse Velocity

## DAFTAR SIMBOL

<b>Simbol</b>	<b>Keterangan</b>	<b>Dimensi</b>
$v_c$	Kecepatan rambat gelombang	m/s
$E$	Modulus Elastisitas	N/m <sup>2</sup>
$\rho$	Kerapatan material atau <i>density</i>	kg/m <sup>3</sup>
$t$	Waktu	s
$l$	Jarak	m
$a = \ddot{y}$	Percepatan	m/s <sup>2</sup>
$v = \dot{y}$	Kecepatan	m/s
$g$	Percepatan Gravitasi	m/s <sup>2</sup>
$Z$	Impedansi	kg/s
$p$	Tegangan gelombang	N/m <sup>2</sup> atau Pa
$A$	Luas penampang	m <sup>2</sup>
$F$	Gaya	N
$Z_0$	Karakteristik Impedansi	N·s/m <sup>3</sup> atau Pa·s/m
$v(\omega)$	Spektrum velocity	
$F(\omega)$	Spektrum gaya	
$M=N$	Mobility	
$P$	Nilai maksimum mobility peak	
$Q$	Nilai manimum mobility peak	
$f$	frekuensi	Hz
$Ed$	Dynamic Stiffness	kN/m

# BAB I

## PENDAHULUAN

### 1.1 LATAR BELAKANG

Dalam suatu perencanaan struktur bangunan, perencanaan pondasi merupakan salah satu hal yang penting untuk direncanakan secara seksama karena pondasi merupakan struktur penahan dari beban-beban yang diatasnya. Banyak kasus kegagalan bangunan terjadi akibat kegagalan pondasi yang tidak dapat diperbaiki sehingga seluruh bangunan (gedung atau jembatan) tidak dapat berfungsi lagi, atau untuk perbaikannya memerlukan biaya tinggi. Upaya pencegahan kegagalan pondasi harus sejak dini dilakukan yaitu dari mulai tahapan penyelidikan tanah di lapangan (*in situ test*) dan di laboratorium mekanika tanah, perencanaan dan perhitungan daya dukung pondasi serta penurunannya, hingga tahap pelaksanaan pondasi. Untuk pondasi dalam tahapan terakhir menjadi sangat penting karena kinerja/kualitas dari pondasi sangat tergantung dari metode, peralatan dan kecakapan kerja tim.

Ada dua aspek yang harus diperhatikan pada pelaksanaan *quality control* dari pondasi tiang yaitu aspek daya dukung tiang dan aspek integritas tiang. Pengujian daya dukung tiang dapat dilakukan dengan uji beban statik (pembebanan langsung dengan *kentledge system* maupun *anchor system*) dan uji beban dinamik (metode *Pile Driving Analyzer* atau PDA).

Khusus masalah integritas pondasi tiang, karena keberadaannya di dalam tanah yang tidak dapat dilihat dengan mata, maka masalah ini menjadi cukup rumit. Untuk tiang jenis beton *precast* dan tiang baja masalah integritas tiang mungkin lebih mudah pengontrolannya. Misalnya untuk tiang beton precast masalah integritas tiang adalah kemungkinan terjadinya retak, karena pengangkatan tiang yang salah ataupun pemancangan yang berlebihan atau tidak sentris.

Untuk tiang bor, maka masalah kontrol integritas menjadi sangat penting, karena hasil atau kualitas tiang bor sangat tergantung dari kecakapan kerja tim di lapangan. Masalah integritas tiang bor yang sering dijumpai adalah panjang tiang

yang lebih pendek dari yang telah ditetapkan, *necking* atau penyempitan penampang, pembersihan lubang bor, keropos akibat pengangkatan pipa tremie terlalu cepat dan sebagainya.

Beberapa tahun belakangan ini teknik *Non-Destructive Evaluation* (NDE) telah banyak digunakan untuk pelaksanaan quality control pada pondasi dalam. Fakta menyebutkan bahwa *sonic echo* dan *impulse response method* telah secara luas dipergunakan untuk pengecekan panjang, kontinuitas dan integritas dari pemasangan pondasi. Selama beberapa tahun belakangan ini pula serangkaian uji coba untuk menginvestigasi keberadaan pondasi dengan kondisi-kondisi “tak tentu” semakin banyak dilakukan.

Salah satu pengaplikasian teknik NDE untuk pelaksanaan *quality control* pada pondasi tiang adalah alat *Pile Integrity Tester* (PIT). PIT telah cukup banyak dikenal oleh para praktisi struktur. Di Indonesia pemakaian PIT praktis masih sangat rendah<sup>1</sup>. Hal ini patut disayangkan, karena PIT dapat dijadikan sebagai salah satu acuan, terutama untuk tiang bor, untuk menentukan tingkat integritas tiang secara akurat, cepat dan murah.

## 1.2 DESKRIPSI MASALAH

PIT salah satu aplikasi teknik NDE merupakan teknologi terkini untuk memprediksi keutuhan tiang secara cepat dan relatif murah. Inti dari alat ini sebenarnya cukup sederhana yaitu bagaimana membaca, mengolah dan menyajikan data yang dihasilkan oleh akselerometer akibat tumbukan yang dikenakan dengan palu tangan (*hand hammer*) pada kepala tiang (*pile top*). Akselerometer adalah alat untuk membaca data percepatan (perubahan kecepatan dari benda yang bergetar). Dengan berdasarkan *wave propagation theory* maka kepala tiang, kaki tiang (*pile toe*) dan kerusakan-kerusakan yang tergolong besar (*major defect*) dapat terlihat pada grafik yang dihasilkan dari data-data ini.

Skripsi ini membahas bagaimana cara mengolah data-data mentah yang dibaca akselerometer tersebut menjadi data yang dapat memprediksi kualitas sebuah tiang. Dalam penelitian ini, sampel tiang yang dipergunakan adalah beton dan baja skala laboratorium rasio L/D sekitar 20.

---

<sup>1</sup> Hardjasaputra, Harianto “Strategi Pencegahan Kegagalan Pondasi dengan Melakukan Rangkaian Uji Coba Beban Serta Uji Integritas Tiang Pondasi”

### **1.3 TUJUAN PENELITIAN**

Tujuan penelitian ini adalah melakukan serangkaian uji coba skala laboratorium alat PIT untuk mengetahui hal-hal sebagai berikut:

- 1 Mempelajari proses pengolahan data yang dilakukan PIT terhadap data akselerometer
- 2 Mengetahui prosedur uji integritas tiang beton dan tiang baja dengan menggunakan alat PIT
- 3 Mengetahui prinsip interpretasi PIT dalam menentukan panjang tiang dan lokasi kerusakan pada tiang
- 4 Mempelajari karakteristik sinyal yang dihasilkan untuk berbagai macam material tiang

### **1.4 BATASAN PENELITIAN**

Parameter yang dicari dari penelitian ini ditekankan pada penentuan panjang tiang, baik itu panjang keseluruhan tiang maupun lokasi di mana kerusakan tiang berada. Data akselerasi akan diambil dengan menggunakan alat PIT. Dengan menggunakan alat PIT data dapat secara langsung disajikan ke dalam bentuk: *time domain* dan *frequency domain*. Selain itu perhitungan *time domain* maupun *frequency domain* ini secara manual juga akan dilakukan dengan bantuan program MATLAB berdasarkan data mentah yang berasal dari akselerometer.

Perlu diketahui bahwa prediksi terhadap panjang tiang hanya bisa akurat jika ada data pasti mengenai kecepatan rambat gelombang pada media sampel yang akan diuji. Karena penelitian itu tidak sampai pada pengukuran kecepatan rambat gelombang, maka besarnya kecepatan rambat gelombang diasumsikan menggunakan nilai tipikal untuk beton dengan kualitas rendah mengingat kondisi-kondisi pada saat pembuatan benda uji tersebut.

Sebagai tambahan pada bagian akhir ditampilkan karakteristik sinyal yang dihasilkan untuk berbagai variasi material seperti tiang beton, beton dengan tulangan dan tiang baja dengan dua variasi diameter. Dengan adanya variasi ini

diharapkan dapat ditarik kesimpulan mengenai pengaruhnya material terhadap kecepatan rambat gelombang.

## **1.5 SISTEMATIKA PENULISAN**

Penulisan laporan penelitian ini dibagi menjadi 5 bagian yaitu sebagai berikut:

### **BAB I PENDAHULUAN**

Dalam bab ini diuraikan mengenai latar belakang, deskripsi masalah, tujuan penelitian, batasan masalah, serta sistematika penulisan dari penelitian ini.

### **BAB II TINJAUAN PUSTAKA**

Bab ini memberikan uraian mengenai dasar teori yang berhubungan dengan penelitian ini. Secara garis besar bab ini terdiri dari: pengenalan terhadap alat PIT, metode analisis PIT yaitu PEM, TRM dan analisis profil.

### **BAB III METODE PENELITIAN**

Bab ini menjelaskan rangkaian kegiatan penelitian mulai dari prosedur pembuatan benda uji hingga pengujian dengan alat PIT.

### **BAB IV ANALISA HASIL UJI PERCOBAAN**

Analisa hasil percobaan meliputi analisa terhadap karakteristik data, analisa terhadap hasil bacaan dan analisa perbandingan MATLAB dan PIT.

### **BAB V KESIMPULAN DAN SARAN**

Pada bab ini, penulis memberikan kesimpulan dari hasil penelitian yang dilakukan serta saran untuk penelitian selanjutnya.

## BAB II

# STUDI LITERATUR

### 2.1 PENGENALAN PIT

*Pile Integrity Test* (PIT) atau juga sering disebut *low strain dynamic test* atau *sonic pulse echo method* adalah salah satu metode untuk memprediksi kondisi tiang. Dinamakan “*low strain dynamic test*” karena pada metode ini palu tangan yang dipukulkan pada *pile head* menghasilkan *low strain*. Metode ini cukup efektif dari segi biaya dan waktu.

PIT dikembangkan berdasarkan teori perambatan gelombang (*wave propagation theory*) pada media. Prinsip dasarnya adalah pukulan dari palu tangan akan menghasilkan gelombang tegangan (*stress waves*) yang merambat turun sepanjang tiang dengan kecepatan tetap. Perubahan terhadap penampang (misalnya diameter mengecil atau mencapai dasar tiang) dan kualitas material (misalnya adanya rongga pada beton) akan menghasilkan pantulan gelombang. PIT mengevaluasi data gaya dan kecepatan untuk ditarik kesimpulan mengenai kondisi tiang tersebut.

#### 2.1.1 Perambatan Gelombang Pada Pondasi Tiang

Seperti telah disebutkan di atas PIT dikembangkan berdasarkan teori perambatan gelombang pada media. Pada tiang yang elastis linier, gelombang tegangan (*stress waves*) merambat sepanjang tiang dengan kecepatan gelombang sebesar  $c$ . Kecepatan gelombang tersebut dipengaruhi oleh sifat material yaitu:

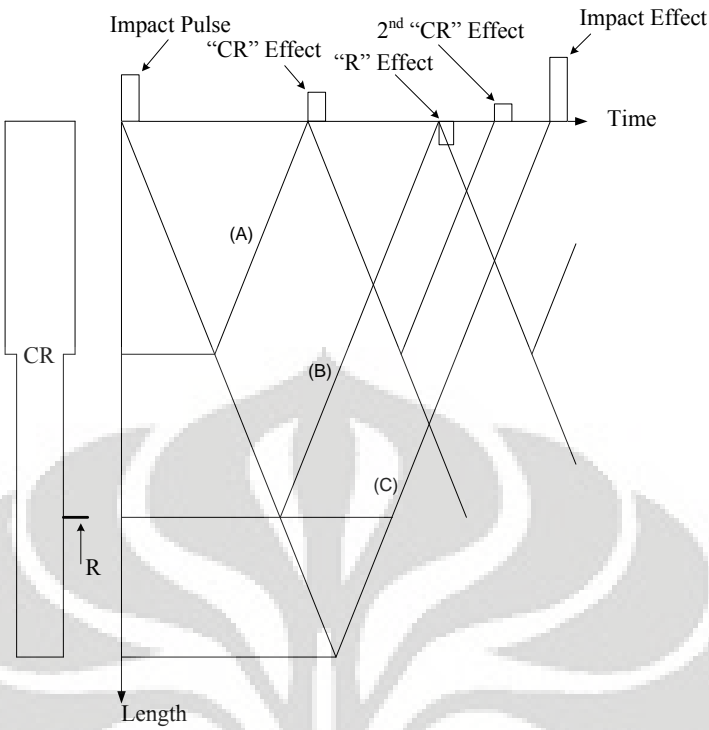
$$c = \sqrt{\frac{E}{\rho}} \quad (2.1)$$

di mana

$c$  = kecepatan gelombang longitudinal (m/s)

$E$  = modulus elastisitas (N/m<sup>2</sup>)

$\rho$  = kerapatan material atau density (kg/m<sup>3</sup>)



Gambar 2.1 : Perjalanan gelombang tegangan

Gambar 2.1 memperlihatkan perjalanan dari gelombang tekan yang mengalami reduksi penampang CR, gelombang tarik ke atas akan diamati pada kepala tiang dengan waktu  $t$  adalah dua kali jarak gangguan  $l$  (dari kepala tiang hingga titik dimana terjadi reduksi penampang) dibagi dengan kecepatan gelombang  $c$ .

$$t = \frac{2 \cdot l}{c} \quad (2.2)$$

Gambar ini juga menunjukkan bahwa gelombang tekan yang berjalan ke atas dapat dihasilkan oleh tahanan tanah  $R$ . Pada kepala tiang,  $R$  akan menciptakan pengaruh yang berlawanan dari reduksi penampang.

### 2.1.2 Perangkat Penelitian

Metode *Pile Integrity Test* membutuhkan instrumen akselerometer, sebuah *hammer* dan *processing unit* atau *PIT Collector*. Skema pemasangan instrumen tersebut tergantung metode analisis yang dipilih. Gambar 2.2 memperlihatkan peralatan PIT di lapangan.



Gambar 2.2 : Komponen PIT di lapangan

#### 2.1.2.1 Akselerometer

Akselerometer adalah alat untuk mengukur total gaya spesifik eksternal pada suatu struktur. Gaya ini seringkali hanya dikaitkan dengan percepatan atau akselerasi, namun hal ini tidak sepenuhnya benar. Karena Akselerometer yang diletakkan di atas meja dan memiliki percepatan nol, akan terbaca gaya spesifik sebesar sama dengan akselerasi akibat gravitasi bumi di lokasi tersebut yaitu sebesar 1 g (gravitasi bumi berbeda satu lokasi dengan lokasi lainnya). Hal ini dikarenakan meja menghasilkan reaksi pada akselerometer sebesar berat akselerometer. Jika akselerometer berada di ruang vakum sehingga tidak ada gaya eksternal yang bekerja maka akselerometer akan terbaca nol.

Akselerometer mengukur total gaya spesifik eksternal pada suatu struktur, gaya ini bisa berupa statik seperti gaya konstan dari gravitasi, atau bisa juga dinamik seperti gerakan atau getaran dari akselerometer. Gaya yang disebabkan oleh getaran atau perubahan gerakan (akselerasi) menyebabkan massa “menekan” material piezoelectric (berisi struktur kristal mikroskopik) yang menghasilkan muatan listrik yang proporsional dengan gaya yang dikenakan. Oleh karena muatan yang dihasilkan proporsional terhadap gaya, dan massa adalah konstan, maka muatan tersebut juga proporsional terhadap akselerasi.

Ada dua tipe piezoelectric accelerometer. Tipe pertama adalah high impedance output accelerometer. Pada tipe ini kristal piezoelektrik menghasilkan muatan listrik yang dihubungkan langsung dengan instrument pengukur. Output dari muatan memerlukan akomodasi khusus dan instrument yang banyak dimiliki

oleh fasilitas penelitian. Sedangkan tipe kedua adalah *low impedance output accelerometer*. *Low impedance output* accelerometer memiliki muatan akselerometer sama seperti tipe pertama namun terpasang *micro-circuit* tipis dan transistor FET yang mengkonversi muatan tersebut menjadi *low impedance voltage* yang dapat dengan mudah dihubungkan dengan instrument standar.

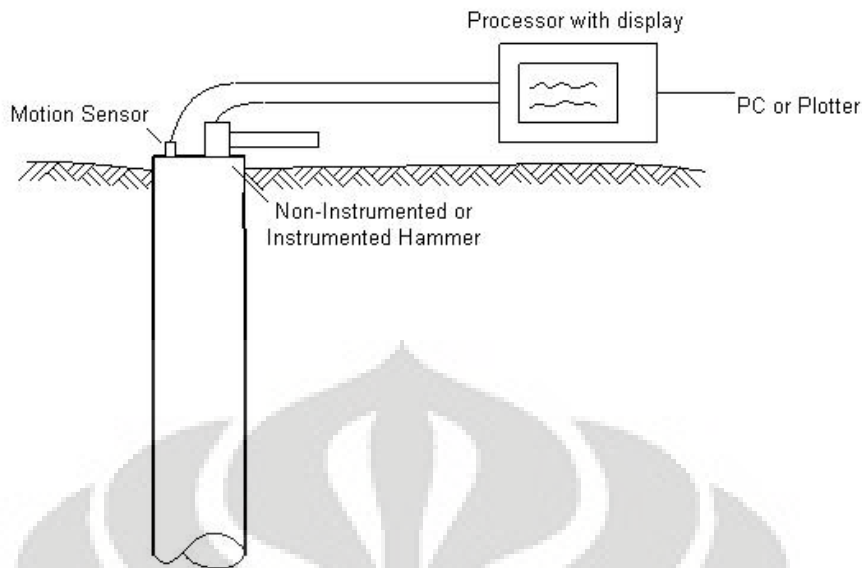
Akselerometer umumnya dipasang pada kepala tiang dengan *adhesive* berupa perekat khusus (*wax*) dan lapisannya dibuat setipis mungkin untuk menghindari redaman getaran akibat fleksibilitas dari lapisan perekat.

#### 2.1.2.2 Hammer

Seperti telah disebutkan di atas bahwa PIT menggunakan palu tangan untuk menghasilkan *low strain*. Ada dua jenis palu yang disediakan sesuai dengan jenis metode analisisnya, yaitu *non-instrumented hammer* dan *instrumented hammer*. Yang pertama adalah untuk metode Pulse Echo Method (PEM) di mana palu tidak dihubungkan dengan processing unit dan yang kedua untuk metode Transient Response Method (TRM) palu dihubungkan ke *processing unit* dengan kabel untuk membaca data gaya.

#### 2.1.2.3 PIT Collector

PIT Collector dikembangkan oleh Pile Dynamics, Inc. Alat ini memproses sinyal yang masuk baik dari *akselerometer* maupun dari *instrumented hammer*. Hasil data rekaman sinyal dapat langsung dilihat pada layar. Data proyek disimpan dengan menggunakan PCMCIA flash card sehingga memungkinkan melihat dan memproses hasil data rekaman melalui PC atau Laptop.



Gambar 2.3 : Skema pemasangan alat PIT

## 2.2 METODE ANALISIS PIT

Sinyal dapat dipandang sebagai dua bentuk berbeda:

- 1) *Time domain*
- 2) *Frequency domain*

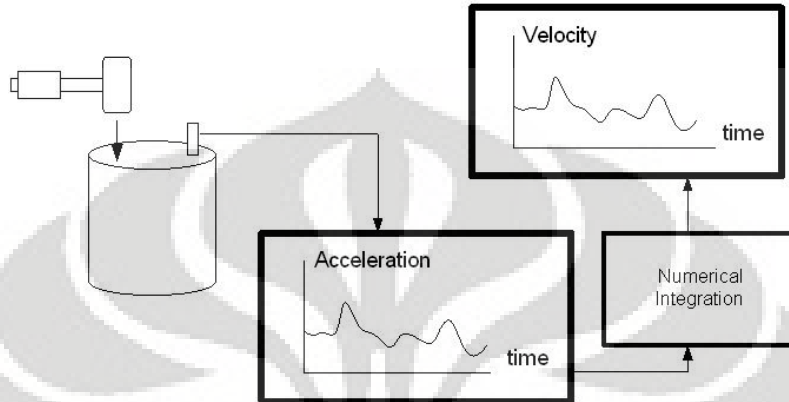
*Time domain* adalah bentuk yang menggambarkan analisis sinyal berdasarkan variasi waktu. Pada time domain nilai atau besar sinyal diketahui sebagai bilangan riil baik pada kasus *continuous time* ataupun pada kasus *time discrete*. Umumnya time domain lebih familiar daripada *frequency domain* karena lebih mudah mengkonseptualisasikan sebuah sifat fungsi melalui dimensi ini.

*Frequency domain* adalah bentuk yang digunakan untuk menggambarkan sinyal berdasarkan frekuensinya. Secara sederhana, jika grafik *time domain* menunjukkan bagaimana sinyal berubah terhadap waktu maka *frequency domain* menunjukkan banyaknya sinyal dalam masing-masing bidang frekuensi sepanjang (jangkauan frekuensi) *frequency range*.

Tergantung dari apa yang ingin dilakukan pada sinyal. Sebuah domain mungkin lebih bermanfaat dari sebuah domain lainnya. Dalam suatu kasus mungkin saja *frequency domain* lebih sederhana secara matematis daripada *time domain*, sehingga sinyal perlu dikonversi menjadi *frequency domain*.

### 2.2.1 Pulse Echo Method

*Pulse Echo Method* (PEM) merupakan metode yang cukup sederhana. Metode ini menggunakan satu channel input yang digunakan untuk mengukur akselerasi pada tiang. Data akselerasi ini bisa diintegrasikan secara numerik menjadi sinyal kecepatan.



Gambar 2.5 : Skema metode Pulse Echo Method

Sebelumnya dijelaskan bahwa ketika sebuah tumbukan (impact) dari palu dikenakan pada kepala tiang (pile head) maka akan timbul tegangan berupa gelombang (stress waves) yang berjalan sepanjang tiang sebesar p. Menurut studi perambatan gelombang (wave propagation) tegangan gelombang dibagi kecepatan partikel v dan luas penampang A disebut impedansi.

$$Z = \frac{P}{v \cdot A} = \frac{F}{v} \quad (2.3)$$

di mana:

$Z$  = impedansi ( $\text{kg/s}$ )

$p$  = tegangan gelombang ( $\text{N/m}^2$  atau  $\text{Pa}$ )

$v$  = kecepatan partikel ( $\text{m/s}$ )

$A$  = luas penampang ( $\text{m}^2$ )

Karakteristik impedansi  $Z_0$  dari media perantara seperti udara, air, tanah, beton, baja dsb merupakan sifat dari material yang didefinisikan sebagai:

$$Z_0 = \rho \cdot c \quad (2.4)$$

di mana:

$Z_0$  = karakteristik impedansi ( $\text{N}\cdot\text{s}/\text{m}^3$  atau  $\text{Pa}\cdot\text{s}/\text{m}$ )

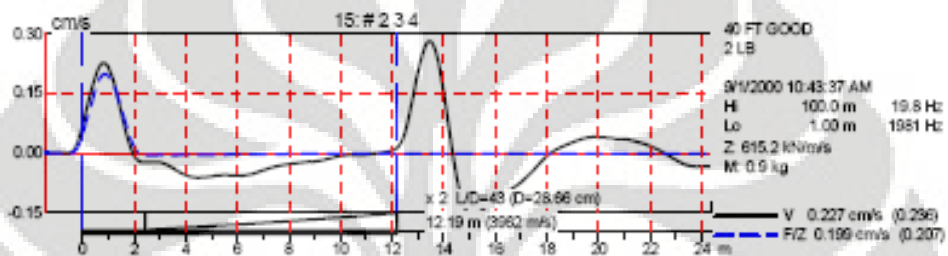
Hubungan antara impedansi dengan karakteristik impedansi adalah

$$Z_0 = \frac{Z}{A} \quad (2.5)$$

Sehingga dari persamaan 2.4 dan 2.5 diperoleh:

$$Z = \rho \cdot c \cdot A \quad (2.6)$$

Pantulan gelombang disebabkan oleh perbedaan impedansi. Dari persamaan 2.6 jelas bahwa perubahan pada impedansi dipengaruhi oleh perubahan luas penampang tiang A dan kualitas material tiang  $\rho \cdot c$ . Dengan dasar inilah kita dapat memperoleh sinyal pada akselerometer.

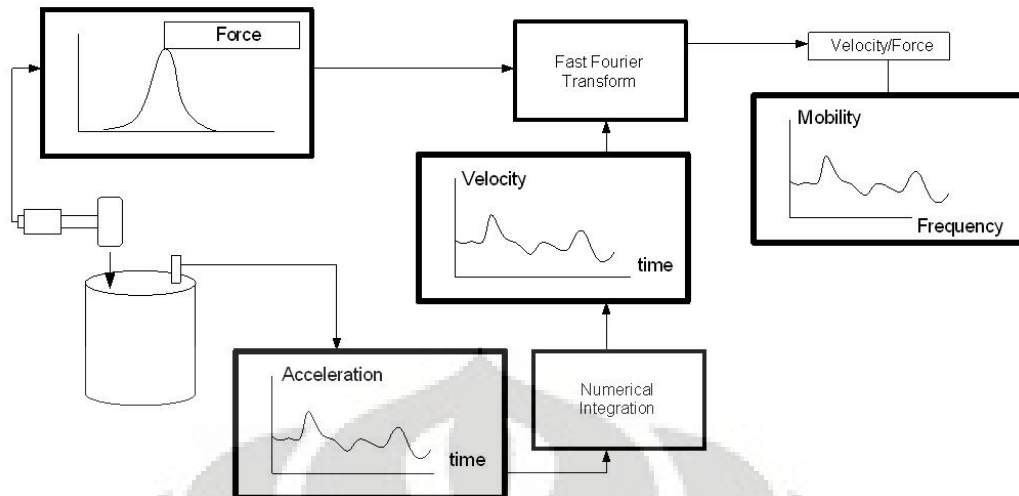


Gambar 2.6 Contoh output velocity vs time

### 2.2.2 Transient Response Method

*Transient Response Method* (TRM) adalah bentuk *frequency domain* pada PIT yang merupakan evolusi dari tes *Steady State Vibration* yang dikembangkan dan diaplikasikan pertama kali untuk pondasi oleh J Paquet pada tahun 1966 . Pada saat itu digunakan vibrator seberat 25 kg untuk membangkitkan getaran tiang pada frequency range. Sejak saat itu terjadi kemajuan dalam meminiaturisasi peralatan. Kemajuan yang sangat signifikan terjadi pada tahun 1982 yaitu hasil yang sama juga bisa diperoleh dengan transient impulse pada kepala tiang. Kemajuan dalam micro-processing membuat sinyal time domain dapat segera dikonversi menjadi frequency domain dengan teknik *Fast Fourier Transform*.

Metode ini menggunakan dua buah input channel. Input yang pertama adalah akselerometer yang dipasang pada kepala tiang prinsip kerjanya sama seperti PEM digunakan untuk mengukur akselerasi gerakan tiang. Sedangkan input yang kedua berasal dari *instrumented hammer* (palu yang dipasangi tranduser) seperti pada gambar 3 digunakan untuk mengukur gaya.



Gambar 2.7 : Skema Transient Response Method

Hasil yang diperoleh TRM adalah rasio antara kecepatan dan gaya yang diplot pada spektrum frekuensi. Rasio kecepatan dan gaya inilah yang disebut mobilitas (invers dari impedansi).

$$M = \frac{v(\omega)}{F(\omega)} \quad (2.7)$$

di mana:

$M$  = mobilitas

Puncak mobilitas (*mobility peak*) terjadi ketika kecepatan berubah akibat pantulan dari ujung bawah tiang atau reduksi impedansi. Jarak dari kepala tiang sampai di mana terjadi perubahan impedansi adalah

$$x = \frac{c}{2 \Delta f} \quad (2.8)$$

di mana

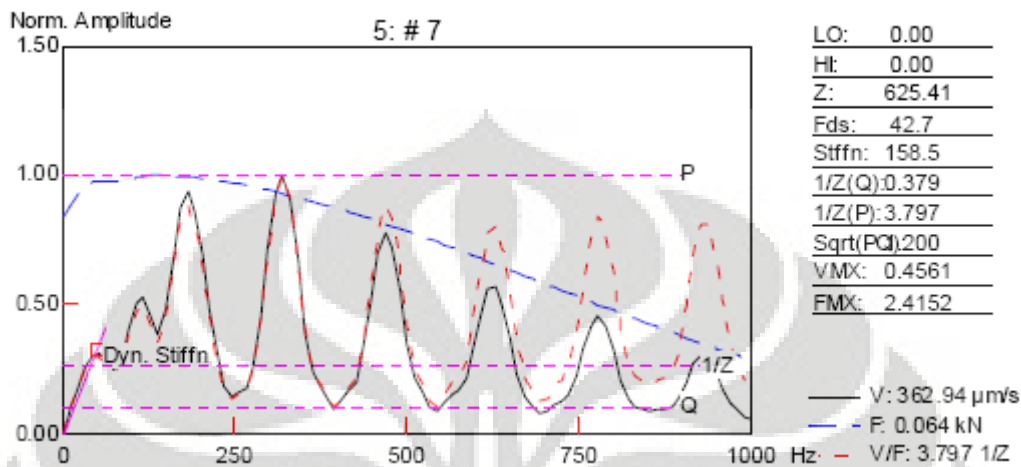
$\Delta f$  = jarak interval antara dua buah mobilitas puncak

Jika kita membagi kecepatan dengan frekuensi menghasilkan displacement. Dan rasio antara gaya dengan displacement pada frekuensi tertentu disebut dengan kekakuan dinamis (*dynamic stiffness*).

$$E_d = \frac{\omega F(\omega)}{v(\omega)} = \frac{2\pi f}{M(\omega)} \quad (2.9)$$

Di mana  $\omega$  dan  $f$  berturut-turut adalah frekuensi dalam radian per detik dan Hz.

Pada prakteknya, frekuensi rendah dibagi mobilitas menghasilkan  $E_d$ . Besarnya  $E_d$  meningkat seiring dengan turunnya respon ujung bawah tiang.  $E_d$  dihitung karena menyediakan hasil kuantitatif kualitas tiang.



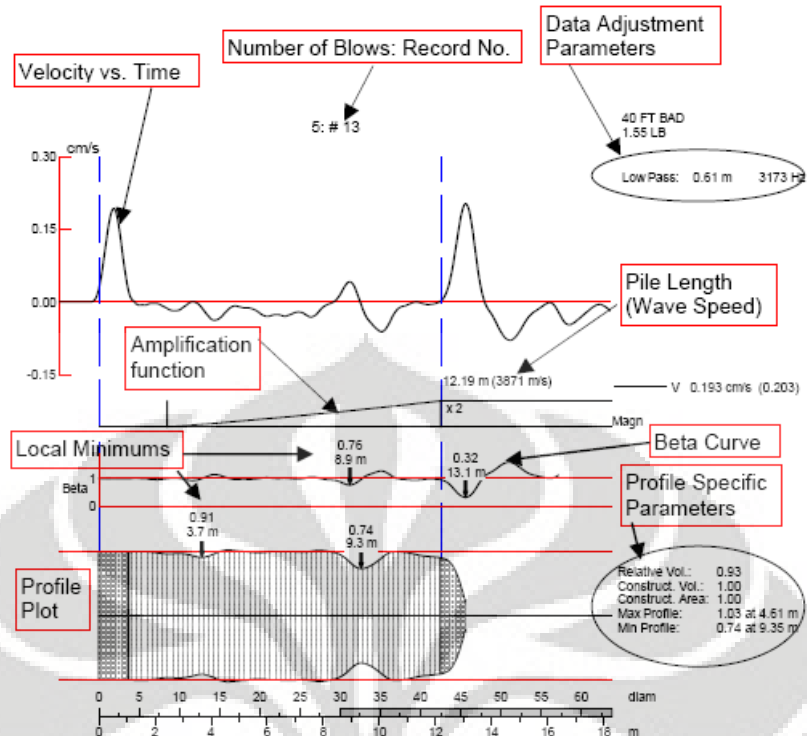
Gambar 2.8 : Output Frequency analysis

### 2.2.3 Analisis Profil

Analisis profil menggambarkan plot grafik impedansi tiang vs kedalaman. Ada dua faktor utama yang mempengaruhi variasi data kecepatan yaitu variasi impedansi tiang dan tahanan tanah. Untuk mengetahui impedansi sepanjang kedalaman tiang, efek tahanan tanah terhadap kecepatan tiang harus dihilangkan. Ada dua cara untuk mengeliminasi pengaruh tahanan tanah yaitu:

- 1) High pass filter yaitu menghilangkan bagian rekaman frekuensi rendah yang bisa di pengaruhi oleh tahanan tanah.
- 2) Menentukan pengaruh tahanan tanah terhadap rekaman kecepatan secara intuisi (garis referensi).

Pada banyak kasus, sangat sulit untuk menghilangkan seluruh efek dari tahanan tanah hanya dengan menggunakan *high pass filter*. Oleh karena itu, hasil analisis profil sangat tergantung dari kemampuan kita menetapkan dan mengatur garis referensi.



Gambar 2.9: Output Profile Analysis

### Garis Referensi

Seperti telah dikemukakan di atas bahwa menentukan garis referensi adalah hal yang sangat krusial untuk menentukan hasil yang dapat dipertanggungjawabkan. Garis referensi sebenarnya adalah bagian dari kecepatan kepala tiang vs waktu yang disebabkan oleh pantulan dari tahanan tanah. Dapat dirumuskan sebagai berikut:

$$V = V_p + V_s + V_i \quad (2.10)$$

di mana:

$V$  = total kecepatan yang terekam pada kepala tiang

$V_p$  = kecepatan yang dipantulkan dari variasi impedansi

$V_s$  = kecepatan yang dipantulkan dari tahanan tanah

$V_i$  = kecepatan yang disebabkan oleh tumbukan (impact)

Dari persamaan 2.10 diperoleh:

$$V_p = V - (V_s + V_i) \quad (2.11)$$

di mana  $(V_s + V_i)$  adalah garis referensi. Profil dirumuskan sebagai:

$$Z_p = Z_o - K_p \int V_p dt \quad (2.12)$$

Pada persamaan di atas  $Z_o$  adalah impedansi kepala tiang dan faktor skala  $K_p$  adalah:

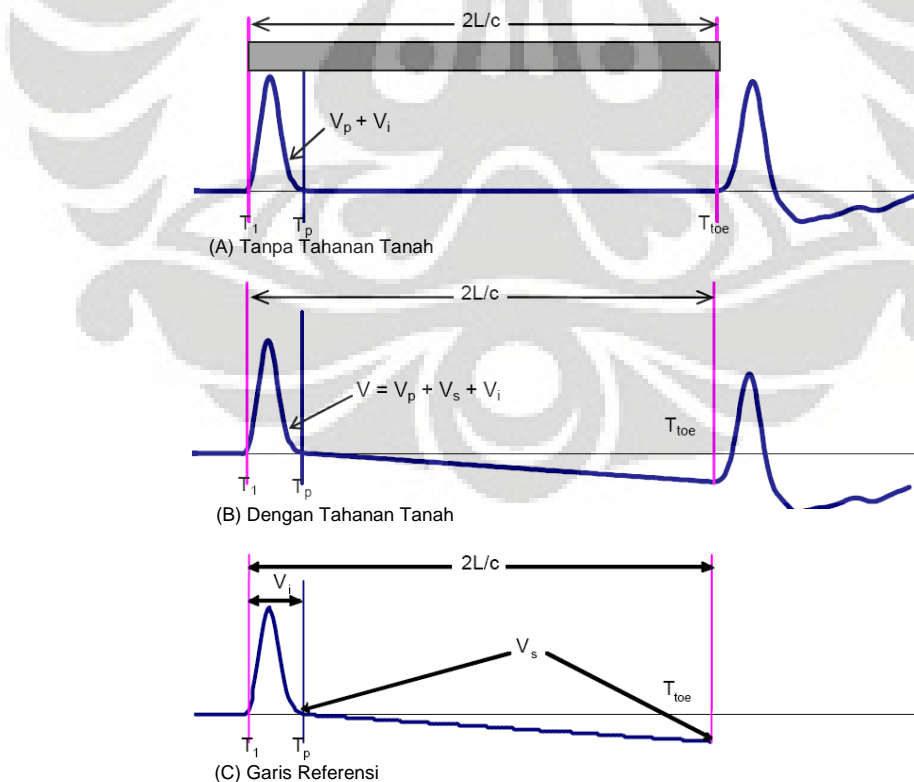
$$K_p = \frac{Z_o}{\int V_i dt} \quad (2.13)$$

Untuk kemudahan, pers di atas biasanya dinon-dimensiarkan dengan membagi dengan  $Z_o$ . Menghasilkan profil yang non-dimensional

$$P_p = 1 - K_p \int V_p dt \quad (2.14)$$

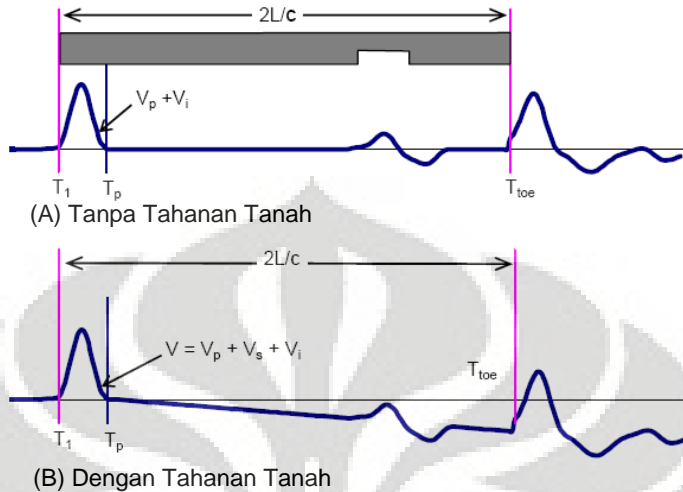
Di mana  $K_p$  mempunyai dimensi  $1/length$ ;  $P_p$  diplot vs kecepatan sebagai sebuah kurva sederhana dimulai dengan nilai 1 dan mencapai nilai 0 pada ujung bawah tiang.

Gambar 2.10 mengilustrasikan ide pengaruh tahanan tanah terhadap kecepatan menggunakan hipotesis rekaman kecepatan untuk tiang uniform. Secara teoritis, kecepatan vs waktu dari tiang uniform tanpa tahanan tanah seharusnya terlihat seperti gambar A. Penambahan efek tahanan tanah menjadi gambar B sementara efek tahanan tanah terhadap kecepatan digambarkan pada gambar C.



Gambar 2.10 : Ilustrasi efek tahanan tanah terhadap kecepatan pada tiang uniform

Pada kondisi tanah yang sama, jika tiang mempunyai variasi impedansi, maka kecepatan vs waktu tanpa atau dengan tahanan tanah seperti tergambar pada 2.11.



Gambar 2.11 : Ilustrasi efek tahanan tanah terhadap kecepatan pada tiang non-uniform

## 2.3 METODE NUMERIK

### 2.3.1 Integrasi Numerik

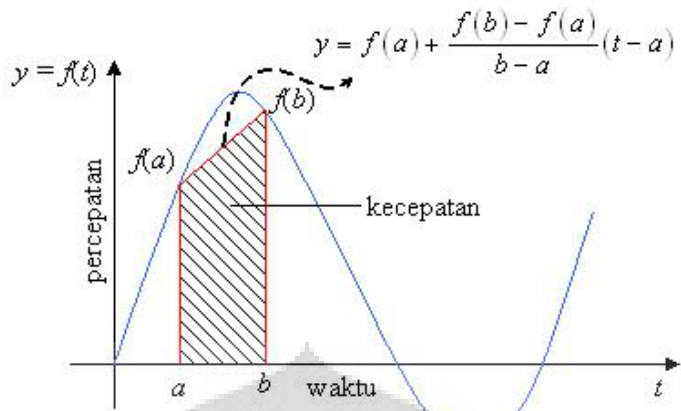
#### a) Aturan Trapezium

Pada mulanya pantulan gelombang tadi akan diterima akelerometer sebagai sinyal percepatan yang kemudian biasanya diubah menjadi sinyal kecepatan. Penurunan rumus berikut ini merupakan integrasi numerik dengan menggunakan aturan trapesium.

Telah kita ketahui bahwa kecepatan (m/s) merupakan turunan dari jarak (m) dan percepatan ( $\text{m/s}^2$ ) merupakan turunan dari kecepatan.

$$v = \dot{y} = \frac{dy}{dt} \text{ dan } a = \ddot{y} = \frac{d^2y}{dt^2} \quad (2.15)$$

Maka kecepatan dapat kita peroleh dari integral percepatan. Integral dapat didefinisikan sebagai luas yang ada di bawah kurva seperti gambar 2.12 berikut:



Gambar 2.12 : Ilustrasi integral dari suatu kurva aturan trapesium

Persamaan garis lurus yang memotong kurva percepatan di  $f(a)$  dan  $f(b)$  adalah:

$$\begin{aligned}
 y &= f(a) + \frac{f(b) - f(a)}{b - a} (t - a) \\
 &= \frac{f(b) - f(a)}{b - a} t + f(a) - \frac{f(b)a - f(a)b}{b - a} \\
 &= \frac{f(b) - f(a)}{b - a} t + \frac{f(a)b - f(a)a - f(b)a + f(a)a}{b - a} \\
 &= \frac{f(b) - f(a)}{b - a} t + \frac{f(a)b - f(b)a}{b - a}
 \end{aligned} \tag{2.16}$$

Maka kecepatan adalah integral  $f(t)$  dari  $a$  sampai  $b$

$$\begin{aligned}
 \int_a^b f(t) dt &\approx \left[ \frac{\frac{f(b) - f(a)}{b - a} t^2}{2} + \frac{f(a)b - f(b)a}{b - a} t \right]_a^b \\
 &\approx \frac{f(b) - f(a)}{b - a} \frac{(b-a)^2}{2} + \frac{f(a)b - f(b)a}{b - a} (b-a)
 \end{aligned}$$

Oleh karena  $b^2 - a^2 = (b-a)(b+a)$  maka

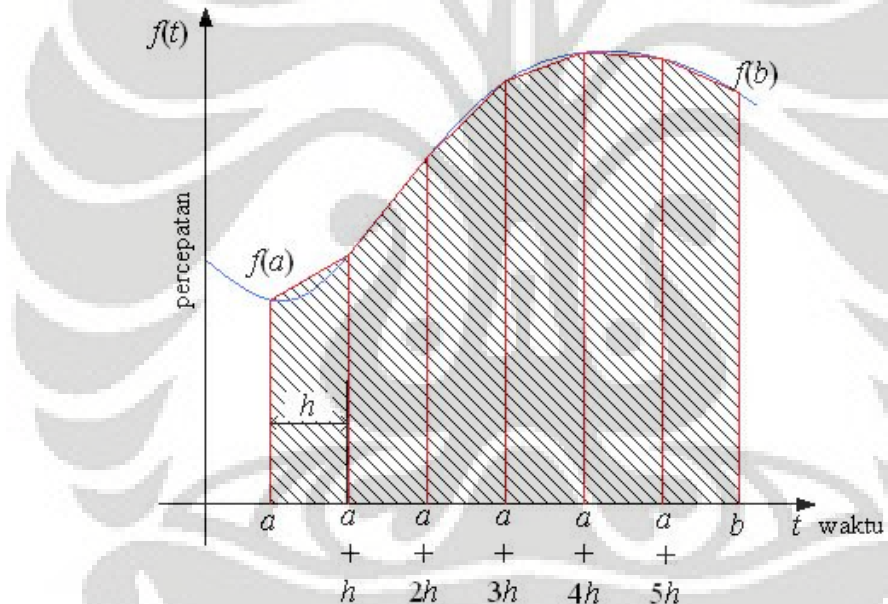
$$\begin{aligned}
 \int_a^b f(t) dt &\approx f(b) - f(a) \frac{(b+a)}{2} + f(a)b - f(b)a \\
 &\approx (b-a) \frac{f(a) + f(b)}{2}
 \end{aligned} \tag{2.17}$$

Persamaan 2.17 yang merupakan hasil integral kurva  $f(t)$  dari  $a$  sampai  $b$  sebenarnya merupakan luas trapesium. Untuk meningkatkan ketelitian dalam perhitungan, luas daerah di bawah kurva  $f(t)$  dibagi menjadi  $n$  subinterval.

$$h = \frac{b-a}{n} \quad (2.18)$$

Luas daerah setiap subinterval kemudian dihitung sebagai trapesium. Akumulasi dari luas bentuk trapesium ini memberikan kita hasil yang lebih teliti integral  $f(t)$  dari  $a$  sampai  $b$ . Berdasarkan gambar 2.13 dan persamaan 2.17 luas trapesium bidang pertama dapat ditulis sebagai:

$$L_1 = \frac{h}{2}(f(a) + f(a+h))$$



Gambar 2.13 : Integral dari suatu kurva menggunakan aturan trapesium

Maka berdasarkan dengan persamaan di atas luas bidang ke- $i$

$$L_i = \frac{h}{2}(f(a+(i-1)h) + f(a+ih)) \quad (2.19)$$

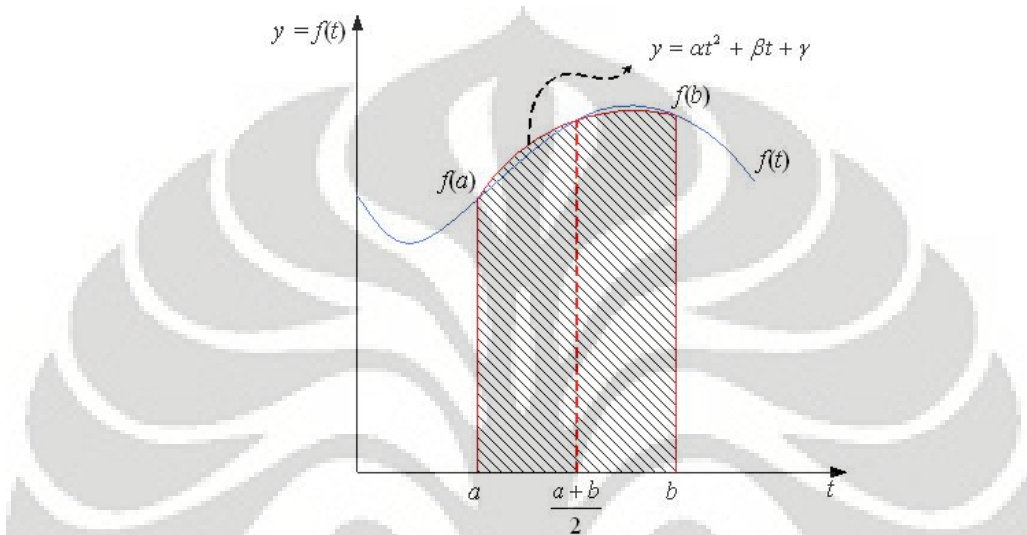
Maka integral  $f(t)$  dari  $a$  sampai  $b$

$$\int_a^b f(t) dt \approx \sum_{i=1}^n \frac{h}{2}(f(a+(i-1)h) + f(a+ih)) \quad (2.20)$$

Perhitungan akan semakin teliti jika  $n$  semakin besar.

### b) Aturan Simpsons

Prinsip kerja aturan Simpsons sama dengan aturan trapesium, perbedaannya hanyalah pada integran yang digunakan. Jika integran pada aturan trapesium adalah garis lurus, maka pada aturan simpsons menggunakan kurva quadratik.



Gambar 2.14 : Ilustrasi integral dari suatu kurva aturan Simpsons

Aturan Simpson ingin menghitung luas daerah di bawah kurva  $y = f(t)$  dengan menggunakan pendekatan kurva  $y = \alpha x^2 + \beta x + \gamma$  di mana konstanta  $\alpha, \beta$  dan  $\gamma$  dipilih sehingga kedua kurva tersebut berpotongan pada  $t = a$ ,  $t = \frac{a+b}{2}$  dan  $t = b$  seperti pada gambar 2.8. Dengan penurunan persamaan yang mirip dengan aturan trapesium diperoleh bahwa:

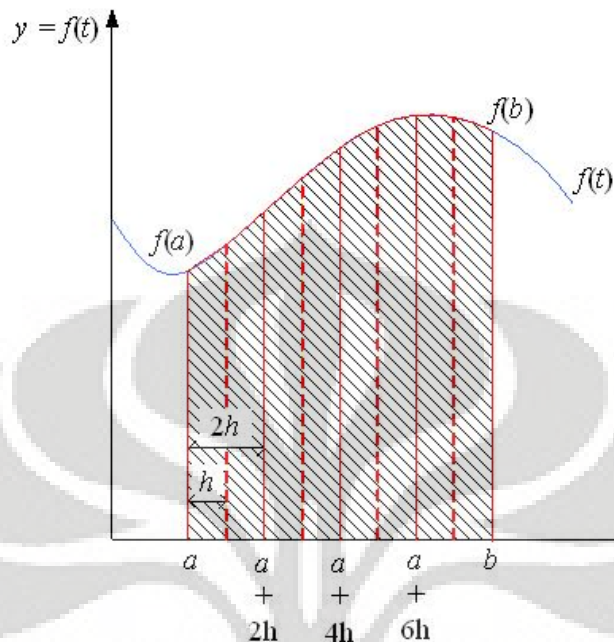
$$\int_a^b f(t) dt \approx \frac{b-a}{6} \left( f(a) + 4f\left(\frac{a+b}{2}\right) + f(b) \right) \quad (2.21)$$

Agar hasil perhitungan integral lebih teliti luas daerah di bawah kurva dibagi menjadi  $m$  subinterval seperti gambar 2.10 di bawah ini.

Akumulasi luas di bawah kurva dari  $a$  sampai  $b$  adalah:

$$\int_a^b f(t) dt \approx \sum_{i=0}^{m-1} \int_{a+2ih}^{a+2(i+1)h} f(x) dx$$

$$\approx \frac{h}{3} \sum_{i=0}^{m-1} \left( f(a + 2ih) + 4f(a + (2i+1)h) + f(a + 2(i+1)h) \right) \quad (2.22)$$



Gambar 2.15 : Integral dari suatu kurva menggunakan aturan Simpsons

### 2.3.2 Analisis Fourier

Aplikasi *Engineering* seringkali berhubungan dengan sistem yang berosilasi atau bergetar. Maka fungsi trigonometri berperan penting dalam memodelkan problem tersebut. Aproksimasi fourier memperlihatkan kerangka sistematis dengan menggunakan dengan mempergunakan deret trigonometri. Untuk fungsi dengan periode  $T$ , deret Fourier kontinu dapat ditulis

$$f(t) = a_0 + a_1 \cos(\omega_0 t) + b_1 \sin(\omega_0 t) + a_2 \cos(2\omega_0 t) + b_2 \cos(2\omega_0 t) + \dots$$

Atau singkat

$$f(t) = a_0 + \sum_{k=1}^{\infty} [a_k \cos(k\omega_0 t) + b_k \sin(k\omega_0 t)] \quad (2.23)$$

di mana  $\omega_0 = 2\pi/T$  adalah frekuensi dasar dan konstanta  $2\omega_0, 3\omega_0$ , dsb., adalah harmonik. Disamping format trigonometri di atas, deret fourier dapat diekspresikan dalam bentuk fungsi eksponensial sebagai

$$f(t) = \sum_{k=-\infty}^{\infty} \tilde{c}_k e^{ik\omega_0 t} \quad (2.24)$$

Di mana  $i = \sqrt{-1}$  dan

$$\tilde{c}_k = \frac{1}{T} \int_{-T/2}^{T/2} f(t) e^{-ik\omega_0 t} dt \quad (2.25)$$

### Transformasi Fourier

Dalam matematika, *fourier transform* merupakan salah satu bentuk khusus dari *fourier analysis*. *Fourier transform* mentransformasikan satu fungsi menjadi fungsi lain yaitu representasi *frequency domain* dari fungsi aslinya (di mana fungsi aslinya biasanya adalah sebuah fungsi dalam *time domain*). *Fourier transform* didefinsikan sebagai:

$$F(f) = \int_{-\infty}^{\infty} f(t) e^{-i2\pi ft} dt \quad (2.26)$$

dan invers fourier transform

$$f(t) = \int_{-\infty}^{\infty} F(f) e^{i2\pi ft} df \quad (2.27)$$

Kedua persamaan diatas secara bersama sering disebut *Fourier transform pair*, dengan keduanya kita dapat mentransformasi bolak-balik antara *time* dan *frequency domain* pada sebuah sinyal aperiodik.

*Fourier transform* umumnya ditulis dalam bentuk *angular frequency*  $\omega$ . *Angular frequency* menunjukkan berapa banyak putaran yang terjadi, memiliki satuan radian per detik. Subtitusi  $\omega$  ke dalam persamaan 2.26 dan 2.27 menjadi

$$F(\omega) = \int_{-\infty}^{\infty} f(t) e^{-i\omega t} dt \quad (2.28)$$

dan

$$f(t) = \frac{1}{2\pi} \int_{-\infty}^{\infty} F(\omega) e^{i\omega t} d\omega \quad (2.29)$$

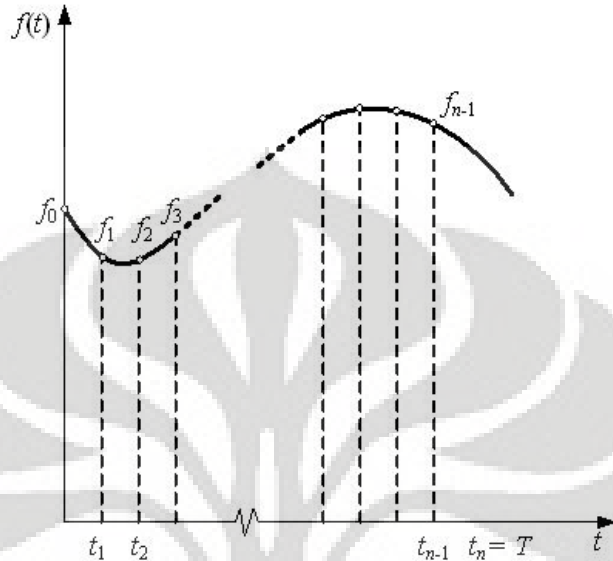
Dalam engineering sebuah fungsi sering direpresentasikan sebagai nilai diskrit. Pada gambar 2.16 sebuah interval dari 0 sampai  $t$  dapat dibagi menjadi  $N$  subinterval dengan lebar  $\Delta t = T/N$ . Subscript  $n$  mengacu pada nilai diskrit waktu di mana data sampel di ambil. Maka discrete Fourier transform dapat dituliskan:

$$F_k = \sum_{n=0}^{N-1} f_n e^{-ik\omega_0 n} \quad \text{untuk } n = 0 \text{ sampai } N-1 \quad (2.30)$$

Dan invers Fourier transform

$$F_n = \frac{1}{N} \sum_{k=0}^{N-1} F_k e^{ik\omega_0 n} \text{ untuk } n = 0 \text{ sampai } N - 1 \quad (2.31)$$

di mana  $\omega_0 = 2\pi/N$



Gambar 2.16 : Titik-titik data dari deret Fourier diskrit

Persamaan 2.30 dan 2.31 berturut-turut merupakan analogi diskrit dari persamaan 2.28 dan 2.29. Walaupun kedua persamaan tersebut telah dapat diimplementasikan secara manual dengan tangan, namun hal tersebut masih terlalu sulit, sehingga perlu dibuat algoritma komputer untuk mengimplementasikan *Fourier transform* ini.

## 2.4 PEMBEBANAN DINAMIK

Sebuah struktur apabila diberi gaya percepatan akan memiliki respon dinamik, besar atau kecilnya respon tersebut tergantung pada percepatan yang diberikan, massa benda yang bergetar, maupun sifat kekakuanya. Pada penelitian ini, akan diuji tiang dengan diberi gaya singkat, lalu dengan menggunakan akselerometer akan dianalisa hasilnya dan akan didapat sifat-sifat dari struktur tersebut.

### 2.4.1 Aplikasi Pembebanan Dinamik pada Struktur

Rumus-rumus dan persamaan-persamaan yang digunakan akan dijabarkan di sini.

Persamaan umum dari gerak untuk sistem satu derajat kebebasan:

$$m\ddot{x} + c\dot{x} + kx = 0$$

Frekuensi alami dari sistem:

$$\omega_n = \sqrt{\frac{k}{m}}$$

dimana :  $k$  = Stiffness / Kekakuan.

$m$  = Massa.

Damping ratio :

$$\xi = \frac{c_v}{c_c}$$

dimana :  $c_v$  = konstanta damping.

$c_c$  = critical damping.

$$c_c = 2m\sqrt{\frac{k}{m}} = 2m\omega_n$$

Periode dari getaran teredam :

$$T_d = \frac{1}{f_d} = \frac{2\pi}{\omega_d}$$

Untuk Underdamped system :

$$c_v^2 - 4mk < 0 \text{ atau } \xi < 1 \text{ or } c_v < c_c$$

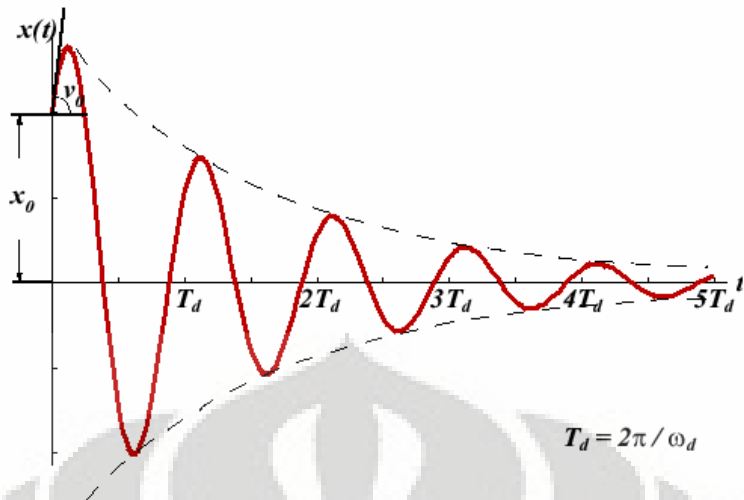
Solusi dari displacement untuk sistem ini :

$$\begin{aligned} x(t) &= c_1 e^{(-\xi+i\sqrt{1-\xi^2})\omega_n t} + c_2 e^{(-\xi-i\sqrt{1-\xi^2})\omega_n t} \\ &= e^{-\xi\omega_n t} [d_1 \cos(\omega_d t) + d_2 \sin(\omega_d t)] \\ x(t) &= e^{-\xi\omega_n t} [x_0 \cos(\omega_d t) + \frac{v_0 + \xi\omega_n x_0}{\omega_d} \sin(\omega_d t)] \end{aligned}$$

Solusi tersebut juga bisa dijabarkan sebagai berikut

$$x(t) = A_0 e^{-\xi\omega_n t} \cos(\omega_d t - \varphi_0) \text{ di mana : } \omega_d = \omega_n \sqrt{\xi^2 - 1}$$

Gambar dibawah ini menggambarkan efek dari adanya redaman (damping) dari suatu getaran bebas, garis singgung dari titik-titik tertinggi (amplitudo) pada displacement tersebut merupakan persamaan dari  $x(t)$ .



Gambar 2.8 Pengaruh Redaman

Dari Underdamped System, displacement solution :

$$x(t) = e^{-\xi\omega_n t} [x_0 \cos(\omega_d t) + \frac{v_0 + \xi\omega_n x_0}{\omega_d} \sin(\omega_d t)]$$

Dengan periode osilasi :

$$T = \frac{2\pi}{\omega_d} = \frac{2\pi}{\omega_n \sqrt{1 - \xi^2}}$$

Maka dengan memperbandingkan nilai titik-titik puncak dalam logaritma untuk mendapatkan  $\delta$ , diperoleh :

$$\delta = \log \frac{e^{-\xi\omega_n t_n} [x_0 \cos(\omega_d t_n) + \frac{v_0 + \xi\omega_n x_n}{\omega_d} \sin(\omega_d t_n)]}{e^{-\xi\omega_n (t_n + T)} [x_0 \cos(\omega_d (t_n + T)) + \frac{v_0 + \xi\omega_n x_n}{\omega_d} \sin(\omega_d (t_n + T))]}$$

Didapat :

$$\delta = \frac{2\pi\xi}{\sqrt{1 - \xi^2}}$$

Maka didapatkan persamaan untuk menghitung  $\zeta$  dan  $\omega$ , sehingga bisa didapatkan nilai kekakuan struktur tersebut :

$$\xi = \frac{\delta}{\sqrt{4\pi^2 + \delta^2}} \text{ dan } \omega_n = \frac{\sqrt{4\pi^2 + \delta^2}}{T}$$

## **BAB III**

### **METODOLOGI PENELITIAN**

#### **3.1 PENDAHULUAN**

Bab ini menggambarkan proses penelitian mulai dari pembuatan dan pengujian benda uji tiang beton dan tiang baja. Ukuran dari benda uji disesuaikan dengan kondisi di lapangan (seperti ketersediaan lahan dsb).

#### **3.2 TIANG BETON**

Penelitian ini menggunakan 4 buah tiang beton dan sebuah beton dengan tulangan. Tiang-tiang tersebut kemudian diberi gaya dinamik low-strain dan data gelombang yang terjadi dalam pondasi tiang kemudian diamati dan dicatat. Selanjutnya data gelombang diinterpretasi dengan menggunakan serta dianalisis dengan software PIT-W dan Matlab. Sejumlah tiang beton dengan kerusakan juga akan diuji.

##### **3.2.1 Alat dan Bahan**

Alat-alat dan bahan yang digunakan dalam pengujian PIT

- a) Alat PIT Collector
- b) Hammer
- c) Akselerometer
- d) Cangkul dan sekop untuk menggali lubang sebagai media
- e) Gergaji Besi
- f) Ember
- g) Beton dengan adukan 1 pc : 3 pasir
- h) Pipa PVC Ø 2,5 inci dan Ø 6 inci
- i) Pasir

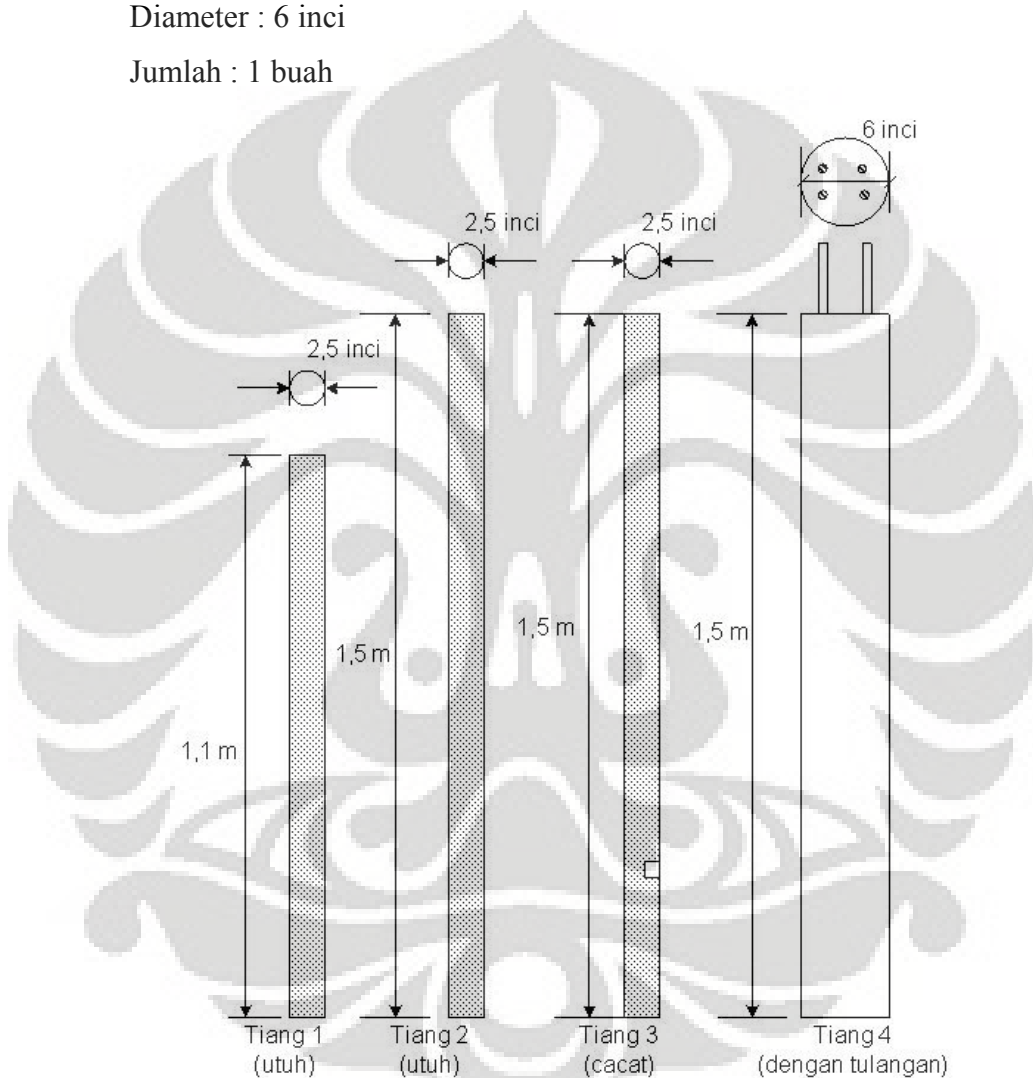
##### **3.2.2 Ukuran Tiang Beton**

Ukuran tiang beton yang dibuat adalah:

- 1) Beton biasa
 

Panjang : 1 - 1,5 m  
 Diameter : 2,5 inci  
 Jumlah : 4 buah
- 2) Beton bertulang
 

Panjang : 1,5 m  
 Diameter : 6 inci  
 Jumlah : 1 buah



Gambar 3.1: Ilustrasi tiang beton yang dipergunakan

### 3.2.3 Proses Pembuatan Tiang Beton

Proses pembuatan tiang beton dilakukan dengan cara konvensional yaitu pengadukan dilakukan dengan menggunakan tangan dan tanpa menggunakan mesin. Tipe adukan dilakukan dengan kira-kira 10-15 % semen, 60-75% kerikil

dan 15-20% air. Adukan beton dituangkan kedalam cetakan dari pipa PVC sepanjang 1,5 m yang telah dipersiapkan sebelumnya. Setelah mengeras beton dikeluarkan dari cetakan untuk kemudian bisa langsung diuji.

Pada beton bertulang, besi tulangan yang digunakan adalah no. 8 sebanyak 4 buah. Sedangkan sengkang yang digunakan besi no 6 dengan jarak antar sengkang 10 cm.

### 3.3 TIANG BAJA

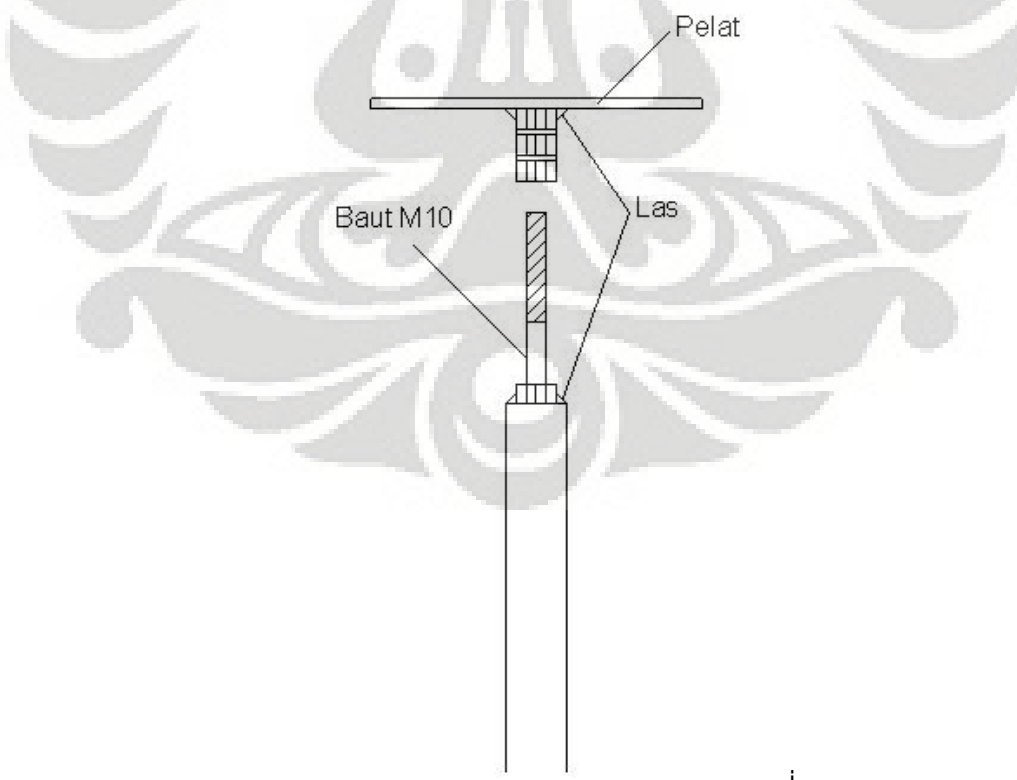
Tiang baja yang dipergunakan di sini adalah baja pejal dengan dua buah luas penampang yang berbeda.

Penampang kecil :  $1,5 \times 1,5 \text{ cm}^2$  dengan panjang 1 m, 2 m dan 3 m

Penampang besar :  $2,5 \times 2,5 \text{ cm}^2$  dengan panjang 1 m, 2 m dan 3 m

Tiang baja di sini sebenarnya ingin merepresentasikan angkur.

Karena penampang yang digunakan cukup kecil sedangkan pada percobaan ini diperlukan tempat yang cukup luas untuk menempelkan akselerometer dan tempat untuk pukulan, maka tiang tersebut harus dibuat kepala tiang-nya. Pembuatan kepala tiang baja dilakukan di departemen metallurgi.



Gambar 3.2 Detail kepala tiang baja

### **3.4 PROSEDUR PENGAMBILAN DATA MELALUI PIT**

Prosedur pengumpulan data rekaman PIT adalah sebagai berikut:

1. Persiapkan kepala tiang, pasang accelerometer pada tiang, dan hubungkan accelerometer (dan palu jika menggunakan dua input channel F dan A) seperti pada gambar 2.4. Kemudian masuk ke Main Menu Screen.
2. Buat nama untuk proyek baru (tombol **PROJECT**).
3. Pilih mode yang digunakan (**MODE**). Ada empat opsi yang tersedia:
  - a. **ACC** : digunakan untuk melihat rekaman akselerasi kepala tiang (tidak sering digunakan)
  - b. **VEL** : rekaman kecepatan saja, merupakan pilihan standar untuk uji PIT biasa
  - c. **V + F** : selain kecepatan juga merekam gaya dari instrumented hammer.
  - d. **V + V** : jika dua buah accelerometer digunakan untuk mengambil rekaman kecepatan.
4. Tentukan satuan (**UNIT**)
5. Masukkan data informasi tiang yang akan diuji (gambar **HAMMER**).
6. Jika ingin mengambil data rekaman kecepatan saja (ACC atau VEL pada butir 3) setelah mengisi data informasi tiang masuk ke Parameter Menu:
  - a. **AG** : Acc Gain digunakan memperkuat sinyal lemah. Range yang dapat diterima 1 sampai 128, direkomendasikan untuk memulainya dari 4. Angka yang muncul di setiap pukulan di sebelah kiri work screen mengindikasikan persentase dari skala penuh sinyal *A to D*. Sangat dianjurkan untuk membuat nilai ini berada antara 30 dan 70. Jika nilai ini berada di luar 30-70, maka nilai AG akan naik atau turun menurut kuat pukulan.
  - b. **LE** : Pile Length, panjang tiang digunakan untuk menghitung waktu perjalanan  $2L/c$  dan menempatkan garis penanda waktu T1 dan T2 pada analysis screen dan output. Input panjang ini juga menentukan waktu akhir dari perbesaran eksponensial (*exponential magnification*). Walaupun memasukkan panjang yang baru, pesan akan muncul untuk

- memasukkan *magnification delay* (panjang di mana perbesaran dimulai). Defaultnya adalah 20% dari panjang tiang.
- c. **WS** : Wave Speed, kecepatan gelombang longitudinal tiang digunakan untuk menghitung waktu perjalanan  $2L/C$  dan jarak pantulan atau kerusakan yang diamati. Tipikal WS berkisar antara 10.500 hingga 14.500 ft/sec (3.200 hingga 4.420 m/sec). Jika panjang tiang dapat diketahui dengan baik, maka WS dapat diukur secara akurat dengan menggunakan garis waktu pada analysis screen. Jika LE tidak diketahui, WS harus diperkirakan antara 12.000 hingga 13.000 ft/sec (3.660 hingga 3.960 m/sec)
  7. Jika data rekaman gaya juga ingin diambil ( $V + F$  pada butir 3), ada beberapa tambahan informasi yang harus dimasukkan pada Parameter Menu:
    - d. **AC** dan **FC** : Acc Calibration dan Force Calibration adalah berturut-turut nilai kalibrasi accelerometer dalam g/volt untuk channel A dan F. Sebenarnya yang diperlukan hanya memasukkan nilai FC jika data rekaman gaya juga diambil.
    - e. **WT** : Hammer Weight dipergunakan untuk menghitung gaya tumbukan  $F = ma$ .
    - f. **AR** : Pile Area, luas kepala tiang nominal dipergunakan untuk kalkulasi skala F dan V berdasarkan proportionality  $F = v (EA/c)$ .
    - g. **FG** : Force Gain, sama seperti AG tetapi untuk hammer accelerometer.
  8. Masukkan jumlah pukulan , **#BL** dipergunakan untuk dirata-ratakan. Tekan OK untuk masuk ke Work Screen.
  9. Pukul kepala tiang dengan menggunakan palu secara konsisten. Ketika jumlah pukulan yang didefinisikan **#BL** terpenuhi maka tulisan **COMPLETE** akan terlihat di layar. Cek kualitas data sebelum masuk ke Analyze Screen:
    - Semua data rekaman seharusnya mirip dan konsisten dengan sebuah *impact peak* pada permulaannya.
    - Seperti telah disebutkan sebelumnya, skala angka A sampai D harus diantara 30 dan 70. Jika tidak maka AG harus disesuaikan.

- Jika beberapa pukulan berlangsung buruk, tekan **CLR** kemudian maka pukulan dimulai dari awal lagi.
- Untuk mengabaikan beberapa pukulan dari perhitungan rata-rata tekan tombol Y/N pada sebelah kiri work screen. Gunakan tombol ↑ atau ↓ untuk menentukan pukulan mana yang akan diabaikan.

Setelah pengecekan selesai tekan **OK** untuk masuk ke Analyze Screen

10. Pada Analyze Screen ada beberapa opsi yang bisa dilakukan. Penjelasan opsi-opsi tersebut adalah sebagai berikut:
  - MA**: Exponential Magnification. Faktor pembesaran eksponensial digunakan untuk memperbesar sinyal pada ujung bawah tiang yaitu pada T2. Seperti telah disebutkan sebelumnya bahwa nilai MA sebaiknya diatur 1 sampai 30 sehingga amplitudo pantulan pada ujung bawah tiang kira-kira berada antara pertengahan sampai amplitudo penuh.
  - WS** : Wavespeed, kecepatan gelombang yang telah didefinisikan pada main menu. Jika setelah pembesaran dan LE telah diketahui dengan pasti, wavespeed dapat diubah pada analyze screen.
  - LE** : Jika panjang tidak diketahui dan wavespeed diketahui, panjang dapat disesuaikan dengan waktu terjadinya pantulan jung bawah tiang.
  - MD** : Magnification Delay telah dimasukkan ketika menentukan LE
  - LO** : Nilai peningkatan atau perbaikan sinyal yang memberikan penampilan yang lebih halus (*smooth*).
  - HI** : Nilai peningkatan atau perbaikan sinyal yang memberikan penampilan yang lebih lurus (*straight*).
  - WT** : Berat Hammer. Tersedia jika dilakukan pengambilan rekaman gaya.
  - DEL** : Mengembalikan ke tampilan Data Screen Collect, tanpa menyimpan data yang baru saja diambil.
  - OK** : Kembali ke Main Menu untuk pengujian selanjutnya.
  - SIGNAL MENU** : mengubah fungsi yang tersedia
  - PRIMARY MENU** : kembali ke fungsi yang tersedia pada bentuk default

1. **T1/T2**,  $\uparrow$ ,  $\downarrow$ ,  $\leftarrow$ ,  $\rightarrow$  : Memperbolehkan pengguna menyesuaikan waktu T1 dan T2 yang digunakan untuk menghitung wavespeed dan length.
  - m. **PIVOT**,  $\uparrow$ ,  $\downarrow$  : Memperbolehkan pengguna untuk merotasikan data record naik dan turun.
  - n. **WL** : Memperbolehkan pengguna untuk mengaplikasikan analisis wavelet untuk menunjukkan curva yang halus (*smoothing*).
  - o. **HAMMER** : untuk kembali ke Data Collection Screen.
  - p.  $\uparrow$ ,  $\downarrow$  yang berada disebelah sinyal : digunakan untuk memanggil data record sebelum dan sesudah *current file*.
11. Untuk memproses ulang data dari memory, tekan FOLDER pada MM. Pilih file yang ingin ditampilkan kemudian tekan OK.

### 3.5 METODOLOGI PENGOLAHAN DATA

Data yang direkam oleh alat PIT disimpan dalam media PCMCIA flash card dan dapat didownload ke dalam PC dengan menggunakan flash card reader melalui USB port. Data PIT yang telah didownload dapat dibaca dengan bantuan software PIT-W. Data tersebut dipindahkan kedalam excel untuk pengolahan data lebih lanjut,

## **BAB IV**

### **ANALISA HASIL PERCOBAAN**

#### **4.1 KARAKTERISTIK DATA REKAMAN PIT**

##### **Time Increment**

Telah dikemukakan bahwa hasil percobaan untuk masing-masing tiang adalah kurva percepatan atau kecepatan yang diplot terhadap waktu. Kurva ini menginvestigasi pantulan gelombang yang mengindikasikan adanya perubahan pada properti tiang. Perubahan properti tiang ini umumnya berupa perubahan luas penampang A atau kualitas material tiang  $\rho \cdot c$ .

Pengujian dilakukan pada beton yang telah mencapai umur 7 hari. Untuk semua tiang, pukulan palu ditempatkan pada sebelah sisi tiang, sedangkan akselerometer ditempel tepat di tengah tiang (di dalam sangkar tulangan beton bertulang)

Data yang direkam oleh alat PIT disimpan dalam media PCMCIA flash card dan dapat didownload ke dalam PC dengan menggunakan flash card reader melalui USB port. Data PIT yang telah didownload dapat dibaca dengan bantuan software PIT-W baik versi standar (tanpa analisis frekuensi) maupun PIT-W Pro (dapat digunakan untuk analisis frekuensi, profil dan multiple column). Data itu juga bisa dipindahkan kedalam excel.

Dalam tulisan ini ada dua jenis data yang ditampilkan yaitu data kecepatan versus waktu dan data amplitude versus frekuensi. Data pertama merupakan time domain, sedangkan data terakhir merupakan frequency domain.

Data time domain yang direkam adalah berupa titik-titik diskrit dimana ada jarak antar waktu atau time increment yang direkam. Besarnya data acquisition rate dapat dipilih antara 50.000 point/second, 100.000 point/second dan 150.000 point/second.

Misalnya untuk 50.000 point/second maka time increment-nya adalah:

$$\begin{aligned} 50.000 \text{ point/second} &= \frac{1}{50.000} \text{ second} \\ &= 0,02 \text{ milisecond} \end{aligned}$$

PIT merekam sebanyak 1024 point setelah pukulan dikenakan pada kepala tiang. Ini berarti lama waktu rekam PIT untuk 50.000 point/second adalah :

$$\begin{aligned} T &= 1024 \times 0,02 \text{ milisecond} \\ &= 20,48 \text{ milisecond} \end{aligned}$$

Jika time increment semakin kecil maka kurva akan semakin halus berarti semakin akurat namun lama waktu rekam juga akan semakin pendek, sebaliknya jika time increment semakin besar data kurva akan semakin renggang sehingga akurasi berkurang namun lama waktu rekam semakin panjang.

### Frequency Increment

Analisis dengan menggunakan frequency domain merupakan cara lain untuk menentukan panjang atau wavespeed. Sama seperti pada data time domain, data frequency domain hasil pengolahan PIT juga dapat ditransfer ke excel.

Data frequency domain merupakan hasil Fast Fourier Transform (FFT) pada data time domain yaitu kecepatan versus waktu. Dari excel diketahui bahwa banyaknya titik hasil fast fourier transform adalah 2048. Jarak antar frekuensi atau frequency increment dapat tergantung dari  $\Delta t$  atau data acquisition rate yang diambil pada saat pembacaan di lapangan. Hubungan antara  $\Delta f$  dan  $\Delta t$  menurut hasil perhitungan penulis adalah sebagai berikut:

$$\Delta f = \frac{1000}{2 \times \Delta t \times 2048}$$

Sehingga jika  $\Delta t = 0,02$  milisecond maka

$$\begin{aligned} \Delta f &= \frac{1000}{2 \times 0,02 \times 2048} \\ &= 12,207 \text{ Hz} \end{aligned}$$

Sama halnya dengan time increment, nilai frequency increment menunjukkan kehalusan dari kurva frekuensi. Hubungan antara  $\Delta t$  dan  $\Delta f$  adalah berbanding terbalik. Tabel perbandingan data antara time domain dengan frequency domain adalah sebagai berikut:

Jenis Data		50K SPS	100K SPS	150K SPS
Time Domain	N	1024	1024	1024
	$\Delta t$ (ms)	0,02	0,01	0,0067
	T (ms)	20,48	10,23	6,82
Frequency Domain	N	2048	2048	2048
	$\Delta f$ (Hz)	12,207	24,414	36,621

Di sini penulis hasil hasil pembacaan alat PIT dengan menggunakan data acquisition rate 50.000 point/second walaupun pada saat percobaan penulis juga membaca data 100.000 point/second dan 150.000 point/second sebagai bahan perbandingan.

## 4.2 PERHITUNGAN WAVESPEED

### Metode Time Domain

Jika panjang tiang (L) beton untuk pengujian diketahui secara akurat adalah 1,5 m dan waktu tempuh gelombang (T) untuk menyelesaikan sekali perjalanan dari dan kembali ke kepala tiang adalah jarak antara dua peak pada kurva yaitu kurang lebih 1 ms maka kecepatan rambat gelombang (vc) adalah

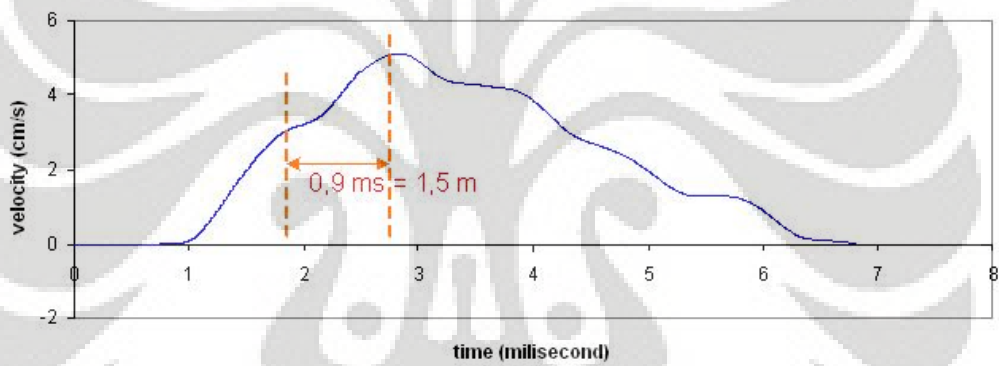
$$\begin{aligned}
 vc &= \frac{2L}{\Delta t} \\
 &= \frac{2 \times 1,5 \text{ meter}}{0,9 \text{ milisecond}} \\
 &= 3333,33 \text{ m/s}
 \end{aligned}$$

Diperoleh wavespeed sekitar 3333,33 m/s, nilai ini termasuk kedalam range untuk beton kualitas rendah.



**Gambar 4. 1**

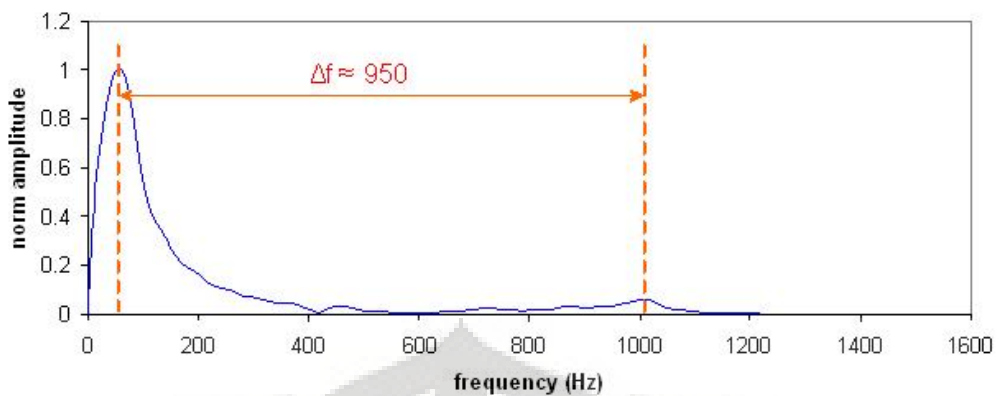
Percobaan perhitungan dengan data acquisition rate 150.000 point/second menunjukkan hal yang sama



**Gambar 4. 2**

### Metode Frequency Domain

Telah disebutkan bahwa jumlah titik pada frequency domain sebanyak 2048 point. Namun penyajian dalam grafik amplitudo vs frekuensi biasanya hanya ditampilkan frekuensi dengan range 1000-2000 Hz. Kurva frekuensi domain untuk tiang beton utuh dapat digambarkan melalui velocity spectrum sebagai berikut:



**Gambar 4.3**

Panjang tiang beton telah diketahui secara akurat sebesar 1,5 m, sedangkan  $\Delta f$  diukur sebesar 950 Hz, maka menggunakan persamaan

$$L = \frac{V_c}{2\Delta f}$$

$$V_c = L \times 2\Delta f$$

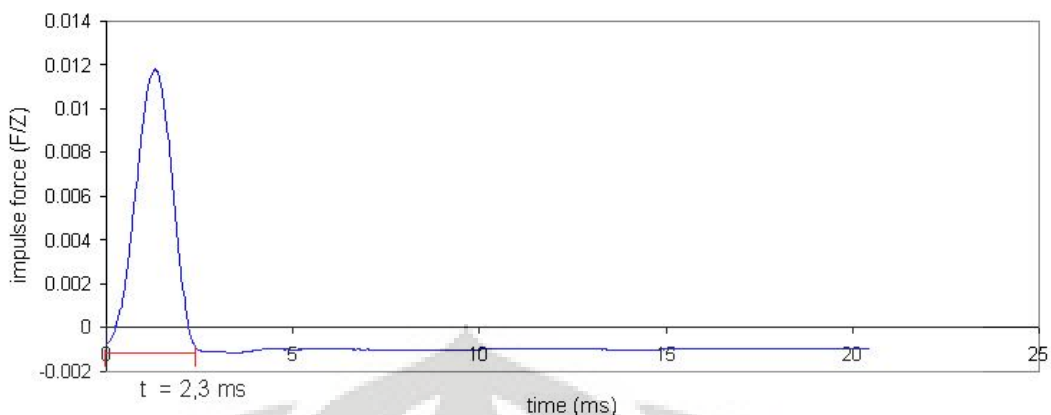
$$= 1,5 \text{ m} \times 2 \times 950 \text{ Hz}$$

$$= 2850 \text{ m/s}$$

Hasil ini di luar perkiraan penulis mengingat ada perbedaan hasil perhitungan antara time domain dengan frequency domain. Namun demikian keduanya masih dalam kategori beton dengan kualitas rendah.

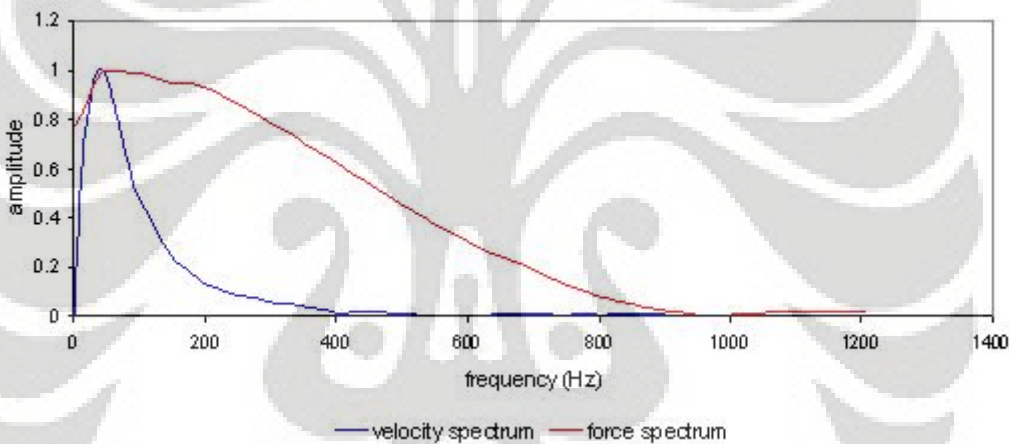
### Perhitungan dengan Mobility

Mobility merupakan hasil fast fourier transform dari gaya dan kecepatan. Hasil pembagian antara velocity spectrum dengan force spectrum menghasilkan besaran ini. Berikut ini adalah gaya impuls yang terjadi pada saat pukulan:



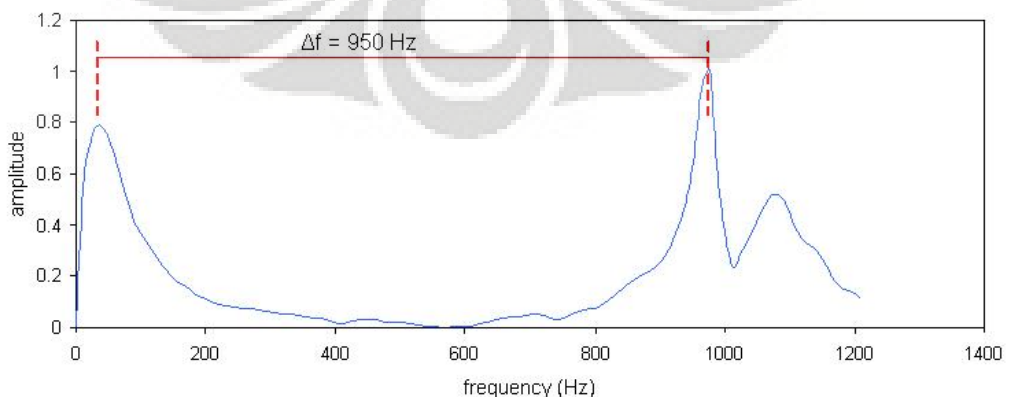
**Gambar 4.4**

Berikutnya adalah grafik velocity spectrum dan force spectrum untuk beton utuh:



**Gambar 4.5**

Dengan membagi velocity spectrum dengan force spectrum diperoleh grafik mobility:



**Gambar 4.6**

Menggunakan persamaan yang sama dengan perhitungan sebelumnya maka  $v_c$  pun diperoleh hasil yang sama

$$\begin{aligned} v_c &= L \times 2\Delta f \\ &= 1,5 \text{ m} \times 2 \times 950 \text{ Hz} \\ &= 2850 \text{ m/s} \end{aligned}$$

Sekali lagi diperoleh beton dengan kualitas buruk.

Beton dengan kualitas baik memiliki nilai kecepatan rambat gelombang antara 3.500-4.500 m/s. Secara teori kecepatan rambat gelombang  $v_c$  dapat dituliskan sebagai

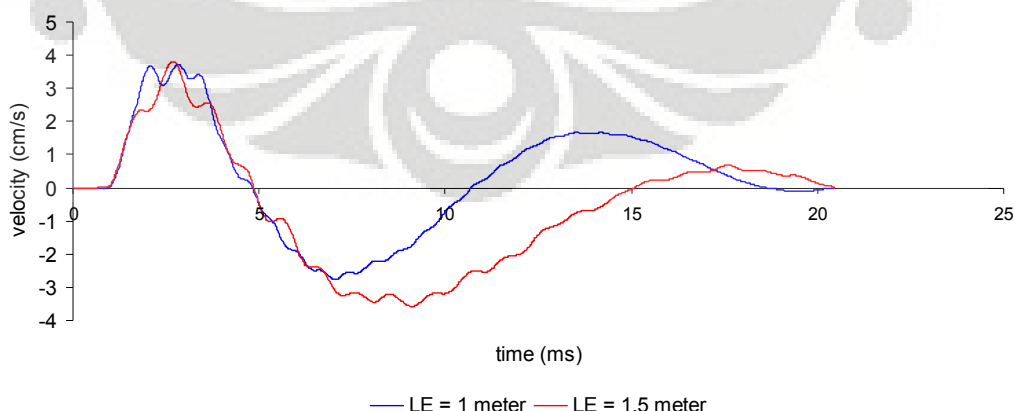
$$v_c = \sqrt{E / \rho}$$

di mana  $E$  = modulus elastisitas dan  $\rho$  = kerapatan atau massa jenis. Selama masa perawatan, kekuatan dan kekakuan bertambah begitu juga  $v_c$ . Beton yang di uji cobakan merupakan beton muda, belum berumur 28 hari pada saat pengujian sehingga faktor ini mungkin menjadi salah satu penyebab rendahnya kecepatan rambat gelombang. Uji coba dengan menggunakan alat Ultrasonic Pulse Velocity (UPV) dapat memverifikasi hasil perhitungan rambat gelombang ini.

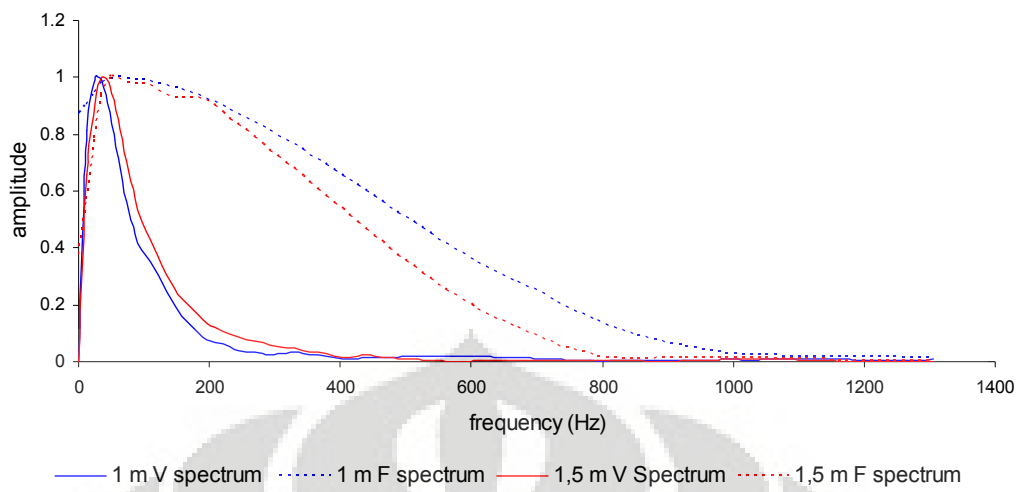
#### 4.3 PERBANDINGAN GRAFIK

Berikut ini merupakan perbandingan hasil uji PIT time domain terhadap tiang beton dan tiang baja dengan variasi antara lain: panjang, kelebaran, pengaruh tulangan dan luas penampang.

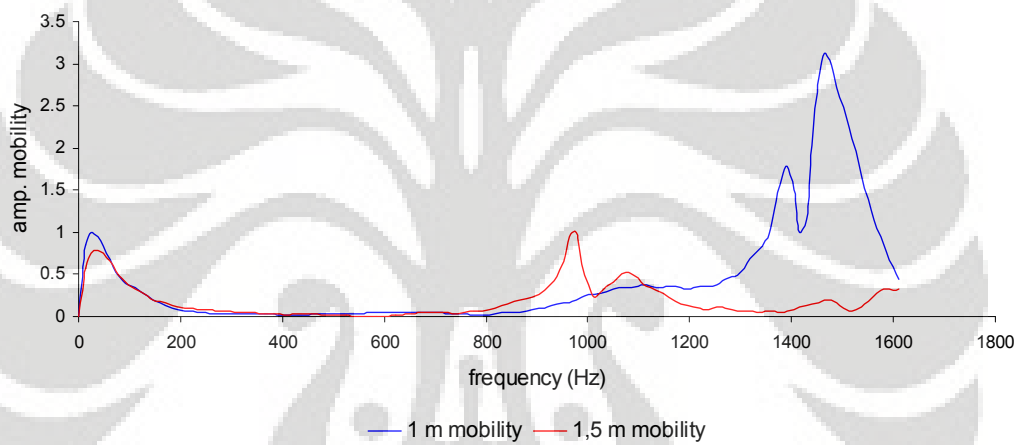
- a) Berdasarkan panjang pada beton utuh:



Gambar 4.7

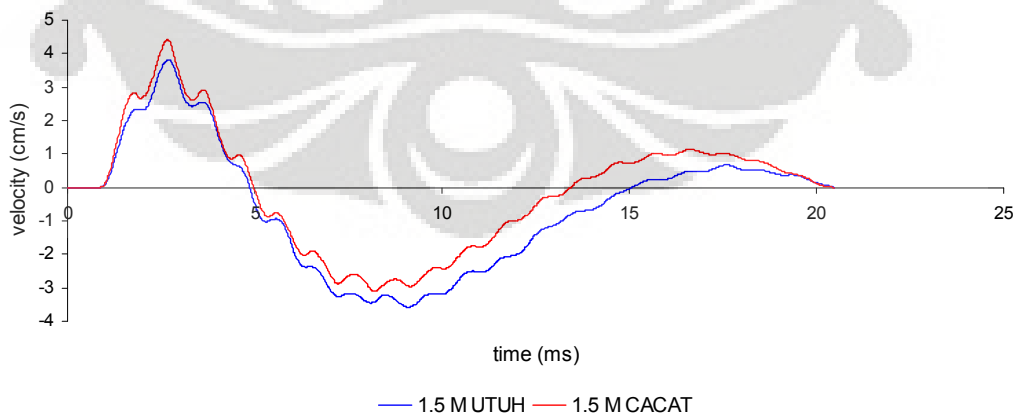


**Gambar 4.8**

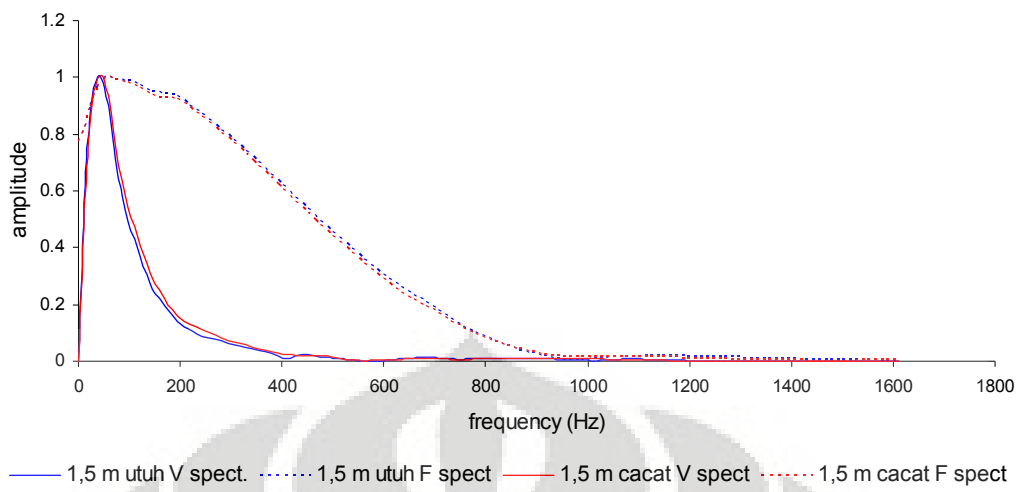


**Gambar 4.9**

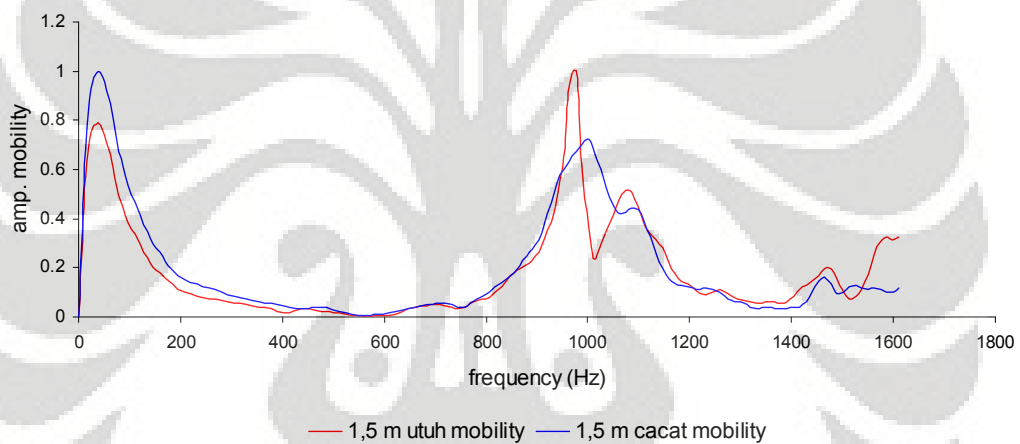
b) Berdasarkan keutuhan pada beton 1,5 meter:



**Gambar 4.10**

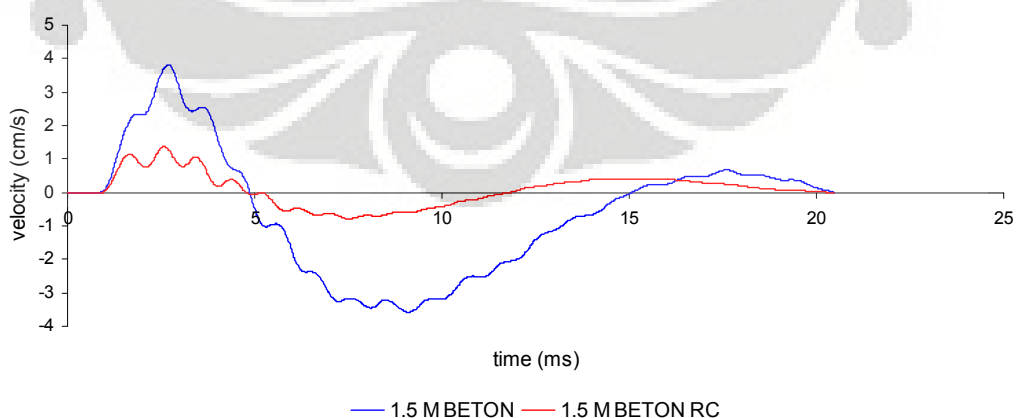


**Gambar 4. 11**

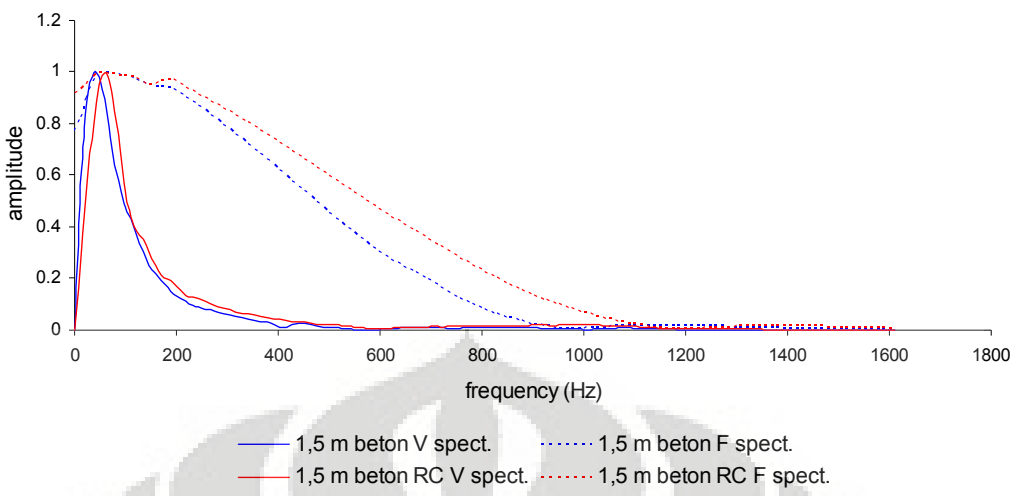


**Gambar 4. 12**

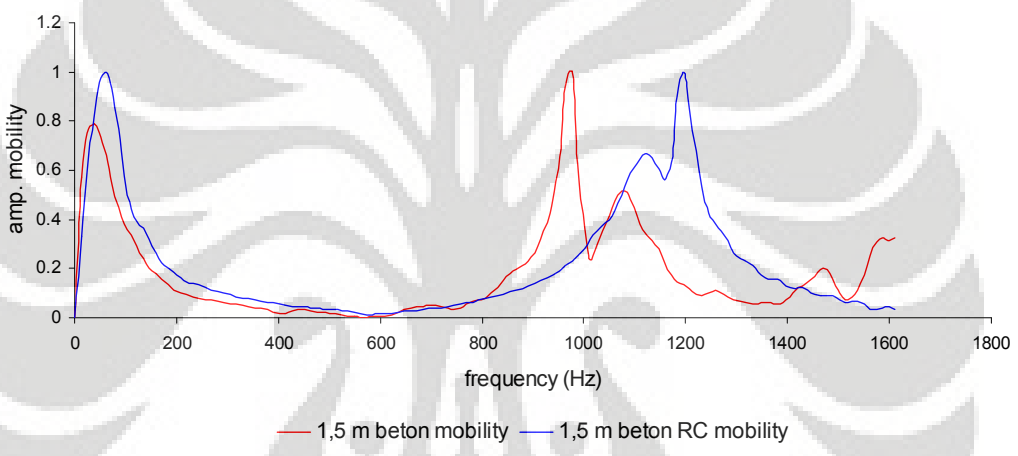
c) Berdasarkan keberadaan tulangan dan diameternya pada beton 1,5 meter:



**Gambar 4. 13**

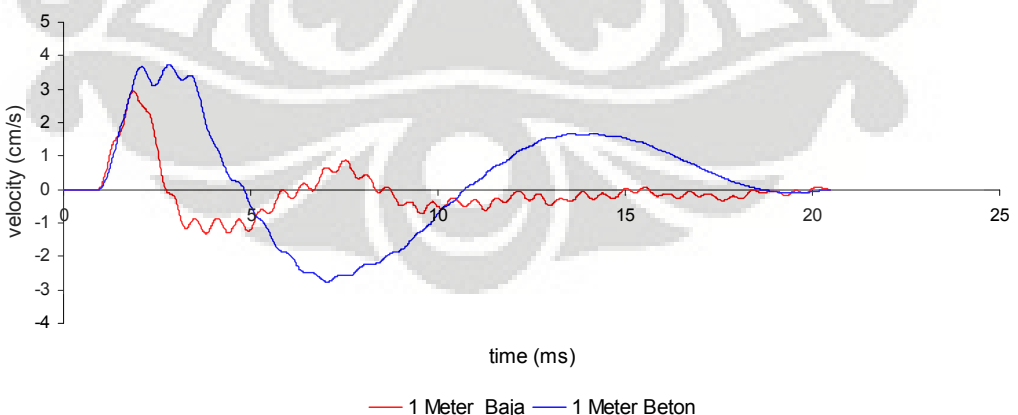


**Gambar 4. 14**

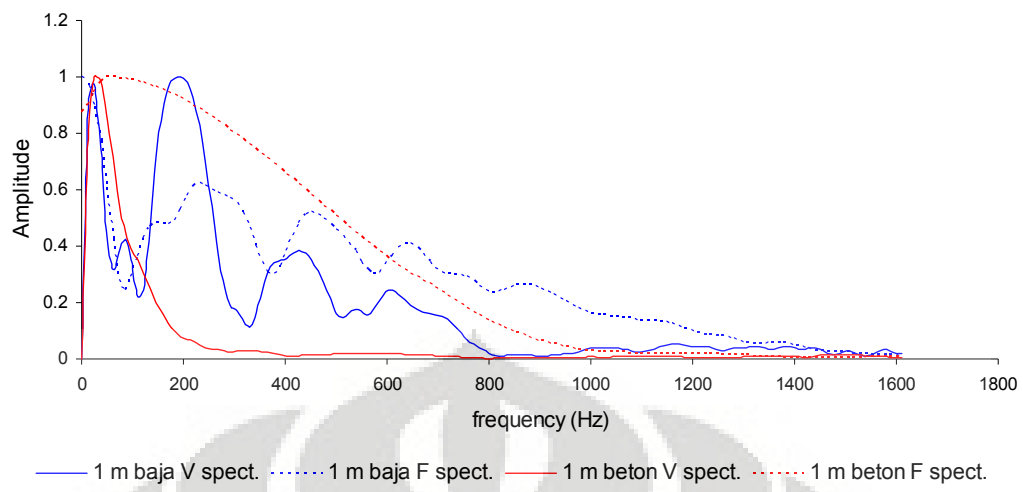


**Gambar 4. 15**

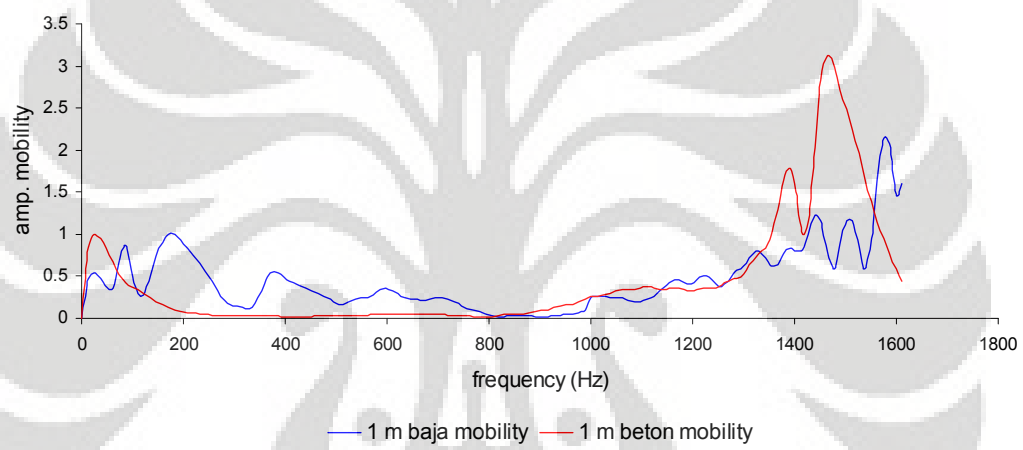
d) Berdasarkan jenis material:



**Gambar 4. 16**

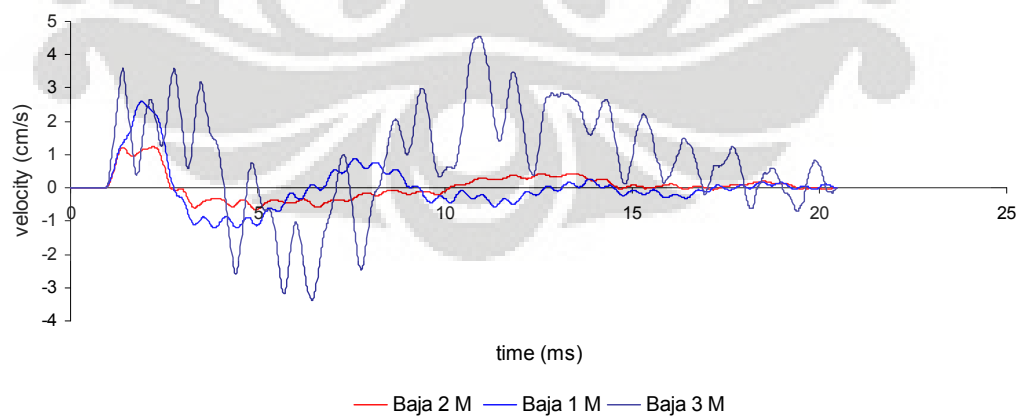


**Gambar 4. 17**

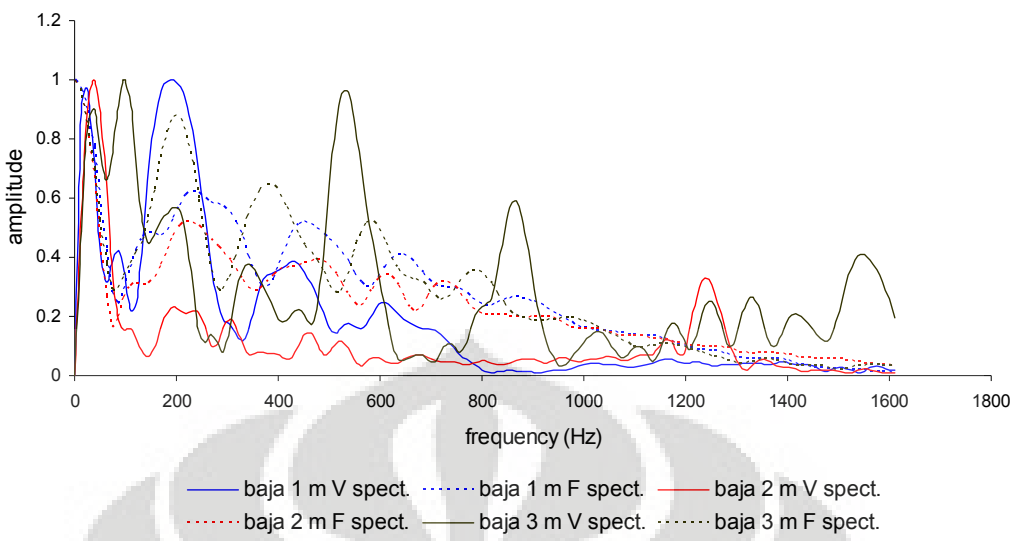


**Gambar 4. 18**

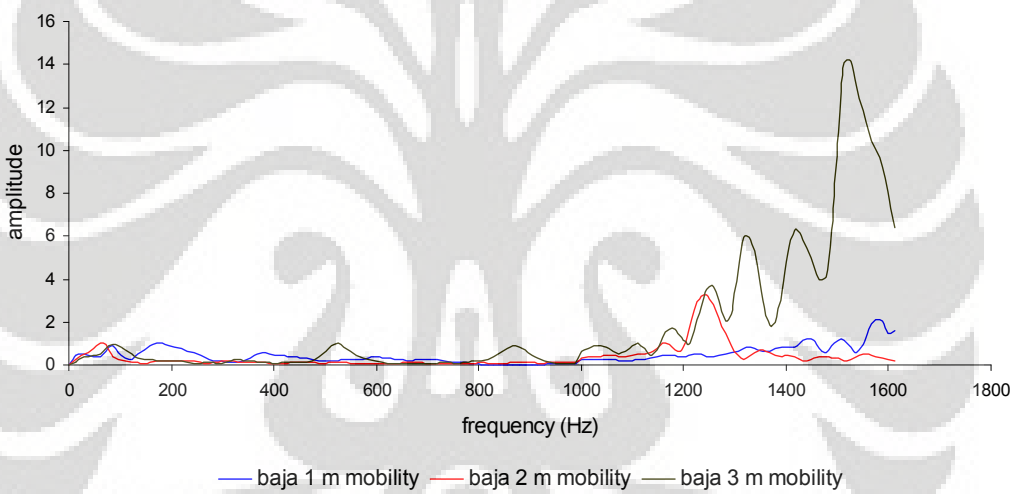
e) Berdasarkan panjang pada tiang baja:



**Gambar 4. 19**

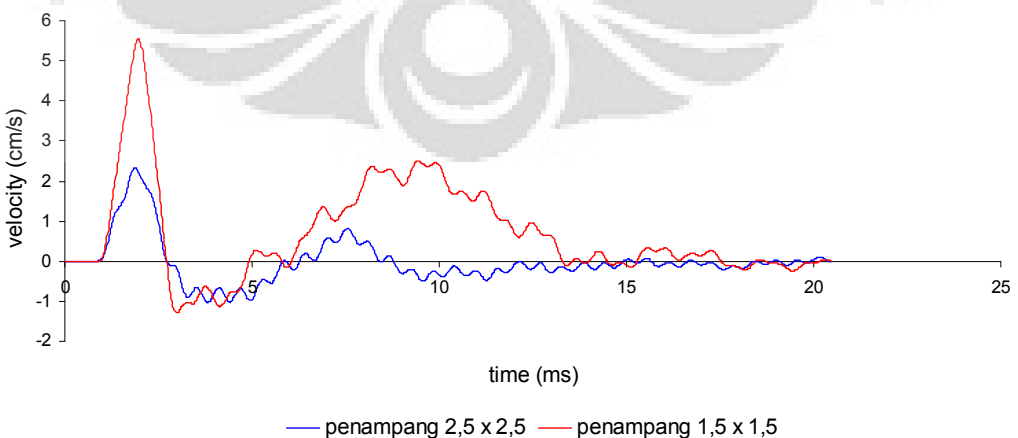


**Gambar 4. 20**

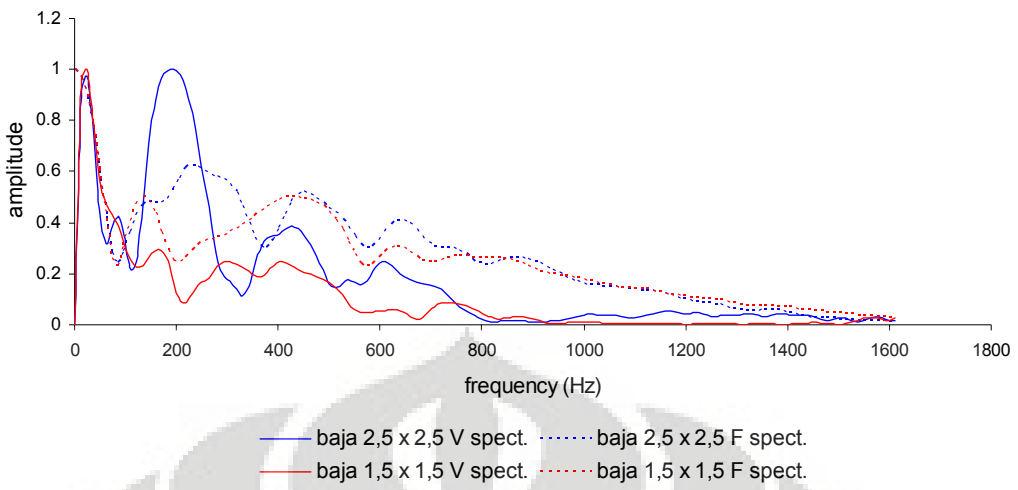


**Gambar 4. 21**

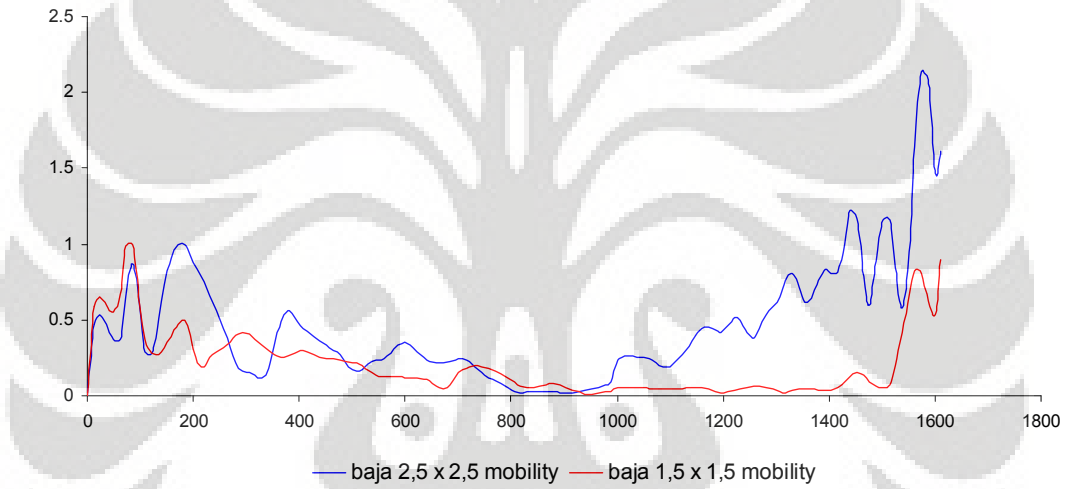
f) Berdasarkan luas penampang pada tiang baja



**Gambar 4. 22**



Gambar 4. 23



Gambar 4. 24

#### 4.4 PERBANDINGAN PERHITUNGAN SECARA MANUAL

##### Time Domain

Pada bab terdahulu telah dijelaskan bahwa untuk dapat menginterpretasikan hasil rekaman PIT, data akselerasi sebagai data mentah harus diubah terlebih dahulu menjadi data kecepatan dengan teknik integrasi numerik seperti dijelaskan pada bab 2.

Perhitungan data berikut adalah menggunakan MATLAB untuk mengintegrasikan numerik data-data percepatan menjadi kecepatan. Adapun script MATLAB yang penulis gunakan adalah sebagai berikut:

```
clear
```

```

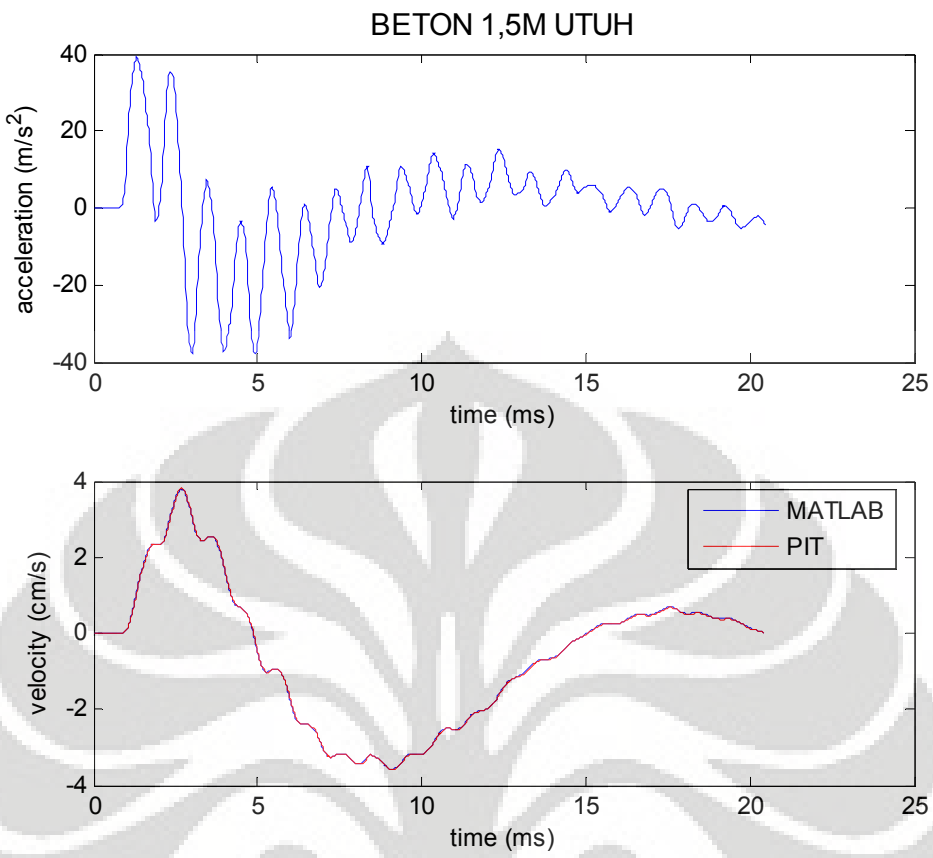
% load data
sheet1 = xlsread('Book1',1);
N1 = length(sheet1);
time = sheet1(1:N1,1);
acceleration = sheet1(1:N1,2);
X1 = sheet1(1:N1,1)*0.001;
Y1 = sheet1(1:N1,2)*100;

% perhitungan velocity
for i = 1:N1-1;
    int(i) = (X1(i+1) - X1(i))*(Y1(i+1) + Y1(i))/2;
    velocity(i+1)=sum(int);
end
velocity(1) = 0;

% grafik
subplot(2,1,1)
plot(time,acceleration)
xlabel('time (ms)')
ylabel('acceleration (m/s^2)')
subplot(2,1,2)
plot(time,velocity)
xlabel('time (ms)')
ylabel('velocity (cm/s)')

```

Di sini penulis menggunakan excel untuk load data akselerasi dengan alasan untuk mempermudah pekerjaan pada saat membandingkan dengan data hasil olahan PIT. Beberapa hasil perbandingan antara data PIT dan MATLAB adalah sebagai berikut:

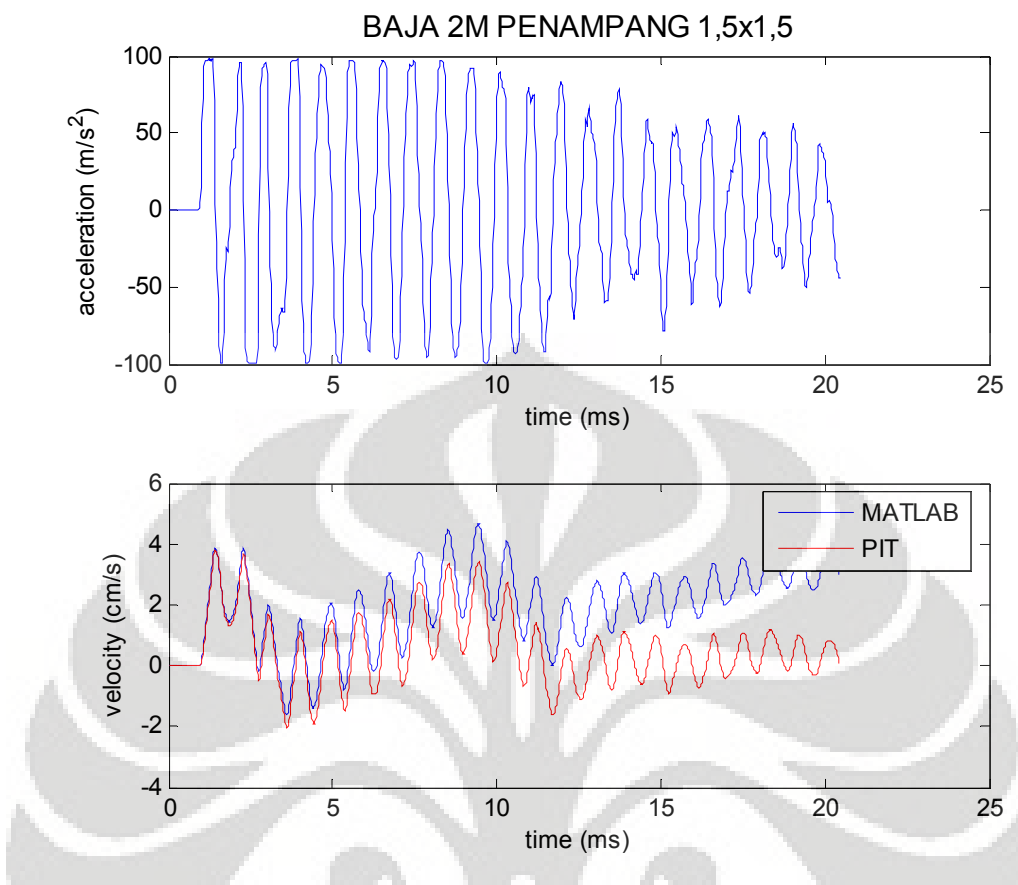


**Gambar 4. 25**

Dari grafik perbandingan di atas terlihat bahwa hasil perhitungan secara manual serupa dengan hasil olahan PIT. Pada kasus kedua yaitu pada baja 2 meter terlihat ada perbedaan yang cukup signifikan namun gerakan kecepatan pada MATLAB dan PIT masih tetap seirama dapat dilihat pada gambar berikut dibawah ini

Hal ini kemungkinan disebabkan oleh adanya 2 titik yang saling bersebrangan pada sumbu x. MATLAB mengakumulasi kedua luasan di bawah kurva antara dua titik tersebut. Luasan yang benar adalah selisih di antara keduanya.

Jadi kesimpulannya adalah perhitungan secara manual yang penulis kerjakan dengan menggunakan MATLAB belum 100% benar. Perlu dipisahkan titik-titik yang menyeberang sumbu x.



Gambar 4. 26

### Perhitungan Frequency Domain

Penulis juga telah mencoba menghitung frequency domain. Frequency domain merupakan hasil FFT dari kecepatan. Sehingga data percepatan harus diubah terlebih dahulu menjadi kecepatan. Adapun script MATLAB yang dipergunakan adalah sebagai berikut:

```

clear
% load data
sheet1 = xlsread('Book1',1);
N1 = length(sheet1);
time = sheet1(1:N1,1);
dt = time(2) - time(1);
acceleration = sheet1(1:N1,2);
X1 = sheet1(1:N1,1)*0.001;
Y1 = sheet1(1:N1,2)*100;

% perhitungan velocity
for i = 1:N1-1;
    int(i) = (X1(i+1) - X1(i))*(Y1(i+1) + Y1(i))/2;
    velocity(i+1)=sum(int);

```

```

end
velocity(1) = 0;

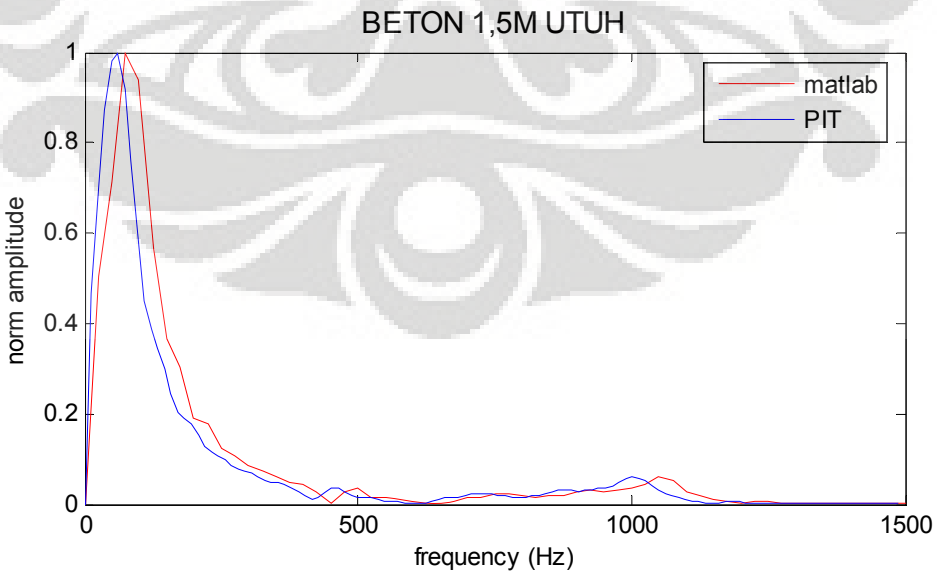
% perhitungan fast fourier transform
Npoint = 2048;
Yfft = abs(fft(velocity,Npoint));
Ymaks = max(Yfft);
Ynorm = Yfft./Ymaks;

% pengaturan frequency vector
range = input ('freq range (1000 atau ...): ');
df = (N1-1)*500/(time(N1)*N1);
M1 = int16(range/df);
Xfreq = linspace(0,range,M1);
Yfreq = Ynorm(1:M1);

% grafik
subplot(3,1,1)
plot(time,acceleration)
xlabel('time (ms)')
ylabel('acceleration (m/s^2)')
subplot(3,1,2)
plot(time,velocity)
xlabel('time (ms)')
ylabel('velocity (cm/s)')
subplot(3,1,3)
plot(Xfreq,Yfreq,'b')
xlabel('frequency (Hz)')
ylabel('Norm Amplitude')

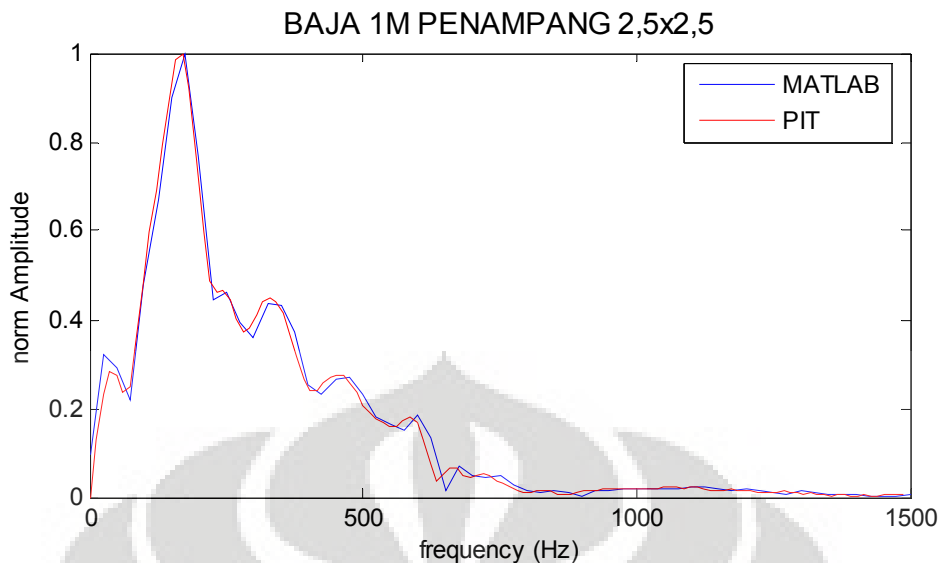
```

Beberapa hasil perbandingan antara data PIT dan MATLAB adalah sebagai berikut:



**Gambar 4. 27**

Untuk kasus yang lain



**Gambar 4. 28**

Dari kedua grafik diatas dapat dilihat bahwa hasil perhitungan secara manual dibanding hasil olahan PIT sebenarnya sebenarnya sudah cukup mirip. Namun demikian hasil perhitungan MATLAB belum sehalus hasil olahan PIT, hal ini dapat dilihat dari frequency increment keduanya. Hasil perhitungan MATLAB memiliki frequency increment sebesar 25 Hz, sedangkan PIT memiliki frequency increment sebesar 12,207 Hz. Hal ini menurut penulis dikarenakan data dari time domain hanya berjumlah 1024, sedangkan banyaknya data hasil FFT berubah menjadi sebanyak 2048. Oleh karena itu data time increment hasil MATLAB menjadi lebih renggang.

#### 4.2.3 Perhitungan Mobility

Mobility dapat dicari jika data gaya dari palu tersedia. Prosedur untuk menghitung mobility adalah hasil FFT dari velocity dibagi dengan hasil FFT dari gaya. Script perhitungan dengan menggunakan MATLAB adalah sebagai berikut:

```
clear
sheet1 = xlsread('Book2',1);
N1 = length(sheet1);
time = sheet1(1:N1,1);
dt = time(2) - time(1);
acceleration = sheet1(1:N1,2);
accforce = sheet1(1:N1,3);
X1 = sheet1(1:N1,1)*0.001;
Y1 = sheet1(1:N1,2)*100;
Z1 = sheet1(1:N1,3)*100;
```

```

% perhitungan velocity
for i = 1:N1-1;
    int1(i) = (X1(i+1) - X1(i))*(Y1(i+1) + Y1(i))/2;
    velocity(i+1)=sum(int1);
end
velocity(1) = 0;

% perhitungan F/Z
for i = 1:N1-1;
    int2(i) = (X1(i+1) - X1(i))*(Z1(i+1) + Z1(i))/2;
    velforce(i+1)=sum(int2);
end
velforce(1) = 0;

% perhitungan fast fourier transform untuk velocity
Npoint = 2048;
Yfft = abs(fft(velocity,Npoint));
Ymaks = max(Yfft);
Ynorm = Yfft./Ymaks;

% perhitungan fast fourier transform untuk F/Z
Zfft = abs(fft(velforce,Npoint));
Zmaks = max(Zfft);
Znorm = Zfft./Zmaks;

% pengaturan frequency vector
range = input ('freq range (1000 atau ...): ');
df = (N1-1)*500/(time(N1)*N1);
M1 = int16(range/df);
Xfreq = linspace(0,range,M1);
Yfreqtemp = Ynorm(1:M1);
Zfreq = Znorm(1:M1);

% perhitungan mobility
mob = Yfreqtemp./Zfreq;
mobmax = max(mob);
mobility = mob./mobmax;
Yfreq = Yfreqtemp./mobmax;

% konfigurasi grafik
subplot(3,1,1)
plot(time,acceleration)
xlabel('time (ms)')
ylabel('acceleration (m/s^2)')
hold on
plot(time,accforce,'-.')
hold off
f = legend('acc','F^l/Z',1);
subplot(3,1,2)
plot(time,velocity)
xlabel('time (ms)')
ylabel('velocity (cm/s)')
hold on
plot(time,velforce,'-.')
hold off
g = legend('vel','F/Z',1);
subplot(3,1,3)
plot(Xfreq,Yfreq)

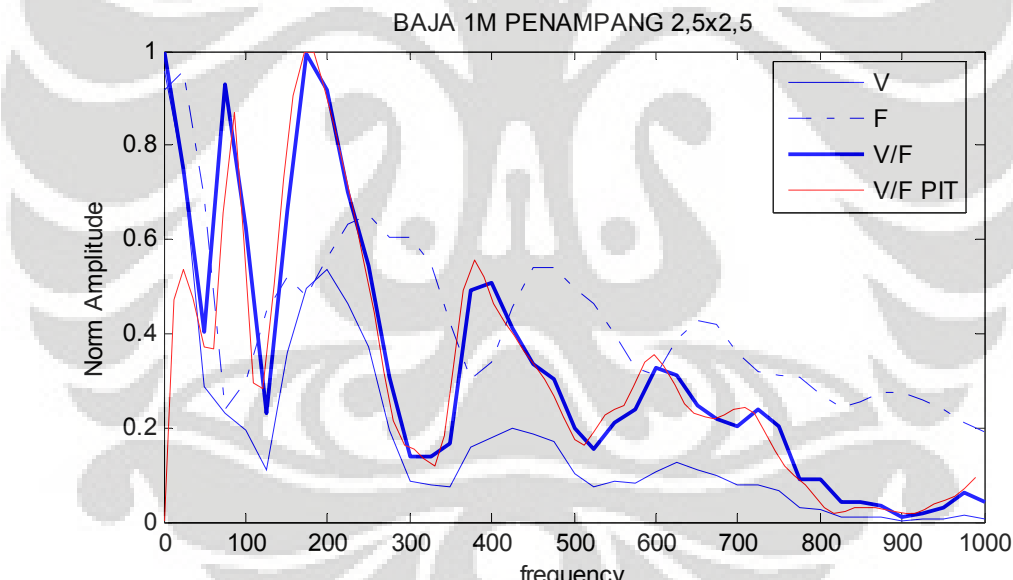
```

```

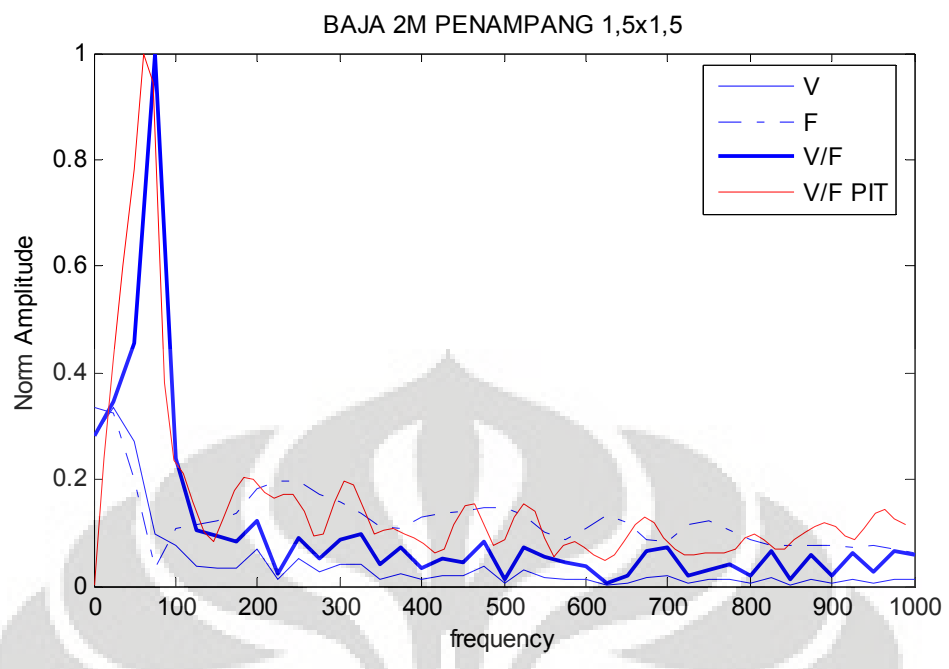
xlabel('frequency')
ylabel('Norm Amplitude')
hold on
plot(Xfreq,Zfreq,'-.')
hold off
hold on
plot(Xfreq,mobility,'m')
xlabel('frequency (Hz)')
ylabel('Norm Amplitude')
hold off
h = legend('V\omega','F\omega','M\omega',1);

```

Beberapa contoh perhitungan mobility adalah sebagai berikut. Hasil perhitungan mobility secara manual dibandingkan dengan hasil PIT sebenarnya juga tidak jauh berbeda, kecuali pada bagian awal dari kurva. Sama seperti pada frequency domain di bagian sebelumnya, kekurangan dari perhitungan secara manual ini adalah frequency increment-nya yang terlalu lebar sehingga kurva menjadi kurang halus.



Gambar 4. 29



## **BAB V**

### **KESIMPULAN DAN SARAN**

#### **5.1 KESIMPULAN**

Kesimpulan yang diperoleh setelah diadakan uji lapangan pada tiang beton dan tiang baja adalah sebagai berikut:

1. Sampel uji tiang beton termasuk kategori beton kualitas rendah, hal ini dibuktikan oleh nilai kecepatan rambat gelombang yang rendah.
2. Dari perhitungan diperoleh besar kecepatan rambat gelombang untuk beton adalah berkisar 2.800-3.300 m/s. sedangkan range kecepatan rambat gelombang untuk beton berkualitas adalah 3.500-4.500 m/s.
3. Hasil percobaan pembacaan terhadap beton berlangsung cukup baik dimana puncak-puncak/pantulan yang menandakan kaki tiang yang terdapat dalam grafik baik *time domain* maupun *frequency domain* terlihat jelas,
4. Cacat yang dilakukan pada tiang beton tidak terlalu jelas terlihat pada Time Domain. Namun jika dilihat dari *mobility*-nya menimbulkan kerancuan karena gaya yang berkenaan pada frekuensi terlalu kecil.
5. Hasil percobaan pembacaan terhadap baja, menunjukkan hasil yang tidak dapat didefinisikan. Interpretasi terhadap grafik frekuensi menunjukkan kelainan, seperti puncak yang terjadi beberapa kali pada pembacaan grafik *force vs time*, maupun pada kurva spektrum gaya. Hal ini menurut penulis terjadi akibat kepala tiang yang kurang cocok di pakai untuk percobaan ini.
6. Hasil yang diperoleh melalui perhitungan “manual” menghasilkan nilai cukup baik, baik pada perhitungan integral maupun pada perhitungan frekuensi.

7. Pada perhitungan integral permasalahan terletak pada kurva yang menyeberang sumbu x, salah satu solusinya titik-titik tersebut harus dipisahkan terlebih dahulu.
8. Pada perhitungan frekuensi permasalahannya yaitu jika menggunakan FFT dengan  $N = 2048$  point maka, *frequency increment* menghasilkan titik yang lebih renggang daripada hasil pengolahan alat PIT, sehingga kurva yang dihasilkan kurang halus. Solusinya adalah memperbesar N hingga 4096 point. Penulis sudah mencoba ternyata dihasilkan *frequency increment* yang sama dengan yang dihasilkan PIT.

## 5.2 SARAN

- Untuk keperluan penelitian selanjutnya saran-saran dari penulis adalah
1. Penulis menilai perlunya dilakukan test *Ultrasonic Pulse Velocity* (UPV) untuk mengecek perhitungan kecepatan rambat gelombang.
  2. Dari pembacaan terhadap grafik *force vs time*, waktu *impact* berlangsung sekitar 2 milisecond. Waktu tersebut terlalu besar, sehingga perlu dipertimbangkan alat pemukul lain yang lebih ringan seperti *ball bearing* dsb.
  3. Terkait dengan ketidaktentuan hasil yang diperoleh dari pembacaan pada tiang baja maka perlu diperbaiki cara pembuatan kepala tiang baja.

## DAFTAR PUSTAKA

Massoudi N., and W. Tederra, *Non-Destructive Testing Of Piles Using The Low Strain Integrity Method*, Geotechnical Engineering Paper No 9.03, April 13-17, New York 2004

Gassman L. S., *Cutoff Frequencies For Impulse Response Test Of Existing Foundation*, Journal of Performance of Constructed Facilities, February 2000

Finno J. R., Gasmann L. S., *Impulse Response Evaluation of Drilled Shaft*, *Journal of Geotechnical and Geoenvirontmental Engineering*, October 1998

Baxter S. C., Islam M. O., Gassman L. S., *Impulse Response Evaluation of Drilled Shaft with Pile Caps: Modelling and Experiment*, *Canadian Journal of Civil Engineering*, April 2004

Hardjasaputra H., M. Ibrahim dan R. Tampubolon, *Strategi Pencegahan Kegagalan Pondasi dengan Melakukan Rangkaian Uji Coba Beban Serta Uji Integritas Tiang Pondasi*, Jurnal Teknik Sipil, Vol. 3 , No. 2, Juli 2006

Chapra, S. C., and R. P. Canale, *Numerical Methods for Engineers With Software and Programming Application*, 4<sup>th</sup> Ed., McGraw-Hill, New York, 2003.

Haselman D., and B. Littlefield, *Mastering MATLAB 5 A Comprehensive Tutorial and Reference*, Prentice-Hall, New Jersey, 1998.

Varberg D., E. J. Purcell, and S. E. Rigdon, *Calculus*, 8<sup>th</sup> Ed., Prentice-Hall, 2003

*PIT Collector User's Manual*, Pile Dynamic, Inc., October 2005

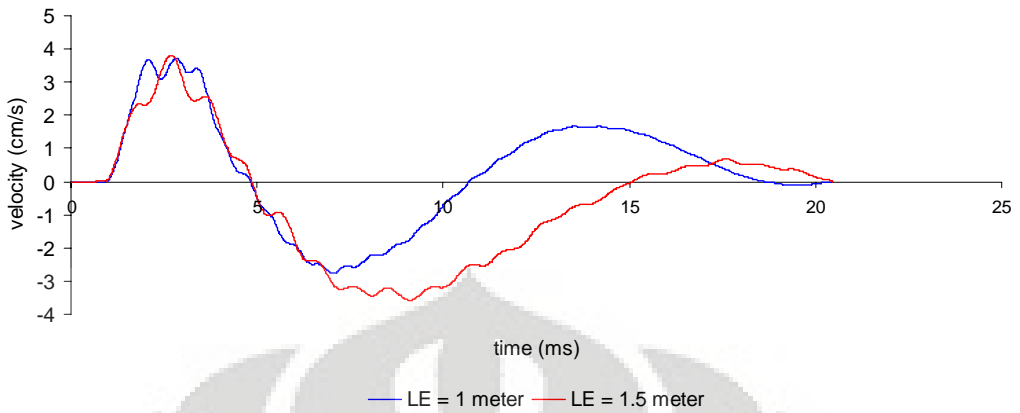
*PIT-W Ver. 2003 User's Manual*, Pile Dynamic, Inc., 2003



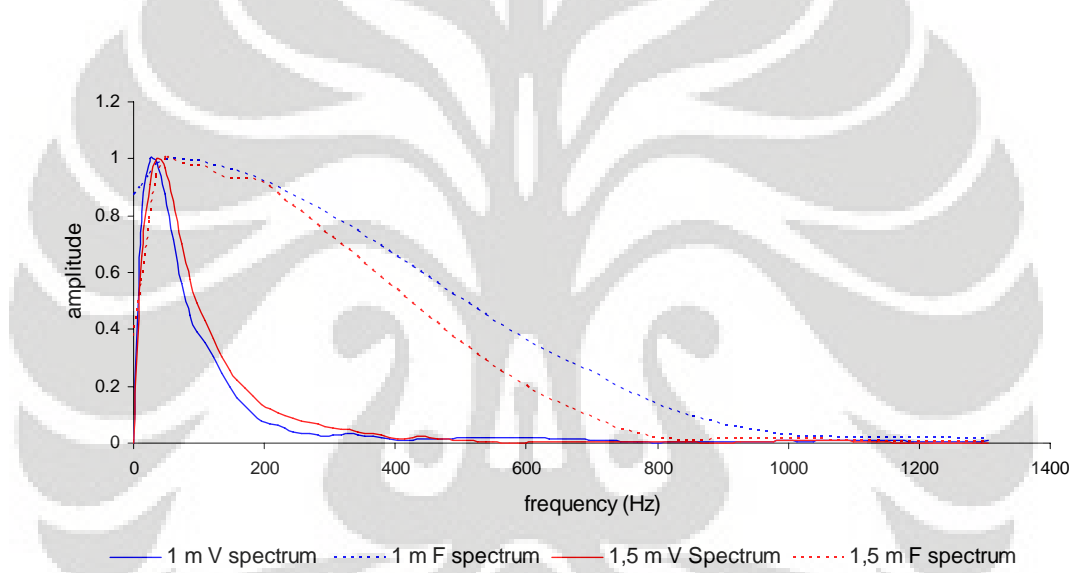
**LAMPIRAN**

LAMPIRAN 1  
Perbandingan Grafik-Grafik  
Hasil Pengujian di Lapangan

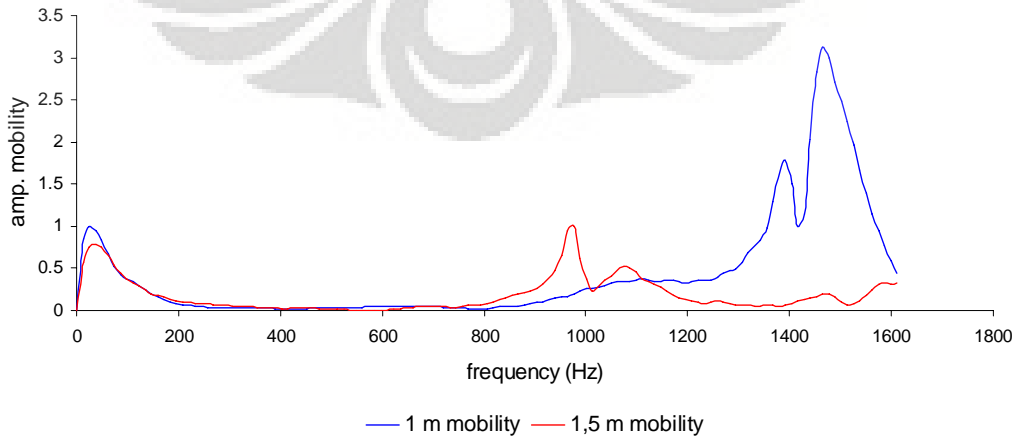
## Berdasarkan Panjang pada Beton



Gambar L.1: Perbandingan hasil sinyal velocity vs time antara beton 1 m dgn beton 1.5 m

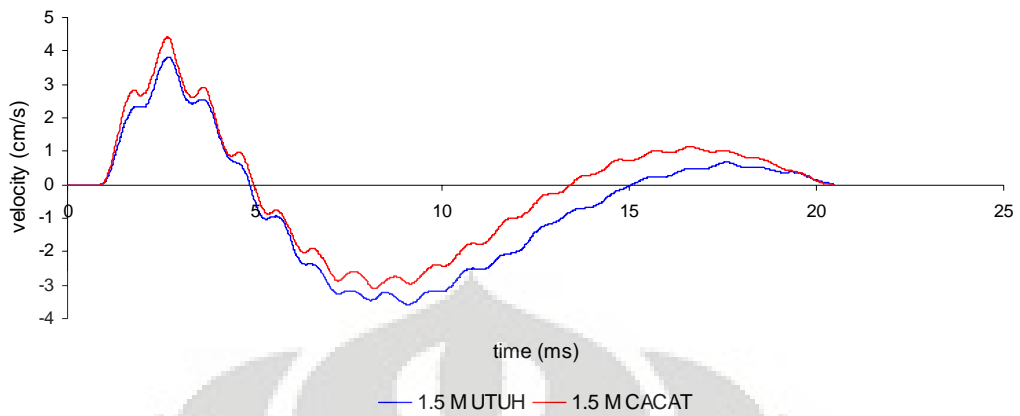


Gambar L. 2: Perbandingan hasil sinyal spekt frekuensi velocity dan force antara beton 1 m dengan beton 1.5 m

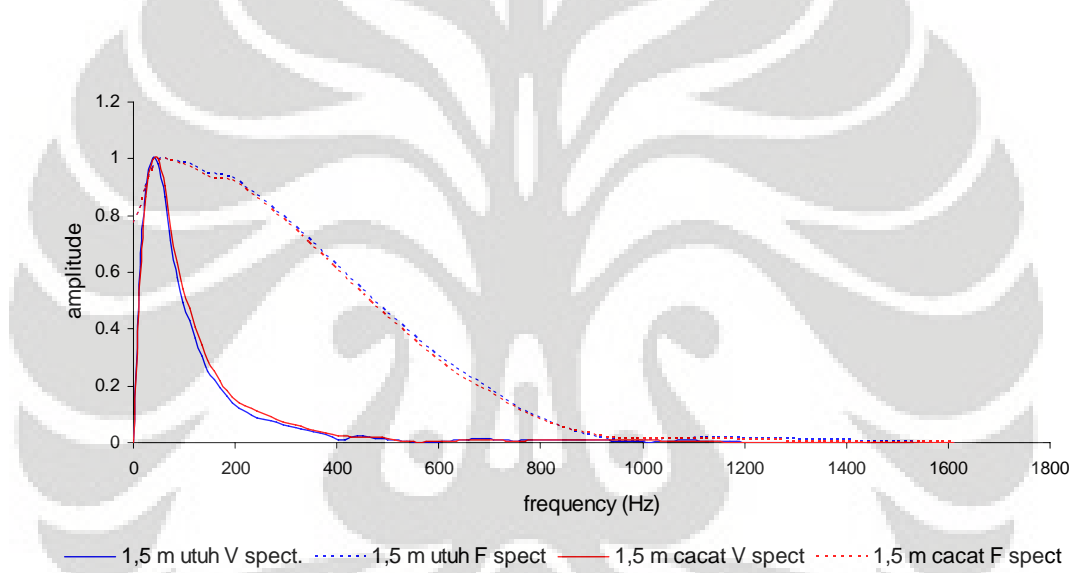


Gambar L. 3: Perbandingan rekaman mobility antara beton 1 m dgn beton 1.5 m

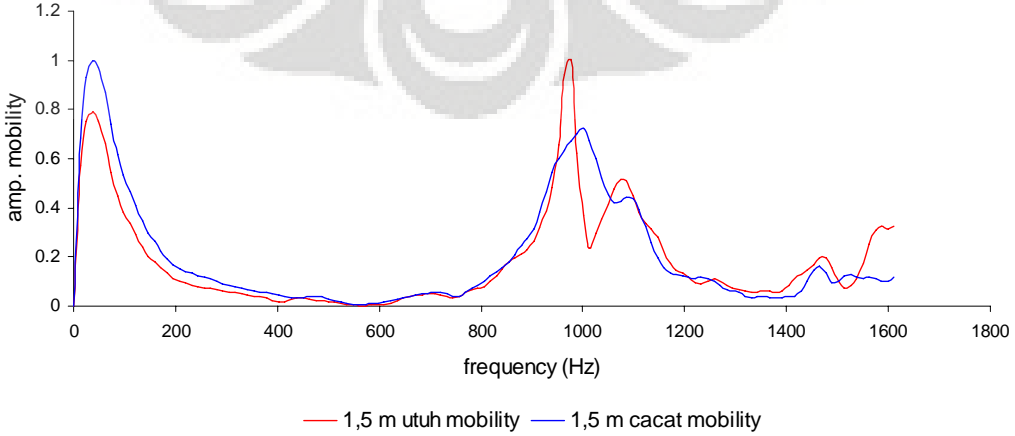
## Berdasarkan Keutuhan pada Beton 1,5 Meter



Gambar L. 4: Perbandingan sinyal velocity vs time antara beton utuh dengan beton cacat

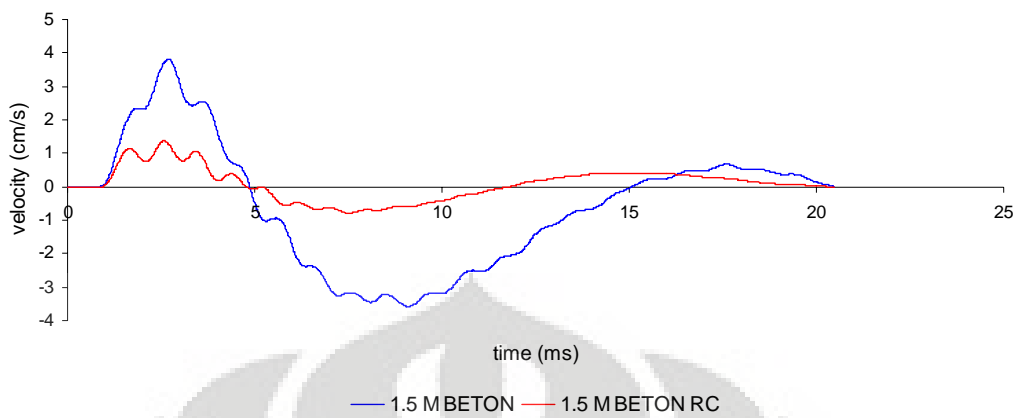


Gambar L. 5: Perbandingan sinyal spekt kecepatan dan gaya antara beton utuh dgn beton cacat

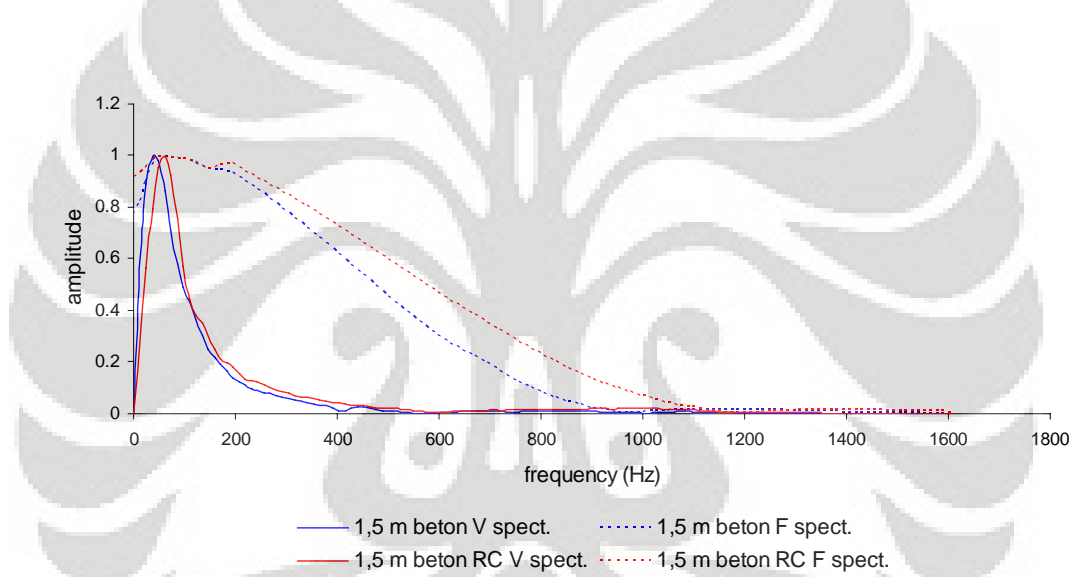


Gambar L. 6: Perbandingan mobility antara beton 1 m dgn beton 1.5 m

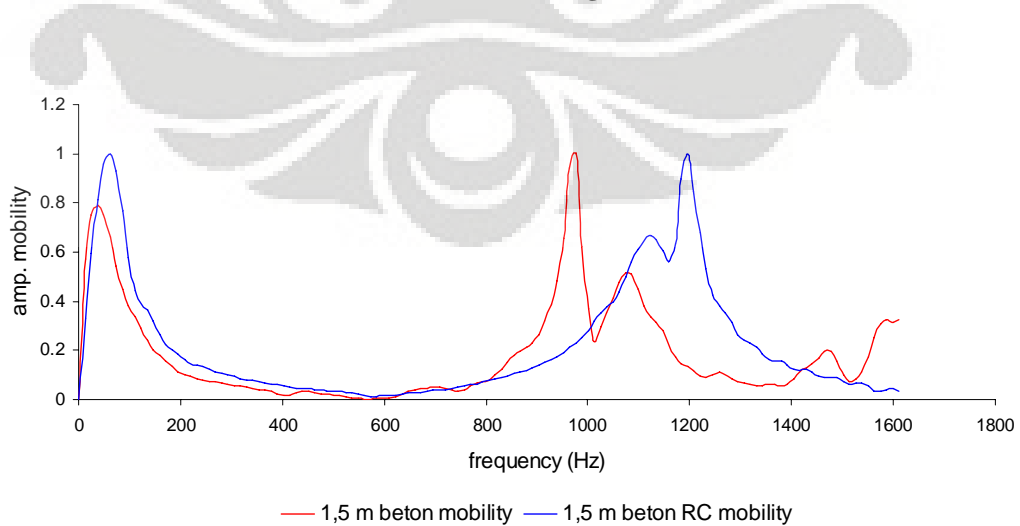
## Berdasarkan Keberadaan Tulangan dan Diameternya pada Beton 1,5 Meter



Gambar L. 7: Perbandingan sinyal velocity vs time antara beton polos dgn beton bertulang

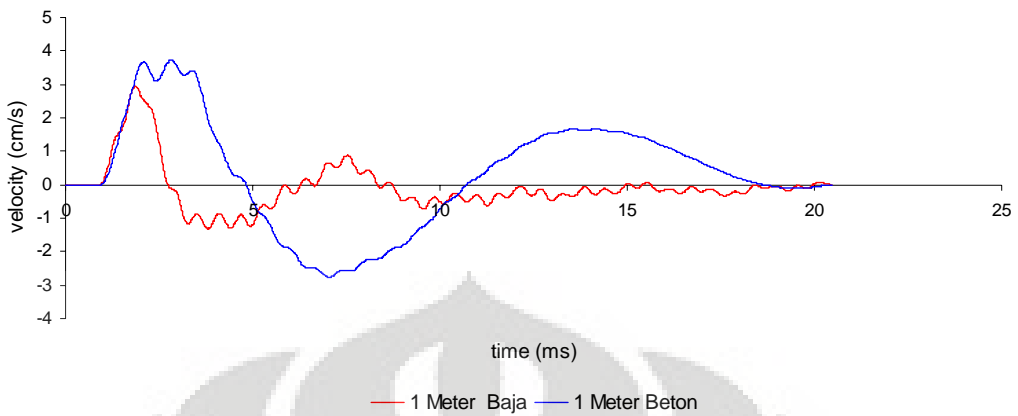


Gambar L. 8: Perbandingan sinyal spektrum kecepatan dan gaya antara beton polos dengan beton bertulang

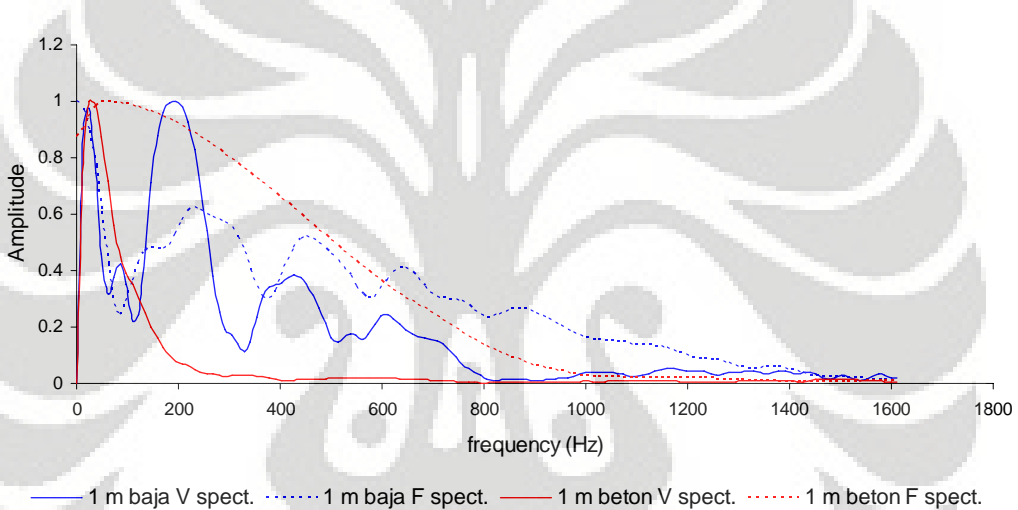


Gambar L. 9: Perbandingan mobility antara beton polos dgn beton bertulang

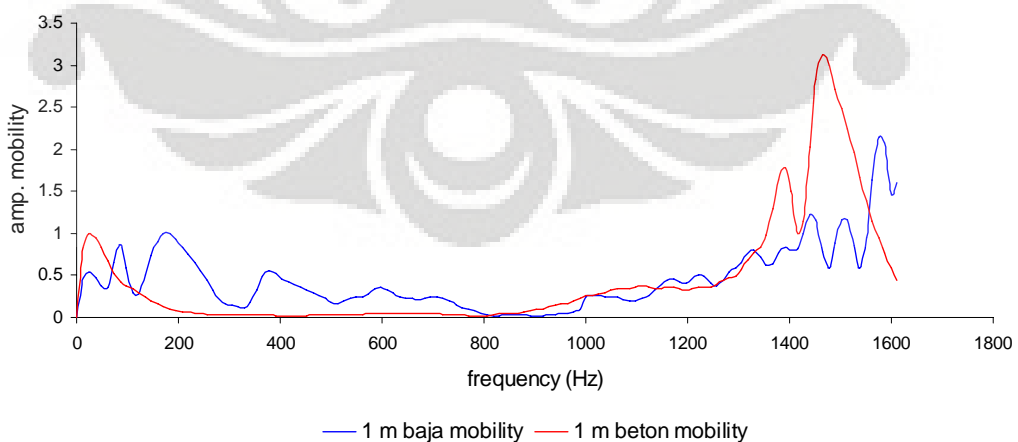
## Berdasarkan Jenis Material



Gambar L. 10: Perbandingan sinyal velocity vs time antara beton dan baja

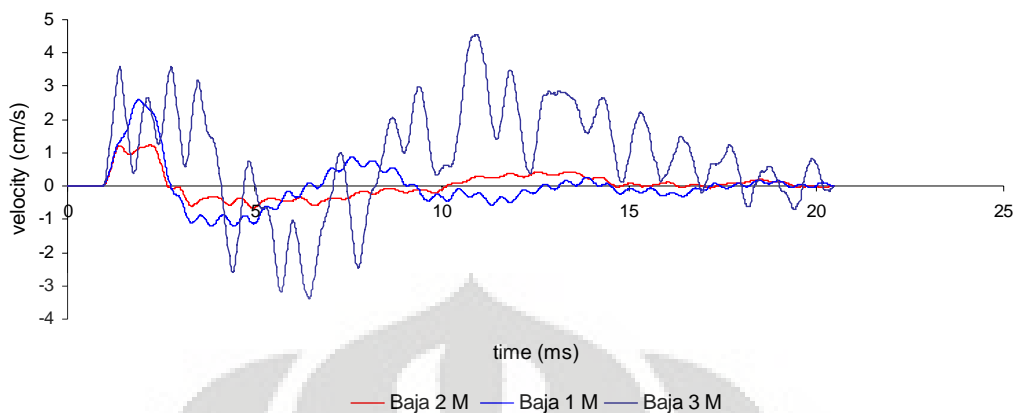


Gambar L. 11: Perbandingan sinyal spekt kecepatan dan gaya antara beton dan baja

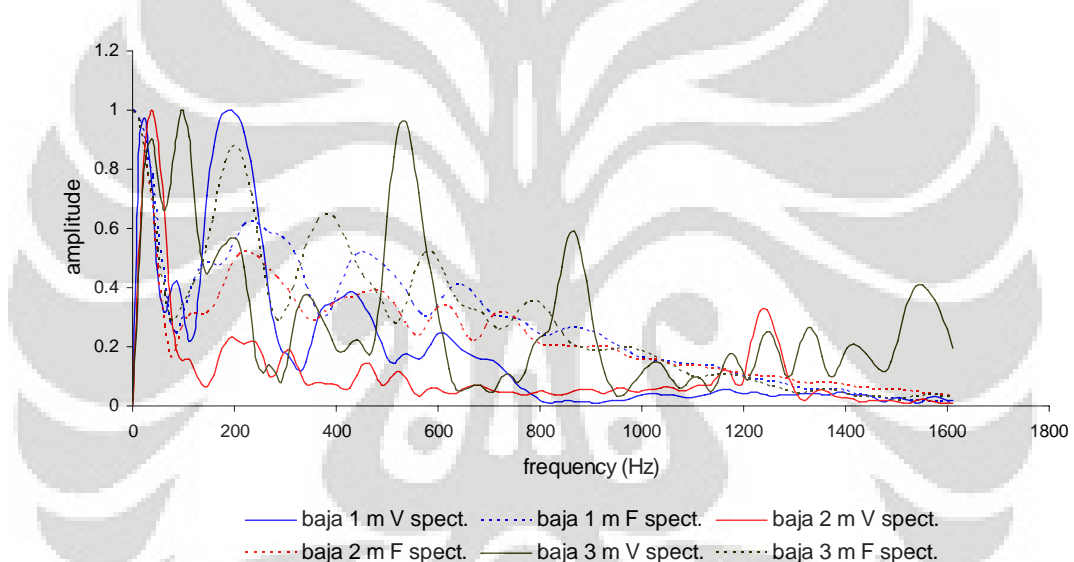


Gambar L. 12: Perbandingan mobility antara beton dgn baja

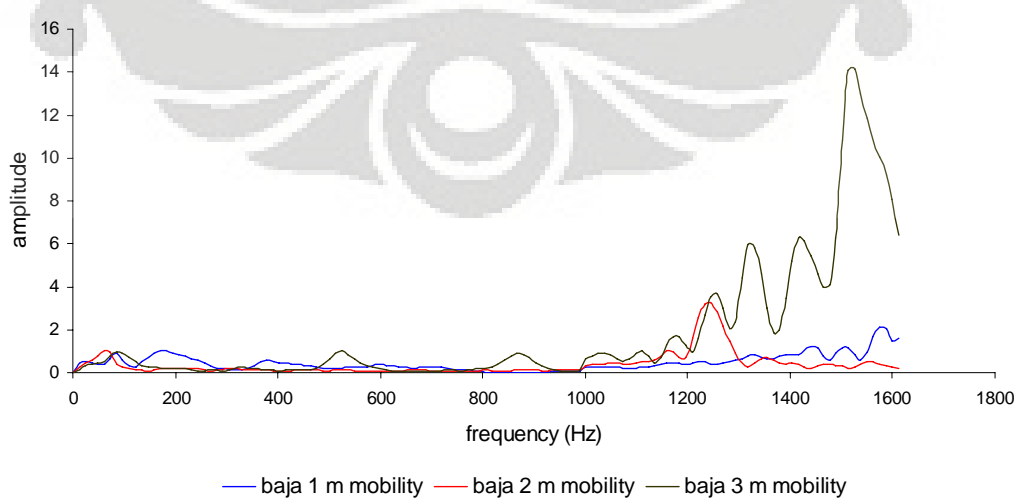
### **Berdasarkan Panjang pada Tiang Baja**



**Gambar L. 13: Perbandingan sinyal velocity vs time** **baja 1 m, 2 m dan 3 m**

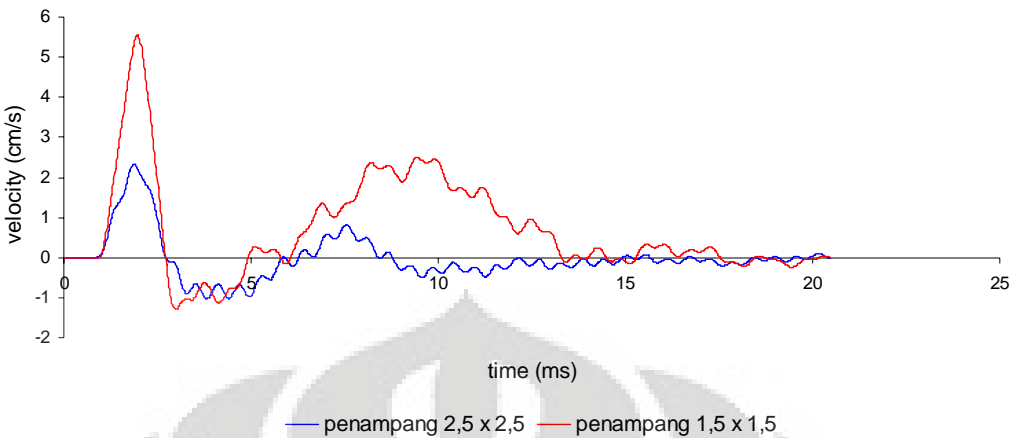


Gambar L. 14: Perbandingan sinyal spekt kecepatan dan gaya pada baja 1 m, 2 m dan 3 m

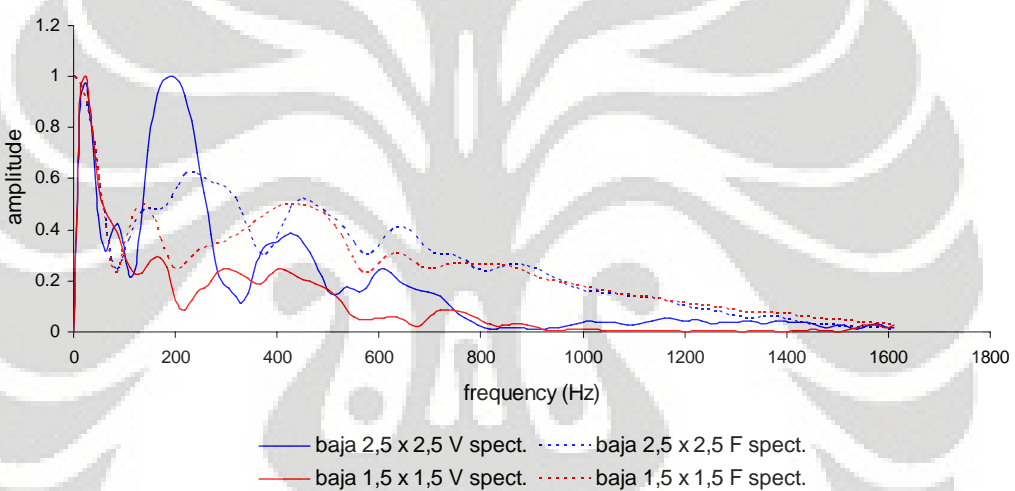


**Gambar L. 15:** Perbandingan mobility baja 1 m, 2 m dan 3 m

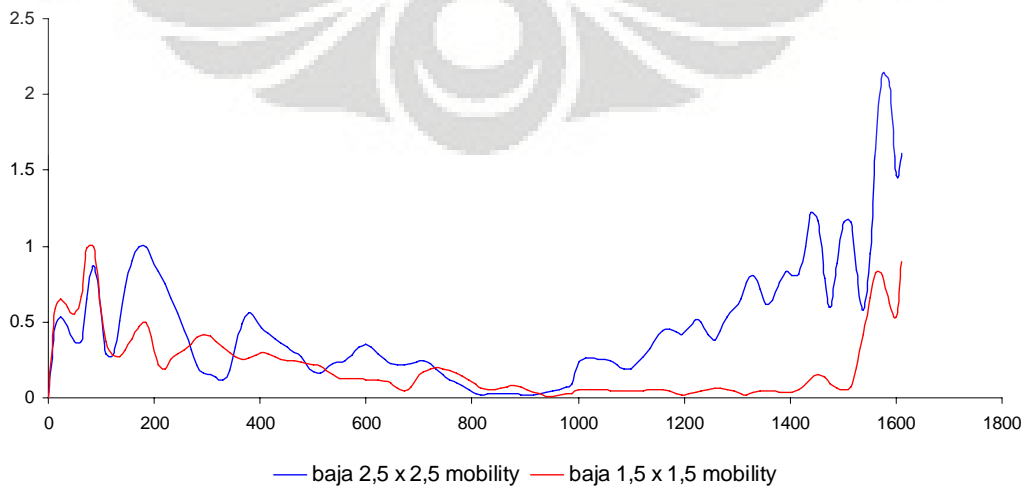
### Berdasarkan Luas Penampang pada Tiang Baja



Gambar L. 16: Perbandingan sinyal velocity vs time antara baja penampang 2,5 dan 1,5



Gambar L. 17: Perbandingan sinyal spekt kecepatan dan gaya antara baja penampang 2,5 dan 1,5 m



Gambar L. 18: Perbandingan mobility antara baja penampang 2,5 dan 1,5



**LAMPIRAN 2**  
**Script MATLAB**

## PERHITUNGAN KECEPATAN

```
% PERHITUNGAN KECEPATAN

clear
data = xlsread('example',1);
N = length(data);
time = data(:,1);
acc = data(:,2);
X = data(:,1)*0.001;
Y = data(:,2)*100;

for i = 1:N-1;
    int(i) = (X(i+1) - X(i))*(Y(i+1) + Y(i))/2;
    vel(i+1) = sum(int);
end
vel(1) = 0;

subplot (2,1,1)
plot (time,acc)
subplot (2,1,2)
plot (time,vel)
hold on
plot (time,velPIT,'r')
hold off
```

## PERHITUNGAN DISPLACEMENT

```
% PERHITUNGAN DISPLACEMENT

clear
sheet1 = xlsread('example',1);
N1 = length(sheet1);
time = sheet1(1:N1,1);
acceleration = sheet1(1:N1,2);
X1 = sheet1(1:N1,1)*0.001;
Y1 = sheet1(1:N1,2)*100;

% perhitungan velocity
for i = 1:N1-1;
    int1(i) = (X1(i+1) - X1(i))*(Y1(i+1) + Y1(i))/2;
    velocity(i+1)=sum(int1);
end
velocity(1) = 0;

% perhitungan displacement
for j = 1:i;
    int2(j) = (X1(j+1) - X1(j))*(velocity(j+1) + velocity(j))/2;
    displacement(j+1)=sum(int2).*10;
end
displacement(1) = 0;

subplot(3,1,1)
plot(time,acceleration)
xlabel('time (ms)')
ylabel('acceleration (m/s^2)')
```

```

subplot(3,1,2)
plot(time,velocity)
xlabel('time (ms)')
ylabel('velocity (cm/s)')
subplot(3,1,3)
plot(time,displacement)
xlabel('time (ms)')
ylabel('displacement (mm)')

```

## PERHITUNGAN FFT-SPEKTRUM KECEPATAN (V)

```

% PERHITUNGAN SPEKTRUM KECEPATAN

clear
data = xlsread('example',1);
N = length(data);
time = data(:,1);
dt = time(2) - time(1);
acc = data(:,2);
X = data(:,1)*0.001;
Y = data(:,2)*100;

for i = 1:N-1;
    int(i) = (X(i+1) - X(i))*(Y(i+1) + Y(i))/2;
    vel(i+1) = sum(int);
end
vel(1) = 0;

YFFT = abs(fft(vel,4096));
YFFTmaks = max(YFFT);
Ynorm = YFFT./YFFTmaks;
range = input ('freq range (1000 atau ...): ');
df = 1000*N/(time(N)*4096);
Nplot = int16(range/df);
Xfreq = linspace(0,range,Nplot);
Yfreq = Ynorm(1:Nplot);

subplot (3,1,1)
plot (time,acc)
xlabel('time (ms)')
ylabel('acceleration (m/s^2)')
subplot (3,1,2)
plot (time,vel)
xlabel('time (ms)')
ylabel('velocity (m/s^2)')
subplot (3,1,3)
plot(Xfreq,Yfreq)
xlabel('frequency (Hz)')
ylabel('Norm Amplitude')

```

## PERHITUNGAN FFT-MOBILITY (V + F)

```
% perhitungan MOBILITY

clear
data = xlsread('example2',1);
N = length(data);
time = data(:,1);
acc = data(:,2);
acc2 = data(:,3);
X = data(:,1)*0.001;
Y = data(:,2)*100;
Y2 = data(:,3)*100;

for i = 1:N-1;
    int(i) = (X(i+1) - X(i))*(Y(i+1) + Y(i))/2;
    vel(i+1) = sum(int);
end
vel(1) = 0;

for i = 1:N-1;
    int2(i) = (X(i+1) - X(i))*(Y2(i+1) + Y2(i))/2;
    force(i+1) = sum(int2);
end
force(1) = 0;

YFFTvel = abs(fft(vel,4096));
YFFTvelmaks = max(YFFTvel);
Ynormvel = YFFTvel./YFFTvelmaks;

YFFTforce = abs(fft(force,4096));
YFFTforcemaks = max(YFFTforce);
Ynormforce = YFFTforce./YFFTforcemaks;

range = input ('freq range (1000 atau ...): ');
df = 1000*N/(time(N)*4096);
Nplot = int16(range/df);
Xfreq = linspace(0,range,Nplot);
Yvelfreq = Ynormvel(1:Nplot);
Yforcefreq = Ynormforce(1:Nplot);

mob = Yvelfreq./Yforcefreq;
mobmax = max(mob);
Ymob = mob./mobmax;
Ymobfreq = Ymob(1:Nplot);

% subplot (3,1,1)
% plot (time,acc)
% xlabel('time (ms)')
% ylabel('acceleration (m/s^2)')
% hold on
% plot (time,acc2,'-.')
% hold off
% subplot (3,1,2)
% plot (time,vel)
% xlabel('time (ms)')
% ylabel('velocity (cm/s)')
% hold on
```

```
% plot (time,force,'-.')
% hold off
% subplot (3,1,3)
% plot (Xfreq,Yvelfreq)
% xlabel('frequency (Hz)')
% ylabel('norm. amplitude')
% hold on
% plot (Xfreq,Yforcefreq,'-.')

plot(Xfreq,Ymobfreq)
xlabel('frequency (Hz)')
ylabel('mobility')
```



**LAMPIRAN 3**  
**Tabel Perbandingan**  
**Perhitungan MATLAB dan PIT**

Project: HARRY  
Pile: TIANG 4 RC

Record ID: 1

Record No.: 5

Number of blows for average.: 6

Record type: Velocity and force.

description:

Additional Info: FURTHER INFORMATION

Data collection date: 6/21/2008

Unit: SI

Unit: SI  
  
MA: 1  
MD: 0.2  
LE: 1  
WS: 4000  
LO: 0  
HI: 0  
PV: 0  
T1: 50

LO: 0  
HI: 0  
Z: 169.84  
Fds: 48.8  
Stffn: 0  
1/Z(Q): 32.709  
1/Z(P): 43.621  
Sqrt(PQ): 37.773  
VMX: 3.3135  
FMX: 0.0166

DATA AWAL			PIT		MATLAB		PIT					MATLAB			
Time ms	Acc m/s^2	F/Z m/s^2	Vel cm/s	F/Z cm/s	Vel cm/s	F/Z cm/s	Freq Hz	V: 3823.151 μm/s	F: 0.000 kN	V/F: 1953.888 1/Z	Freq	V	F	V/F	
0	0.00154	-0.00055	0	0	0	0	0	0	0.90941	0	0	0.019823	0.77515	0.02406	
0.02	-0.00049	0.00116	0	0	1.05E-06	6.10E-07	12.20703	0.26493	0.92814	0.28545	12.219	0.15141	0.8399	0.16961	
0.04	-0.00852	-0.00077	-0.00001	0	-7.96E-06	1.00E-06	24.41406	0.52031	0.95655	0.54394	24.438	0.3882	0.95083	0.38412	
0.06	-0.00342	0.00026	-0.00002	0	-1.99E-05	4.90E-07	36.62109	0.75995	0.98349	0.7727	36.657	0.66972	1	0.63009	
0.08	-0.00032	0.00104	-0.00002	0	-2.36E-05	1.79E-06	48.82812	0.93535	0.99847	0.93678	48.876	0.90052	0.97589	0.86816	
0.1	-0.00427	-0.00097	-0.00003	0	-2.82E-05	1.86E-06	61.03516	1	1	1	61.095	1	0.94083	1	
0.12	-0.00314	0.00023	-0.00004	0	-3.56E-05	1.12E-06	73.24219	0.93817	0.99474	0.94313	73.314	0.938	0.94428	0.93456	
0.14	-0.00774	-0.00005	-0.00005	0	-4.65E-05	1.30E-06	85.44922	0.77821	0.99037	0.78578	85.533	0.74823	0.96406	0.73019	
0.16	-0.00515	0.00034	-0.00006	0	-5.94E-05	1.59E-06	97.65625	0.58943	0.98871	0.59616	97.752	0.5224	0.96069	0.5116	
0.18	-0.0017	-0.00061	-0.00007	0	-6.63E-05	1.32E-06	109.8633	0.45187	0.98582	0.45837	109.97	0.38328	0.93887	0.38408	
0.2	0.001	0.0005	-0.00006	0	-6.70E-05	1.21E-06	122.0703	0.39109	0.97819	0.39981	122.19	0.36383	0.92819	0.36878	
0.22	0.0068	-0.00124	-0.00005	0	-5.92E-05	4.70E-07	134.2773	0.35847	0.96804	0.37031	134.41	0.35128	0.93219	0.35453	
0.24	-0.00609	0.0008	-0.00006	0	-5.85E-05	3.00E-08	146.4844	0.31136	0.96158	0.3238	146.63	0.29167	0.93015	0.29502	
0.26	0.00053	-0.0001	-0.00006	0	-6.40E-05	7.30E-07	158.6914	0.25645	0.96236	0.26649	158.85	0.22301	0.9192	0.22825	
0.28	0.00151	-0.00077	-0.00006	0	-6.20E-05	-1.40E-07	170.8984	0.22012	0.96728	0.22756	171.07	0.19995	0.91823	0.20487	
0.3	0.00163	0.00139	-0.00006	0	-5.88E-05	4.80E-07	183.1055	0.20389	0.96968	0.21027	183.28	0.20073	0.93096	0.20286	
0.32	0.00227	-0.00102	-0.00005	0	-5.49E-05	8.50E-07	195.3125	0.1869	0.96534	0.19361	195.5	0.17933	0.93568	0.18031	
0.34	-0.00112	0.00024	-0.00005	0	-5.38E-05	7.00E-08	207.5195	0.16298	0.95519	0.17063	207.72	0.14251	0.91948	0.14582	
0.36	-0.00005	0	-0.00005	0	-5.50E-05	3.10E-07	219.7266	0.14502	0.94286	0.15381	219.94	0.12872	0.89741	0.13494	
0.38	-0.00415	-0.00042	-0.00006	0	-5.92E-05	-1.10E-07	231.9336	0.13952	0.93082	0.14989	232.16	0.13732	0.88825	0.14545	
0.4	0.00229	0.00078	-0.00006	0	-6.10E-05	2.50E-07	244.1406	0.13522	0.91918	0.14711	244.38	0.13317	0.88619	0.14138	

0.42	0.0051	-0.00081	-0.00005	0	-5.36E-05	2.20E-07	256.3477	0.12331	0.90715	0.13593	256.6	0.11115	0.8745	0.11958
0.44	0.0074	-0.0003	-0.00003	0	-4.11E-05	-8.90E-07	268.5547	0.10906	0.89462	0.12191	268.82	0.095141	0.85431	0.10478
0.46	0.00932	0.00086	-0.00001	0	-2.44E-05	-3.30E-07	280.7617	0.10087	0.88204	0.11436	281.04	0.097502	0.84058	0.10913
0.48	0.00678	-0.0004	0	0	-8.30E-06	1.30E-07	292.9688	0.09655	0.86958	0.11104	293.26	0.0969	0.83574	0.10908
0.5	0.01282	0.00123	0.00003	0	1.13E-05	9.60E-07	305.1758	0.08904	0.85696	0.1039	305.47	0.082166	0.82677	0.093501
0.52	0.01201	-0.00056	0.00005	0	3.61E-05	1.63E-06	317.3828	0.07873	0.84396	0.09329	317.69	0.067054	0.80857	0.078023
0.54	0.01528	-0.00022	0.00008	0	6.34E-05	8.50E-07	329.5898	0.07153	0.83064	0.08612	329.91	0.067278	0.79165	0.079956
0.56	0.03065	0.00093	0.00014	0	0.000109	1.56E-06	341.7969	0.06827	0.81708	0.08355	342.13	0.069831	0.78314	0.083893
0.58	0.04632	-0.00001	0.00023	0	0.000186	2.48E-06	354.0039	0.06384	0.80324	0.07948	354.35	0.061027	0.77475	0.074109
0.6	0.05032	0.00029	0.00033	0	0.000283	2.76E-06	366.2109	0.05658	0.78908	0.07171	366.57	0.047561	0.75816	0.059019
0.62	0.09113	0.00087	0.00052	0	0.000424	3.92E-06	378.418	0.05038	0.77473	0.06502	378.79	0.045422	0.73916	0.057815
0.64	0.62128	0.00648	0.00176	0.00002	0.001137	1.13E-05	390.625	0.04751	0.76029	0.06249	391.01	0.049258	0.72701	0.063745
0.66	2.01381	0.01453	0.00579	0.00005	0.003772	3.23E-05	402.832	0.04485	0.74569	0.06015	403.23	0.044771	0.71836	0.058637
0.68	3.49293	0.02144	0.01277	0.00009	0.009279	6.83E-05	415.0391	0.0399	0.73077	0.0546	415.44	0.033567	0.70374	0.044875
0.7	5.47767	0.02751	0.02373	0.00014	0.018249	0.000117	427.2461	0.03474	0.71557	0.04855	427.66	0.029522	0.6841	0.0406
0.72	7.53909	0.03329	0.03881	0.00021	0.031266	0.000178	439.4531	0.03196	0.70027	0.04564	439.88	0.033436	0.66859	0.047049
0.74	9.37404	0.04284	0.05755	0.0003	0.048179	0.000254	451.6602	0.03002	0.68496	0.04382	452.1	0.031676	0.65855	0.045253
0.76	11.83185	0.05383	0.08122	0.0004	0.069385	0.000351	463.8672	0.02647	0.66957	0.03953	464.32	0.022574	0.64566	0.032894
0.78	14.30331	0.07021	0.10983	0.00054	0.09552	0.000475	476.0742	0.02232	0.65404	0.03412	476.54	0.01727	0.62686	0.02592
0.8	17.23437	0.08178	0.14429	0.00071	0.12706	0.000627	488.2813	0.01995	0.63847	0.03124	488.76	0.021153	0.6093	0.032662
0.82	20.2061	0.09173	0.18471	0.00089	0.1645	0.00008	500.4883	0.01871	0.623	0.03003	500.98	0.021175	0.59765	0.033334
0.84	22.81291	0.10301	0.23033	0.0011	0.20752	0.000995	512.6953	0.0165	0.60761	0.02716	513.2	0.014152	0.58614	0.022716
0.86	25.54029	0.11511	0.28141	0.00133	0.25587	0.001213	524.9023	0.01395	0.59217	0.02355	525.42	0.009502	0.56912	0.015708
0.88	27.6885	0.12511	0.33679	0.00158	0.3091	0.001453	537.1094	0.01282	0.57663	0.02223	537.63	0.014325	0.55066	0.024475
0.9	29.91914	0.13508	0.39663	0.00185	0.36671	0.001714	549.3164	0.01221	0.56112	0.02177	549.85	0.015077	0.53714	0.026407
0.92	31.70097	0.14232	0.46003	0.00213	0.42833	0.001991	561.5234	0.0104	0.54578	0.01906	562.07	0.008853	0.52614	0.01583
0.94	33.50676	0.14977	0.52704	0.00243	0.49353	0.002283	573.7305	0.00888	0.53072	0.01674	574.29	0.005192	0.51122	0.009554
0.96	35.29652	0.15592	0.59764	0.00274	0.56234	0.002589	585.9375	0.00983	0.51596	0.01905	586.51	0.011882	0.49343	0.022656
0.98	36.60105	0.16585	0.67084	0.00308	0.63424	0.002911	598.1445	0.0112	0.50151	0.02233	598.73	0.013448	0.47924	0.026401
1	37.52759	0.16844	0.74589	0.00341	0.70836	0.003245	610.3516	0.01067	0.48733	0.02189	610.95	0.00874	0.46913	0.017527
1.02	38.02204	0.17228	0.82171	0.00376	0.78391	0.003586	622.5586	0.00943	0.47335	0.01991	623.17	0.006266	0.45688	0.012903
1.04	38.51368	0.17704	0.89852	0.00411	0.86045	0.003935	634.7656	0.00996	0.45949	0.02168	635.39	0.011606	0.44059	0.024783
1.06	38.89105	0.17979	0.97607	0.00447	0.93785	0.004292	646.9727	0.01154	0.44573	0.0259	647.61	0.013077	0.42565	0.028905
1.08	39.05213	0.18194	1.05395	0.00483	1.0158	0.004653	659.1797	0.01211	0.43199	0.02803	659.82	0.009585	0.41506	0.021727
1.1	39.32154	0.18217	1.13237	0.0052	1.0942	0.005018	671.3867	0.0121	0.41811	0.02895	672.04	0.009241	0.40411	0.021515
1.12	39.32142	0.18041	1.21079	0.00556	1.1728	0.00538	683.5938	0.01309	0.40394	0.0324	684.26	0.014367	0.38868	0.034775
1.14	39.27242	0.18035	1.28911	0.00592	1.2514	0.005741	695.8008	0.01468	0.3894	0.03771	696.48	0.016086	0.37209	0.040674
1.16	39.02729	0.17767	1.36694	0.00628	1.3297	0.006099	708.0078	0.01552	0.37458	0.04144	708.7	0.013176	0.35905	0.034525
1.18	38.63336	0.17357	1.44398	0.00662	1.4074	0.00645	720.2148	0.01585	0.35959	0.04408	720.92	0.012439	0.34748	0.033679
1.2	38.1566	0.16793	1.52007	0.00696	1.4842	0.006792	732.4219	0.01689	0.34455	0.04903	733.14	0.017262	0.33253	0.04884
1.22	37.51942	0.16349	1.59489	0.00729	1.5598	0.007123	744.6289	0.01852	0.32961	0.0562	745.36	0.019941	0.31529	0.059504
1.24	36.80632	0.15655	1.66827	0.0076	1.6342	0.007443	756.8359	0.01951	0.31493	0.06195	757.58	0.01785	0.30098	0.055798
1.26	35.75561	0.1496	1.73956	0.0079	1.7067	0.007749	769.043	0.01972	0.30059	0.0656	769.79	0.015887	0.28996	0.051548
1.28	34.13197	0.14055	1.8076	0.00818	1.7766	0.008039	781.25	0.02021	0.28657	0.07054	782.01	0.019296	0.27735	0.065458
1.3	32.23157	0.12985	1.87184	0.00844	1.843	0.00831	793.457	0.02137	0.27284	0.07834	794.23	0.022628	0.26171	0.081347
1.32	29.77598	0.12076	1.93117	0.00868	1.905	0.00856	805.6641	0.02227	0.25941	0.08584	806.45	0.021471	0.24744	0.081639
1.34	27.27318	0.11087	1.98549	0.0089	1.962	0.008792	817.8711	0.02239	0.24635	0.09089	818.67	0.018648	0.23698	0.074033
1.36	24.56668	0.09826	2.0344	0.0091	2.0139	0.009001	830.0781	0.0225	0.23369	0.09628	830.89	0.020319	0.22662	0.084354

1.38	21.58916	0.08758	2.07735	0.00927	2.06	0.009187	842.2852		0.02326	0.2214	0.10507	843.11	0.024013	0.21322	0.10596
1.4	18.47302	0.07377	2.11407	0.00942	2.1001	0.009348	854.4922		0.02409	0.20945	0.11503	855.33	0.024076	0.19963	0.11347
1.42	15.18691	0.06074	2.14422	0.00954	2.1337	0.009483	866.6992		0.02426	0.19787	0.12261	867.55	0.021117	0.1896	0.10479
1.44	11.85591	0.04757	2.16771	0.00964	2.1608	0.009591	878.9063		0.02415	0.18669	0.12935	879.77	0.020983	0.18116	0.10898
1.46	8.67521	0.03362	2.18484	0.00971	2.1813	0.009672	891.1133		0.02455	0.17588	0.13958	891.98	0.024459	0.17025	0.13517
1.48	5.83005	0.01959	2.19627	0.00974	2.1958	0.009726	903.3203		0.02529	0.16541	0.15288	904.2	0.025778	0.15783	0.15366
1.5	3.42736	0.00495	2.2029	0.00975	2.2051	0.00975	915.5273		0.02557	0.15527	0.16466	916.42	0.023348	0.14808	0.14834
1.52	1.54791	-0.00913	2.20577	0.00974	2.2101	0.009746	927.7344		0.02538	0.1455	0.17446	928.64	0.021712	0.14098	0.14489
1.54	0.15209	-0.02375	2.20585	0.00969	2.2118	0.009713	939.9414		0.02552	0.1361	0.18752	940.86	0.024333	0.13245	0.17285
1.56	-0.88978	-0.0387	2.20385	0.00961	2.211	0.009651	952.1484		0.0262	0.12701	0.2063	953.08	0.026764	0.12161	0.20705
1.58	-1.67086	-0.05496	2.20028	0.0095	2.2085	0.009557	964.3555		0.02675	0.11824	0.22623	965.3	0.025524	0.11221	0.214
1.6	-2.10821	-0.06824	2.19584	0.00936	2.2047	0.009434	976.5625		0.0268	0.10982	0.244	977.52	0.023188	0.10598	0.20585
1.62	-2.01979	-0.08268	2.19158	0.0092	2.2006	0.009283	988.7695		0.02691	0.10176	0.26441	989.74	0.024532	0.099559	0.23183
1.64	-1.47849	-0.0966	2.1884	0.00901	2.1971	0.009104	1000.977		0.02761	0.09401	1002	0.027719	0.090604		
1.66	-0.45902	-0.10922	2.18725	0.00879	2.1951	0.008898	1013.184		0.02847	0.08655	1014.2	0.028155	0.081763		
1.68	0.82337	-0.12214	2.18868	0.00854	2.1955	0.008666	1025.391		0.02873	0.07945	1026.4	0.025915	0.076047		
1.7	2.16242	-0.13285	2.19278	0.00828	2.1985	0.008411	1037.598		0.02838	0.07273	1038.6	0.025125	0.071426		
1.72	3.56093	-0.14296	2.19967	0.00799	2.2042	0.008136	1049.805		0.02812	0.06636	1050.8	0.027196	0.06463		
1.74	4.98337	-0.15271	2.20942	0.00769	2.2127	0.00784	1062.012		0.02833	0.06023	1063	0.028452	0.056787		
1.76	6.54033	-0.16108	2.22227	0.00736	2.2243	0.007526	1074.219		0.02872	0.05432	1075.3	0.027018	0.051349		
1.78	8.04977	-0.16717	2.23815	0.00703	2.2388	0.007198	1086.426		0.02884	0.0487	1087.5	0.0254	0.047876		
1.8	9.57055	-0.17221	2.25706	0.00669	2.2565	0.006859	1098.633		0.02853	0.04347	1099.7	0.026368	0.042962		
1.82	11.1639	-0.17695	2.27917	0.00633	2.2772	0.006509	1110.84		0.02763	0.0386	1111.9	0.027791	0.036398		
1.84	12.86975	-0.18072	2.30468	0.00597	2.3012	0.006152	1123.047		0.02572	0.03399	1124.1	0.026198	0.031458		
1.86	14.76544	-0.18212	2.33399	0.00561	2.3289	0.005789	1135.254		0.02252	0.0296	1136.4	0.021225	0.029016		
1.88	16.71252	-0.18307	2.36719	0.00524	2.3604	0.005424	1147.461		0.0183	0.02546	1148.6	0.015611	0.025823		
1.9	18.61892	-0.18187	2.4042	0.00488	2.3957	0.005059	1159.668		0.0139	0.0216	1160.8	0.012476	0.020549		
1.92	20.40813	-0.17969	2.44479	0.00452	2.4347	0.004697	1171.875		0.01016	0.01801	1173	0.010843	0.015942		
1.94	22.01538	-0.17848	2.4886	0.00416	2.4771	0.004339	1184.082		0.00732	0.01467	1185.2	0.007843	0.014185		
1.96	23.44793	-0.17453	2.53527	0.00381	2.5226	0.003986	1196.289		0.00518	0.01161	1197.5	0.003571	0.012436		
1.98	24.48786	-0.17006	2.58402	0.00347	2.5705	0.003641	1208.496		0.0037	0.00887	1209.7	0.002597	0.008566		
2	25.21881	-0.16541	2.63424	0.00314	2.6202	0.003306	1220.703		0.00302	0.00653	1221.9	0.004267	0.004843		
2.02	25.77028	-0.16053	2.68555	0.00282	2.6712	0.00298	1232.91		0.00272	0.00477	1234.1	0.003554	0.004816		
2.04	26.13689	-0.15332	2.7376	0.00251	2.7231	0.002666	1245.117		0.00238	0.00389	1246.3	0.000959	0.004477		
2.06	26.31875	-0.14662	2.79002	0.00222	2.7756	0.002366	1257.324		0.00212	0.00406	1258.6	0.002167	0.002559		
2.08	26.1814	-0.13962	2.84215	0.00194	2.8281	0.00208	1269.531		0.00216	0.00496	1270.8	0.003642	0.00459		
2.1	25.9123	-0.12928	2.89375	0.00168	2.8802	0.001811	1281.738		0.0022	0.00617	1283	0.002962	0.007165		
2.12	25.50958	-0.12139	2.94455	0.00144	2.9316	0.00156	1293.945		0.00202	0.00743	1295.2	0.000669	0.007419		
2.14	25.07567	-0.11207	2.99448	0.00121	2.9822	0.001327	1306.152		0.00187	0.00864	1307.4	0.002	0.007193		
2.16	24.46791	-0.10369	3.04319	0.00101	3.0317	0.001111	1318.359		0.00199	0.00973	1319.6	0.003421	0.009314		
2.18	23.76584	-0.09551	3.09049	0.00082	3.08	0.000912	1330.566		0.00206	0.01066	1331.9	0.002969	0.011537		
2.2	22.44603	-0.08466	3.13516	0.00065	3.1262	0.000732	1342.773		0.00184	0.01146	1344.1	0.000992	0.011597		
2.22	20.25121	-0.0757	3.17544	0.0005	3.1689	0.000571	1354.98		0.00156	0.01215	1356.3	0.00138	0.010738		
2.24	18.1636	-0.0661	3.21154	0.00036	3.2073	0.00043	1367.188		0.00155	0.01274	1368.5	0.002849	0.011841		
2.26	15.88976	-0.05799	3.24312	0.00025	3.2414	0.000306	1379.395		0.00165	0.01324	1380.7	0.002705	0.01383		
2.28	13.30723	-0.04894	3.26951	0.00015	3.2706	0.000199	1391.602		0.00157	0.01365	1393	0.001123	0.014029		
2.3	10.31755	-0.03987	3.28992	0.00007	3.2942	0.00011	1403.809		0.00138	0.01395	1405.2	0.000988	0.012796		
2.32	7.186	-0.03256	3.30407	0	3.3117	3.74E-05	1416.016		0.00134	0.01413	1417.4	0.002487	0.012886		

2.34	3.86422	-0.02624	3.31157	-0.00005	3.3227	-2.15E-05	1428.223		0.0014	0.01419		1429.6	0.002658	0.014439	
2.36	1.05223	-0.02156	3.31345	-0.00009	3.3277	-6.93E-05	1440.43		0.00129	0.01418		1441.8	0.001528	0.014757	
2.38	-2.17315	-0.01453	3.30888	-0.00012	3.3265	-0.00011	1452.637		0.00104	0.01411		1454.1	0.000509	0.013325	
2.4	-5.36814	-0.01422	3.29792	-0.00015	3.319	-0.00013	1464.844		0.0009	0.01398		1466.3	0.001827	0.012559	
2.42	-8.67319	-0.00944	3.28035	-0.00017	3.305	-0.00016	1477.051		0.00094	0.01378		1478.5	0.002283	0.013657	
2.44	-11.6622	-0.00751	3.2568	-0.00018	3.2846	-0.00017	1489.258		0.00089	0.01351		1490.7	0.001678	0.014189	
2.46	-14.224	-0.00344	3.22813	-0.00019	3.2587	-0.00019	1501.465		0.00067	0.01321		1502.9	0.000802	0.012848	
2.48	-16.1799	0.00612	3.19554	-0.00018	3.2283	-0.00018	1513.672		0.00049	0.01289		1515.2	0.001335	0.011478	
2.5	-17.2662	0.00518	3.16079	-0.00017	3.1949	-0.00017	1525.879		0.00051	0.01254		1527.4	0.001837	0.012077	
2.52	-18.7675	0.00378	3.12303	-0.00016	3.1589	-0.00016	1538.086		0.00053	0.01213		1539.6	0.001666	0.012808	
2.54	-19.9569	0.00125	3.08289	-0.00016	3.1201	-0.00016	1550.293		0.00039	0.01166		1551.8	0.001237	0.011722	
2.56	-21.2021	0.00095	3.04026	-0.00016	3.079	-0.00016	1562.5		0.00022	0.01118		1564	0.00122	0.00994	
2.58	-21.8504	0.00228	2.99633	-0.00015	3.0359	-0.00015	1574.707		0.00019	0.01072		1576.2	0.001381	0.009967	
2.6	-22.0453	0.00324	2.95202	-0.00014	2.992	-0.00015	1586.914		0.00021	0.01027		1588.5	0.001365	0.010841	
2.62	-22.1566	0.00473	2.90748	-0.00013	2.9478	-0.00014	1599.121		0.00024	0.00979		1600.7	0.001332	0.010178	
2.64	-22.0801	0.00407	2.8631	-0.00013	2.9036	-0.00013	1611.328		0.00029	0.00928		1612.9	0.001323	0.008334	
2.66	-22.3821	0.00357	2.81811	-0.00012	2.8591	-0.00012	1623.535		0.0003	0.00878		1625.1	0.001168	0.007859	
2.68	-21.8033	0.00447	2.77428	-0.00011	2.8149	-0.00011	1635.742		0.00021	0.00832		1637.3	0.001068	0.008742	
2.7	-21.0952	-0.00014	2.73186	-0.00011	2.772	-0.00011	1647.949		0.00018	0.00787		1649.6	0.001316	0.008459	
2.72	-19.9124	0.00003	2.69181	-0.00011	2.731	-0.00011	1660.156		0.00032	0.00744		1661.8	0.001474	0.006766	
2.74	-18.9289	0.00118	2.65373	-0.00011	2.6922	-0.00011	1672.363		0.0004	0.00701		1674	0.001206	0.00602	
2.76	-17.7393	0.00293	2.61803	-0.0001	2.6555	-0.0001	1684.57		0.00037	0.00662		1686.2	0.000877	0.006931	
2.78	-16.5269	0.00353	2.58475	-0.0001	2.6213	-9.83E-05	1696.777		0.00035	0.00627		1698.4	0.001248	0.006969	
2.8	-15.3155	0.00096	2.55389	-0.00009	2.5894	-9.38E-05	1708.984		0.00043	0.00597		1710.7	0.001616	0.005511	
2.82	-13.9564	-0.00014	2.52576	-0.00009	2.5601	-9.30E-05	1721.191		0.00049	0.00572		1722.9	0.001434	0.004708	
2.84	-12.8481	-0.00155	2.49984	-0.0001	2.5333	-9.47E-05	1733.398		0.0004	0.0055		1735.1	0.000932	0.005727	
2.86	-11.7982	-0.00081	2.47601	-0.0001	2.5087	-9.70E-05	1745.605		0.0003	0.00529		1747.3	0.001074	0.006037	
2.88	-10.8726	0.00163	2.45404	-0.0001	2.486	-9.62E-05	1757.813		0.00037	0.00508		1759.5	0.001498	0.004779	
2.9	-9.58979	0.0003	2.43464	-0.00009	2.4656	-9.43E-05	1770.02		0.00047	0.00491		1771.7	0.001404	0.00389	
2.92	-8.28037	0.00063	2.41786	-0.00009	2.4477	-9.33E-05	1782.227		0.00044	0.00482		1784	0.000889	0.004972	
2.94	-6.73336	-0.00059	2.40416	-0.00009	2.4327	-9.33E-05	1794.434		0.00036	0.00481		1796.2	0.000952	0.005563	
2.96	-5.21596	-0.00215	2.39351	-0.0001	2.4207	-9.60E-05	1806.641		0.00038	0.0048		1808.4	0.001442	0.004629	
2.98	-3.77236	-0.00246	2.38574	-0.0001	2.4117	-0.00001	1818.848		0.00044	0.00475		1820.6	0.001447	0.003787	
3	-2.36002	-0.00269	2.38079	-0.00011	2.4056	-0.00011	1831.055		0.0004	0.00467		1832.8	0.000979	0.004728	
3.02	-1.04919	-0.00153	2.37847	-0.00011	2.4022	-0.00011	1843.262		0.00031	0.00464		1845.1	0.000903	0.005379	
3.04	0.14279	-0.00052	2.37853	-0.00011	2.4013	-0.00011	1855.469		0.00032	0.00465		1857.3	0.001353	0.004581	
3.06	0.90154	0.00032	2.38011	-0.00011	2.4023	-0.00011	1867.676		0.0004	0.00469		1869.5	0.001402	0.003728	
3.08	1.42243	-0.00186	2.38273	-0.00012	2.4047	-0.00011	1879.883		0.00036	0.00475		1881.7	0.000988	0.004682	
3.1	1.85961	-0.00366	2.38623	-0.00012	2.4079	-0.00012	1892.09		0.00027	0.0048		1893.9	0.000898	0.005557	
3.12	2.13381	-0.00337	2.39027	-0.00013	2.4119	-0.00013	1904.297		0.00029	0.00483		1906.2	0.001309	0.004978	
3.14	2.28857	-0.00312	2.39462	-0.00014	2.4163	-0.00013	1916.504		0.00039	0.00482		1918.4	0.001329	0.003942	
3.16	2.00883	-0.00149	2.39842	-0.00014	2.4206	-0.00014	1928.711		0.00039	0.00482		1930.6	0.000876	0.004528	
3.18	1.15492	-0.00155	2.4005	-0.00014	2.4238	-0.00014	1940.918		0.00035	0.00484		1942.8	0.000879	0.005517	
3.2	-0.19288	-0.00196	2.39989	-0.00015	2.4248	-0.00014	1953.125		0.00042	0.00485		1955	0.001408	0.005205	
3.22	-1.81297	-0.00237	2.39604	-0.00015	2.4228	-0.00015	1965.332		0.00054	0.00479		1967.3	0.001442	0.004075	
3.24	-3.44742	-0.00303	2.38892	-0.00016	2.4175	-0.00015	1977.539		0.00056	0.00467		1979.5	0.000841	0.004155	
3.26	-5.16476	-0.00181	2.37837	-0.00016	2.4089	-0.00016	1989.746		0.00053	0.00456		1991.7	0.000695	0.005095	
3.28	-6.94537	-0.00282	2.36425	-0.00017	2.3968	-0.00016	2001.953		0.00058	0.00449		2003.9	0.001443	0.005009	

3.3	-8.78366	-0.00227	2.34646	-0.00017	2.3811	-0.00017	2014.16	0.00069	0.00444		2016.1	0.001622	0.00392	
3.32	-10.491	-0.0006	2.32525	-0.00017	2.3618	-0.00017	2026.367	0.00072	0.00436		2028.3	0.000992	0.003689	
3.34	-12.0563	-0.00114	2.30092	-0.00017	2.3392	-0.00017	2038.574	0.00069	0.00425		2040.6	0.000452	0.004629	
3.36	-13.4745	-0.00156	2.27374	-0.00018	2.3137	-0.00018	2050.781	0.00074	0.00414		2052.8	0.001426	0.004797	
3.38	-14.8636	-0.00222	2.24379	-0.00018	2.2854	-0.00018	2062.988	0.00088	0.00402		2065	0.001828	0.003784	
3.4	-16.1521	-0.00321	2.21126	-0.00019	2.2543	-0.00018	2075.195	0.00096	0.00387		2077.2	0.001286	0.003089	
3.42	-17.4141	-0.00127	2.17621	-0.00019	2.2208	-0.00019	2087.402	0.00095	0.00368		2089.4	9.66E-05	0.003833	
3.44	-18.4417	-0.00035	2.1391	-0.00019	2.1849	-0.00019	2099.609	0.00099	0.00354		2101.7	0.00133	0.004221	
3.46	-19.1977	-0.00032	2.10048	-0.00019	2.1473	-0.00019	2111.816	0.00114	0.00344		2113.9	0.002067	0.003437	
3.48	-19.7522	-0.00012	2.06075	-0.00019	2.1083	-0.00019	2124.023	0.00126	0.00334		2126.1	0.001785	0.002564	
3.5	-20.047	-0.00082	2.02044	-0.00019	2.0685	-0.00019	2136.23	0.00126	0.00317		2138.3	0.000616	0.003123	
3.52	-20.2053	-0.00185	1.9798	-0.0002	2.0283	-0.0002	2148.438	0.00124	0.00295		2150.5	0.000992	0.003642	
3.54	-20.0843	-0.00099	1.93941	-0.0002	1.988	-0.0002	2160.645	0.00132	0.00274		2162.8	0.002082	0.003016	
3.56	-19.8846	0.0001	1.89941	-0.0002	1.948	-0.0002	2172.852	0.00144	0.00258		2175	0.002194	0.001896	
3.58	-19.4637	0.00094	1.86026	-0.0002	1.9087	-0.0002	2185.059	0.00149	0.00244		2187.2	0.001271	0.002221	
3.6	-19.0018	0.00125	1.82203	-0.0002	1.8702	-0.0002	2197.266	0.00149	0.00229		2199.4	0.000632	0.002926	
3.62	-18.4682	0.00124	1.78487	-0.00019	1.8327	-0.00019	2209.473	0.00152	0.00212		2211.6	0.001899	0.002574	
3.64	-17.8138	0.00032	1.74902	-0.00019	1.7965	-0.00019	2221.68	0.00159	0.00194		2223.9	0.002476	0.001425	
3.66	-17.1279	0.00046	1.71454	-0.00019	1.7615	-0.00019	2233.887	0.0016	0.00175		2236.1	0.001963	0.001383	
3.68	-16.3945	-0.00001	1.68153	-0.00019	1.728	-0.00019	2246.094	0.00153	0.00159		2248.3	0.000728	0.002143	
3.7	-15.7697	0.00135	1.64976	-0.00019	1.6958	-0.00019	2258.301	0.00147	0.00147		2260.5	0.001188	0.001986	
3.72	-15.1154	0.0019	1.61931	-0.00018	1.6649	-0.00019	2270.508	0.00146	0.00138		2272.7	0.002172	0.000983	
3.74	-14.4616	0.00214	1.59016	-0.00018	1.6354	-0.00018	2282.715	0.00138	0.00125		2284.9	0.002235	0.000895	
3.76	-13.6641	0.0028	1.56261	-0.00017	1.6072	-0.00018	2294.922	0.00111	0.0011		2297.2	0.001393	0.001648	
3.78	-12.6316	0.00062	1.53712	-0.00017	1.5809	-0.00017	2307.129	0.0007	0.001		2309.4	0.000304	0.001525	
3.8	-11.4417	0.00088	1.51401	-0.00017	1.5569	-0.00017	2319.336	0.0005	0.00097		2321.6	0.001049	0.000587	
3.82	-10.2495	0.00214	1.49329	-0.00017	1.5352	-0.00017	2331.543	0.00063	0.00095		2333.8	0.001404	0.000781	
3.84	-9.05111	0.00175	1.47496	-0.00016	1.5159	-0.00017	2343.75	0.00072	0.00091		2346	0.000971	0.00151	
3.86	-7.89409	0.00279	1.45895	-0.00016	1.4989	-0.00016	2355.957	0.00062	0.00089		2358.3	0.000252	0.00134	
3.88	-6.79138	0.00272	1.44514	-0.00015	1.4843	-0.00016	2368.164	0.00052	0.00094		2370.5	0.000965	0.00042	
3.9	-5.7248	0.00244	1.43347	-0.00015	1.4717	-0.00015	2380.371	0.00059	0.001		2382.7	0.001392	0.000948	
3.92	-4.821	0.00248	1.4236	-0.00014	1.4612	-0.00015	2392.578	0.00071	0.00104		2394.9	0.001185	0.001674	
3.94	-4.06334	0.00141	1.41525	-0.00014	1.4523	-0.00014	2404.785	0.00071	0.00108		2407.1	0.000542	0.001503	
3.96	-3.50559	0.00118	1.40802	-0.00014	1.4447	-0.00014	2416.992	0.00059	0.00114		2419.4	0.000318	0.00063	
3.98	-3.05813	0.00291	1.40167	-0.00013	1.4382	-0.00013	2429.199	0.00044	0.00118		2431.6	0.000709	0.001024	
4	-2.75686	0.00204	1.39594	-0.00013	1.4324	-0.00013	2441.406	0.00041	0.00121		2443.8	0.000868	0.001792	
4.02	-2.68885	0.00306	1.39033	-0.00012	1.4269	-0.00012	2453.613	0.00053	0.00123		2456	0.001141	0.001683	
4.04	-2.84349	0.00249	1.38442	-0.00012	1.4214	-0.00012	2465.82	0.00074	0.00129		2468.2	0.001544	0.000845	
4.06	-3.34406	0.00188	1.37751	-0.00011	1.4152	-0.00011	2478.027	0.00091	0.00138		2480.4	0.001669	0.001093	
4.08	-4.06439	0.00163	1.36916	-0.00011	1.4078	-0.00011	2490.234	0.00095	0.00144		2492.7	0.001303	0.00196	
4.1	-4.92231	0.00064	1.35909	-0.00011	1.3988	-0.00011	2502.441	0.0008	0.00147		2504.9	0.000581	0.002001	
4.12	-5.87541	0.00215	1.34711	-0.0001	1.388	-0.00011	2514.648	0.00049	0.00147		2517.1	0.000333	0.001218	
4.14	-6.90289	0.00245	1.33308	-0.0001	1.3752	-0.0001	2526.855	0.00026	0.00147		2529.3	0.000716	0.001	
4.16	-7.99583	0.0018	1.31687	-0.0001	1.3603	-9.74E-05	2539.063	0.00032	0.00147		2541.5	0.000633	0.001855	
4.18	-8.99738	0.00222	1.29865	-0.00009	1.3433	-9.34E-05	2551.27	0.00045	0.00148		2553.8	0.000368	0.002061	
4.2	-9.98577	0.00025	1.27845	-0.00009	1.3243	-9.09E-05	2563.477	0.0005	0.0015		2566	0.000812	0.001402	
4.22	-10.9822	0.00071	1.25626	-0.00009	1.3034	-8.99E-05	2575.684	0.00046	0.00152		2578.2	0.001199	0.000956	
4.24	-12.0008	0.00198	1.23204	-0.00009	1.2804	-8.72E-05	2587.891	0.00038	0.00151		2590.4	0.001123	0.00175	

4.26	-13.0384	0.00075	1.20574	-0.00008	1.2554	-8.45E-05	2600.098		0.00032	0.00147		2602.6	0.000679	0.00209	
4.28	-14.016	0.00154	1.17748	-0.00008	1.2283	-8.22E-05	2612.305		0.0003	0.00146		2614.9	0.000639	0.001536	
4.3	-14.9053	0.00081	1.14744	-0.00008	1.1994	-7.99E-05	2624.512		0.00035	0.00149		2627.1	0.001063	0.000868	
4.32	-15.6233	0.00102	1.11597	-0.00008	1.1689	-7.80E-05	2636.719		0.0004	0.0015		2639.3	0.001142	0.00158	
4.34	-16.208	-0.00021	1.08333	-0.00008	1.137	-7.72E-05	2648.926		0.0004	0.00147		2651.5	0.000777	0.002077	
4.36	-16.625	0.00017	1.04986	-0.00008	1.1042	-7.73E-05	2661.133		0.00033	0.00143		2663.7	0.00046	0.001679	
4.38	-16.9151	0.00049	1.0158	-0.00008	1.0706	-7.66E-05	2673.34		0.00029	0.00141		2676	0.00084	0.000851	
4.4	-17.0599	0.00048	0.98146	-0.00008	1.0367	-7.56E-05	2685.547		0.00031	0.00141		2688.2	0.001069	0.001322	
4.42	-17.0418	0.00016	0.94715	-0.00008	1.0026	-7.50E-05	2697.754		0.00032	0.0014		2700.4	0.000891	0.001955	
4.44	-16.9063	-0.00021	0.91311	-0.00008	0.96862	-7.50E-05	2709.961		0.00026	0.00136		2712.6	0.000562	0.001748	
4.46	-16.6544	0.00067	0.87958	-0.00007	0.93506	-7.46E-05	2722.168		0.00017	0.00132		2724.8	0.00066	0.000912	
4.48	-16.3737	0.00005	0.84661	-0.00007	0.90204	-7.39E-05	2734.375		0.00013	0.00128		2737	0.00085	0.001021	
4.5	-16.0137	-0.00047	0.81436	-0.00008	0.86965	-7.43E-05	2746.582		0.00018	0.00124		2749.3	0.000747	0.001714	
4.52	-15.6005	-0.00056	0.78293	-0.00008	0.83803	-7.53E-05	2758.789		0.0002	0.00122		2761.5	0.000553	0.001668	
4.54	-15.2134	-0.00031	0.75228	-0.00008	0.80722	-7.62E-05	2770.996		0.00021	0.00122		2773.7	0.000744	0.00093	
4.56	-14.8381	0.00036	0.72238	-0.00008	0.77717	-7.61E-05	2783.203		0.00024	0.00124		2785.9	0.000974	0.000868	
4.58	-14.4503	-0.00059	0.69325	-0.00008	0.74788	-7.64E-05	2795.41		0.00027	0.00121		2798.1	0.000899	0.001602	
4.6	-13.9371	-0.0007	0.66516	-0.00008	0.71949	-7.77E-05	2807.617		0.00026	0.00115		2810.4	0.000594	0.001688	
4.62	-13.3356	-0.0002	0.63826	-0.00008	0.69222	-7.86E-05	2819.824		0.00022	0.0011		2822.6	0.000567	0.001014	
4.64	-12.6643	-0.00106	0.61271	-0.00008	0.66622	-7.98E-05	2832.031		0.0002	0.00109		2834.8	0.000839	0.000584	
4.66	-11.9134	0.00022	0.58866	-0.00008	0.64164	-8.07E-05	2844.238		0.00019	0.00107		2847	0.000909	0.001337	
4.68	-11.0584	-0.0005	0.56631	-0.00008	0.61867	-8.09E-05	2856.445		0.00017	0.00103		2859.2	0.000734	0.001567	
4.7	-10.1527	-0.00114	0.54579	-0.00008	0.59746	-8.26E-05	2868.652		0.00012	0.001		2871.5	0.000615	0.001029	
4.72	-9.21854	-0.00001	0.52712	-0.00008	0.57809	-8.37E-05	2880.859		0.00011	0.00103		2883.7	0.00076	0.000476	
4.74	-8.264	-0.00079	0.51037	-0.00009	0.56061	-8.45E-05	2893.066		0.00014	0.00105		2895.9	0.000848	0.001223	
4.76	-7.40223	-0.00012	0.49534	-0.00009	0.54494	-8.54E-05	2905.273		0.00014	0.00102		2908.1	0.000743	0.001582	
4.78	-6.67725	-0.00081	0.48176	-0.00009	0.53086	-8.64E-05	2917.48		0.0001	0.00093		2920.3	0.000626	0.001179	
4.8	-6.07362	0.00016	0.46939	-0.00009	0.51811	-8.70E-05	2929.688		0.00007	0.00087		2932.6	0.000708	0.000343	
4.82	-5.55643	-0.0007	0.45805	-0.00009	0.50648	-8.76E-05	2941.895		0.0001	0.00085		2944.8	0.000795	0.000863	
4.84	-5.11501	-0.00046	0.44776	-0.00009	0.49581	-8.87E-05	2954.102		0.00012	0.00083		2957	0.000729	0.001341	
4.86	-4.7608	0.00023	0.43785	-0.00009	0.48593	-8.89E-05	2966.309		0.00009	0.00079		2969.2	0.000622	0.001104	
4.88	-4.51819	-0.00085	0.42859	-0.00009	0.47665	-8.96E-05	2978.516		0.00007	0.00076		2981.4	0.00068	0.000337	
4.9	-4.46317	0	0.41944	-0.00009	0.46767	-9.04E-05	2990.723		0.00009	0.00076		2993.6	0.000781	0.000711	
4.92	-4.64522	0.00002	0.40993	-0.00009	0.45856	-9.04E-05	3002.93		0.00012	0.00075		3005.9	0.000746	0.001252	
4.94	-4.97472	-0.00065	0.39975	-0.00009	0.44894	-9.10E-05	3015.137		0.00011	0.00072		3018.1	0.00062	0.001139	
4.96	-5.40339	0.00118	0.38872	-0.00009	0.43857	-9.05E-05	3027.344		0.00009	0.00068		3030.3	0.000616	0.000455	
4.98	-5.89398	-0.00014	0.37671	-0.00009	0.42727	-8.95E-05	3039.551		0.00009	0.00064		3042.5	0.000737	0.000466	
5	-6.49537	0.00078	0.36349	-0.00009	0.41488	-8.88E-05	3051.758		0.0001	0.00062		3054.7	0.000778	0.001051	
5.02	-7.22328	-0.00044	0.34882	-0.00009	0.40116	-8.85E-05	3063.965		0.00009	0.0006		3067	0.000694	0.001049	
5.04	-7.8989	0	0.3328	-0.00009	0.38604	-8.89E-05	3076.172		0.00006	0.00058		3079.2	0.00063	0.000479	
5.06	-8.56072	0.00039	0.31546	-0.00009	0.36958	-8.85E-05	3088.379		0.00006	0.00058		3091.4	0.000703	0.000341	
5.08	-9.24353	0.00001	0.29674	-0.00009	0.35177	-8.81E-05	3100.586		0.00011	0.00057		3103.6	0.000778	0.000941	
5.1	-10.0032	0.00135	0.27651	-0.00009	0.33253	-8.68E-05	3112.793		0.00014	0.00052		3115.8	0.000728	0.001017	
5.12	-10.8113	-0.00004	0.25467	-0.00009	0.31171	-8.55E-05	3125		0.00012	0.00046		3128.1	0.000602	0.000547	
5.14	-11.5556	0.00084	0.23133	-0.00008	0.28935	-8.47E-05	3137.207		0.00009	0.00044		3140.3	0.000586	0.000221	
5.16	-12.2341	0.00116	0.20664	-0.00008	0.26556	-8.27E-05	3149.414		0.00008	0.00045		3152.5	0.000704	0.000814	
5.18	-12.8107	0.00026	0.18079	-0.00008	0.24051	-8.12E-05	3161.621		0.00012	0.00046		3164.7	0.000758	0.000955	
5.2	-13.3601	0.00015	0.15385	-0.00008	0.21434	-8.08E-05	3173.828		0.00015	0.00044		3176.9	0.000664	0.000577	

5.22	-13.8624	0.00135	0.1259	-0.00008	0.18712	-7.93E-05	3186.035	0.00015	0.00041		3189.1	0.000522	0.000129	
5.24	-14.2832	0.00079	0.09711	-0.00008	0.15897	-7.72E-05	3198.242	0.00013	0.00037		3201.4	0.00056	0.000683	
5.26	-14.6388	0.00075	0.06761	-0.00008	0.13005	-7.56E-05	3210.449	0.00012	0.00034		3213.6	0.000713	0.000845	
5.28	-14.9043	0.00075	0.03757	-0.00007	0.10051	-7.41E-05	3222.656	0.00012	0.00035		3225.8	0.000769	0.000508	
5.3	-15.1252	0.00096	0.0071	-0.00007	0.070479	-7.24E-05	3234.863	0.0001	0.00041		3238	0.000694	0.000177	
5.32	-15.2369	0.00095	-0.0236	-0.00007	0.040116	-7.05E-05	3247.07	0.00006	0.00046		3250.2	0.000616	0.000766	
5.34	-15.2186	0.0001	-0.05426	-0.00007	0.009661	-6.95E-05	3259.277	0.00004	0.00046		3262.5	0.000653	0.000999	
5.36	-15.0707	0.00097	-0.08463	-0.00007	-0.02063	-6.84E-05	3271.484	0.00007	0.0004		3274.7	0.000707	0.000746	
5.38	-14.8135	0.00159	-0.11448	-0.00006	-0.05051	-6.58E-05	3283.691	0.00009	0.00032		3286.9	0.00068	0.000213	
5.4	-14.4744	0.00118	-0.14365	-0.00006	-0.0798	-6.31E-05	3295.898	0.00008	0.0003		3299.1	0.00063	0.000519	
5.42	-14.0673	0.0003	-0.17201	-0.00006	-0.10834	-6.16E-05	3308.105	0.00008	0.00031		3311.3	0.000638	0.000807	
5.44	-13.6213	0.00123	-0.19948	-0.00006	-0.13603	-6.01E-05	3320.313	0.00012	0.0003		3323.6	0.000628	0.000651	
5.46	-13.0844	0.00082	-0.22587	-0.00006	-0.16274	-5.80E-05	3332.52	0.00015	0.00028		3335.8	0.000523	0.00023	
5.48	-12.4491	0.00113	-0.25099	-0.00006	-0.18827	-5.61E-05	3344.727	0.00016	0.00028		3348	0.000471	0.000506	
5.5	-11.7698	0.00106	-0.27476	-0.00005	-0.21249	-5.39E-05	3356.934	0.00017	0.0003		3360.2	0.000652	0.000782	
5.52	-11.1263	0.00033	-0.29724	-0.00005	-0.23538	-5.25E-05	3369.141	0.00021	0.00032		3372.4	0.000819	0.000637	
5.54	-10.5763	0.001	-0.31861	-0.00005	-0.25709	-5.12E-05	3381.348	0.00026	0.00033		3384.7	0.000761	0.000182	
5.56	-10.0799	0.00056	-0.339	-0.00005	-0.27774	-4.96E-05	3393.555	0.00029	0.00035		3396.9	0.000474	0.000494	
5.58	-9.50052	0.00154	-0.35822	-0.00005	-0.29732	-4.75E-05	3405.762	0.0003	0.00037		3409.1	0.000322	0.000837	
5.6	-8.86874	0.0006	-0.37618	-0.00005	-0.31569	-4.54E-05	3417.969	0.00029	0.00034		3421.3	0.000633	0.000761	
5.62	-8.26514	-0.00023	-0.39294	-0.00005	-0.33283	-4.50E-05	3430.176	0.00025	0.00031		3433.5	0.000836	0.000325	
5.64	-7.76194	0.00121	-0.40869	-0.00004	-0.34885	-4.40E-05	3442.383	0.00018	0.0003		3445.7	0.000789	0.000367	
5.66	-7.17803	0.00019	-0.42327	-0.00004	-0.36379	-4.26E-05	3454.59	0.0001	0.00033		3458	0.000622	0.00076	
5.68	-6.56066	0.00065	-0.43661	-0.00004	-0.37753	-4.18E-05	3466.797	0.00008	0.00034		3470.2	0.000624	0.000773	
5.7	-6.05449	0.00018	-0.44895	-0.00004	-0.39015	-4.09E-05	3479.004	0.00015	0.00032		3482.4	0.000754	0.000402	
5.72	-5.56915	0.00022	-0.46031	-0.00004	-0.40177	-4.05E-05	3491.211	0.00018	0.0003		3494.6	0.000753	0.000252	
5.74	-5.04697	0.00092	-0.47063	-0.00004	-0.41239	-3.94E-05	3503.418	0.00015	0.00029		3506.8	0.0006	0.000664	
5.76	-4.54611	-0.00026	-0.47995	-0.00004	-0.42198	-3.87E-05	3515.625	0.00009	0.0003		3519.1	0.000519	0.000745	
5.78	-4.27804	0.0001	-0.48873	-0.00004	-0.43081	-3.89E-05	3527.832	0.00007	0.0003		3531.3	0.000631	0.000435	
5.8	-4.28613	0.00044	-0.49752	-0.00004	-0.43937	-3.84E-05	3540.039	0.00013	0.00031		3543.5	0.000686	0.000188	
5.82	-4.40177	0.00062	-0.50655	-0.00004	-0.44806	-3.73E-05	3552.246	0.00015	0.00033		3555.7	0.00057	0.000623	
5.84	-4.65362	-0.00066	-0.51608	-0.00004	-0.45711	-3.73E-05	3564.453	0.00015	0.00032		3567.9	0.000437	0.00078	
5.86	-5.01494	-0.00028	-0.52634	-0.00004	-0.46678	-3.83E-05	3576.66	0.00013	0.00029		3580.2	0.000545	0.000552	
5.88	-5.51141	0.00047	-0.53758	-0.00004	-0.47731	-3.81E-05	3588.867	0.00014	0.00026		3592.4	0.000705	0.000175	
5.9	-6.04329	-0.00079	-0.5499	-0.00004	-0.48886	-3.84E-05	3601.074	0.00014	0.00027		3604.6	0.000719	0.000503	
5.92	-6.55755	-0.00039	-0.56323	-0.00004	-0.50146	-3.96E-05	3613.281	0.00011	0.00028		3616.8	0.000614	0.000729	
5.94	-7.03535	-0.00029	-0.57753	-0.00004	-0.51506	-4.03E-05	3625.488	0.00007	0.00028		3629	0.000562	0.000598	
5.96	-7.48003	-0.00037	-0.59271	-0.00004	-0.52957	-4.09E-05	3637.695	0.00009	0.00026		3641.3	0.000636	0.00023	
5.98	-7.99565	0.00031	-0.60893	-0.00004	-0.54505	-4.10E-05	3649.902	0.00015	0.00024		3653.5	0.000683	0.000377	
6	-8.41532	-0.0007	-0.62599	-0.00004	-0.56146	-4.14E-05	3662.109	0.0002	0.00023		3665.7	0.000608	0.000649	
6.02	-8.89312	0.00019	-0.644	-0.00004	-0.57877	-4.19E-05	3674.316	0.00021	0.00021		3677.9	0.000456	0.000625	
6.04	-9.29729	-0.00114	-0.66281	-0.00004	-0.59696	-4.28E-05	3686.523	0.00018	0.00017		3690.1	0.000385	0.000379	
6.06	-9.66897	-0.00047	-0.68238	-0.00005	-0.61592	-4.44E-05	3698.73	0.00012	0.00012		3702.3	0.000467	0.000337	
6.08	-10.0476	0.00022	-0.7027	-0.00004	-0.63564	-4.47E-05	3710.938	0.00006	0.00011		3714.6	0.000558	0.000523	
6.1	-10.524	-0.00062	-0.72397	-0.00005	-0.65621	-4.51E-05	3723.145	0.00003	0.00012		3726.8	0.000576	0.000052	
6.12	-11.0583	-0.00052	-0.74631	-0.00005	-0.67779	-4.62E-05	3735.352	0.00003	0.00013		3739	0.000544	0.000338	
6.14	-11.4282	-0.00081	-0.76939	-0.00005	-0.70028	-4.76E-05	3747.559	0.00003	0.00014		3751.2	0.000528	0.000331	
6.16	-11.7184	-0.00032	-0.79305	-0.00005	-0.72343	-4.87E-05	3759.766	0.00004	0.00014		3763.4	0.000563	0.000505	

6.18	-11.8479	-0.00057	-0.81697	-0.00005	-0.74699	-4.96E-05	3771.973	0.00005	0.00011		3775.7	0.000602	0.000531	
6.2	-11.993	-0.00063	-0.84118	-0.00005	-0.77083	-5.08E-05	3784.18	0.00005	0.00006		3787.9	0.000597	0.000428	
6.22	-12.0006	-0.00012	-0.86541	-0.00005	-0.79483	-5.15E-05	3796.387	0.00003	0.00004		3800.1	0.00056	0.000423	
6.24	-11.8608	-0.00115	-0.88936	-0.00005	-0.81869	-5.28E-05	3808.594	0.00002	0.00007		3812.3	0.000552	0.00051	
6.26	-11.6253	-0.0006	-0.91283	-0.00006	-0.84218	-5.46E-05	3820.801	0.00004	0.00007		3824.5	0.000585	0.000474	
6.28	-11.1896	-0.00091	-0.93543	-0.00006	-0.86499	-5.61E-05	3833.008	0.00006	0.00007		3836.8	0.000608	0.000345	
6.3	-10.7367	-0.0006	-0.95713	-0.00006	-0.88692	-5.76E-05	3845.215	0.00007	0.00009		3849	0.000594	0.000406	
6.32	-10.3527	-0.00023	-0.97806	-0.00006	-0.90801	-5.84E-05	3857.422	0.00007	0.00012		3861.2	0.000569	0.000558	
6.34	-10.0158	-0.00046	-0.99832	-0.00006	-0.92837	-5.91E-05	3869.629	0.00007	0.00013		3873.4	0.000554	0.000547	
6.36	-9.57244	0.00005	-1.01769	-0.00006	-0.94796	-5.95E-05	3881.836	0.00006	0.0001		3885.6	0.000536	0.000386	
6.38	-9.07205	-0.00066	-1.03606	-0.00006	-0.96661	-6.01E-05	3894.043	0.00004	0.00006		3897.8	0.000515	0.000356	
6.4	-8.70334	-0.0008	-1.05369	-0.00006	-0.98438	-6.16E-05	3906.25	0.00003	0.00006		3910.1	0.00053	0.000493	
6.42	-8.29746	-0.0002	-1.07051	-0.00006	-1.0014	-6.26E-05	3918.457	0.00005	0.00008		3922.3	0.000575	0.000493	
6.44	-7.79219	-0.0007	-1.08631	-0.00006	-1.0175	-6.35E-05	3930.664	0.00009	0.0001		3934.5	0.000581	0.000331	
6.46	-7.47753	-0.00005	-1.10149	-0.00006	-1.0327	-6.42E-05	3942.871	0.00001	0.00013		3946.7	0.000521	0.000335	
6.48	-7.06227	-0.00052	-1.11584	-0.00007	-1.0473	-6.48E-05	3955.078	0.00007	0.00017		3958.9	0.000464	0.000541	
6.5	-6.58017	-0.00016	-1.12923	-0.00007	-1.0609	-6.55E-05	3967.285	0.00004	0.00018		3971.2	0.000496	0.000593	
6.52	-6.13398	-0.00029	-1.14172	-0.00007	-1.0736	-6.59E-05	3979.492	0.00004	0.00016		3983.4	0.000553	0.000435	
6.54	-5.78011	-0.00041	-1.15351	-0.00007	-1.0856	-6.66E-05	3991.699	0.00007	0.00011		3995.6	0.000545	0.000298	
6.56	-5.20646	-0.00006	-1.16414	-0.00007	-1.0965	-6.71E-05	4003.906	0.00007	0.00012		4007.8	0.000489	0.000462	
6.58	-4.54877	-0.00075	-1.17346	-0.00007	-1.1063	-6.79E-05	4016.113	0.00005	0.00016		4020	0.000474	0.000558	
6.6	-4.29549	0.00026	-1.18228	-0.00007	-1.1151	-6.84E-05	4028.32	0.00003	0.00019		4032.3	0.000512	0.000426	
6.62	-4.04774	-0.00068	-1.1906	-0.00007	-1.1235	-6.88E-05	4040.527	0.00004	0.00017		4044.5	0.000526	0.000207	
6.64	-3.83882	0.00025	-1.1985	-0.00007	-1.1314	-6.92E-05	4052.734	0.00004	0.00016		4056.7	0.000497	0.000376	
6.66	-3.63318	-0.00045	-1.20599	-0.00007	-1.1388	-6.94E-05	4064.941	0.00003	0.00016		4068.9	0.000483	0.000561	
6.68	-3.70066	-0.00016	-1.21362	-0.00007	-1.1462	-7.01E-05	4077.148	0.00003	0.00016		4081.1	0.000502	0.000527	
6.7	-3.67937	0.00025	-1.2212	-0.00007	-1.1536	-7.00E-05	4089.355	0.00003	0.00014		4093.4	0.000503	0.000335	
6.72	-3.6998	-0.00025	-1.22883	-0.00007	-1.1609	-7.00E-05	4101.563	0.00004	0.00011		4105.6	0.000476	0.000309	
6.74	-3.97896	0.0004	-1.23701	-0.00007	-1.1686	-6.98E-05	4113.77	0.00003	0.00012		4117.8	0.000481	0.000471	
6.76	-4.2795	-0.00015	-1.24579	-0.00007	-1.1769	-6.96E-05	4125.977	0.00003	0.00015		4130	0.000528	0.000493	
6.78	-4.54769	-0.00047	-1.25511	-0.00007	-1.1857	-7.02E-05	4138.184	0.00005	0.00016		4142.2	0.000546	0.000343	
6.8	-4.75063	-0.00007	-1.26484	-0.00007	-1.195	-7.07E-05	4150.391	0.00005	0.00016		4154.4	0.000506	0.000252	
6.82	-5.05197	-0.00059	-1.27517	-0.00007	-1.2048	-7.14E-05	4162.598	0.00004	0.00015		4166.7	0.000468	0.00041	
6.84	-5.30232	0.00035	-1.28599	-0.00007	-1.2152	-7.16E-05	4174.805	0.00002	0.00016		4178.9	0.000491	0.000504	
6.86	-5.57182	-0.00071	-1.29736	-0.00007	-1.226	-7.20E-05	4187.012	0.00003	0.00016		4191.1	0.000522	0.000435	
6.88	-5.93135	0.00003	-1.30945	-0.00007	-1.2375	-7.27E-05	4199.219	0.00005	0.00013		4203.3	0.000502	0.000298	
6.9	-6.28053	0.0005	-1.32224	-0.00007	-1.2497	-7.21E-05	4211.426	0.00004	0.00009		4215.5	0.000465	0.000315	
6.92	-6.59002	-0.0006	-1.33564	-0.00007	-1.2626	-7.22E-05	4223.633	0.00002	0.00008		4227.8	0.000478	0.000415	
6.94	-6.94721	0.00058	-1.34976	-0.00007	-1.2762	-7.23E-05	4235.84	0.00003	0.00008		4240	0.000512	0.000424	
6.96	-7.25177	-0.00056	-1.36449	-0.00007	-1.2903	-7.22E-05	4248.047	0.00004	0.00007		4252.2	0.000505	0.000346	
6.98	-7.5201	-0.00049	-1.37975	-0.00007	-1.3051	-7.33E-05	4260.254	0.00004	0.00005		4264.4	0.000468	0.000301	
7	-7.73254	0.00039	-1.39544	-0.00007	-1.3204	-7.34E-05	4272.461	0.00002	0.00003		4276.6	0.000468	0.000343	
7.02	-8.09184	-0.00025	-1.41185	-0.00007	-1.3362	-7.32E-05	4284.668	0.00002	0.00004		4288.9	0.000505	0.000366	
7.04	-8.41227	-0.00053	-1.4289	-0.00007	-1.3527	-7.40E-05	4296.875	0.00004	0.00007		4301.1	0.000513	0.000326	
7.06	-8.64998	0.0002	-1.44642	-0.00007	-1.3698	-7.44E-05	4309.082	0.00004	0.00011		4313.3	0.00048	0.000299	
7.08	-8.6754	0.00034	-1.464	-0.00007	-1.3871	-7.38E-05	4321.289	0.00002	0.00016		4325.5	0.000463	0.000363	
7.1	-8.53259	-0.00069	-1.48129	-0.00008	-1.4043	-7.42E-05	4333.496	0.00001	0.0002		4337.7	0.000485	0.000437	
7.12	-8.45372	0.00043	-1.49842	-0.00007	-1.4213	-7.44E-05	4345.703	0.00003	0.00022		4350	0.0005	0.000427	

7.14	-8.16598	-0.00084	-1.51498	-0.00008	-1.4379	-7.48E-05	4357.91	0.00003	0.0002		4362.2	0.000481	0.000332	
7.16	-7.85077	-0.00038	-1.5309	-0.00008	-1.4539	-7.61E-05	4370.117	0.00002	0.00016		4374.4	0.000464	0.000266	
7.18	-7.44826	0.0002	-1.54602	-0.00008	-1.4692	-7.62E-05	4382.324	0.00001	0.00011		4386.6	0.000478	0.000337	
7.2	-6.93732	-0.00096	-1.56012	-0.00008	-1.4836	-7.70E-05	4394.531	0.00002	0.00007		4398.8	0.000495	0.000408	
7.22	-6.41724	0.00046	-1.57318	-0.00008	-1.497	-7.75E-05	4406.738	0.00003	0.00005		4411	0.000487	0.000391	
7.24	-5.92474	-0.00019	-1.58525	-0.00008	-1.5093	-7.72E-05	4418.945	0.00003	0.00006		4423.3	0.000471	0.000341	
7.26	-5.59979	-0.00087	-1.59668	-0.00008	-1.5208	-7.83E-05	4431.152	0.00002	0.00008		4435.5	0.000474	0.000374	
7.28	-5.07731	0.00008	-1.60706	-0.00008	-1.5315	-7.91E-05	4443.359	0.00003	0.00009		4447.7	0.00048	0.000436	
7.3	-4.58291	-0.00055	-1.61645	-0.00008	-1.5412	-7.95E-05	4455.566	0.00003	0.0001		4459.9	0.000468	0.000413	
7.32	-4.26207	0.00009	-1.6252	-0.00008	-1.55	-8.00E-05	4467.773	0.00003	0.00008		4472.1	0.000456	0.000313	
7.34	-4.12198	-0.00075	-1.63367	-0.00008	-1.5584	-8.07E-05	4479.98	0.00002	0.00008		4484.4	0.000466	0.000311	
7.36	-4.09034	-0.00061	-1.64207	-0.00008	-1.5666	-8.20E-05	4492.188	0.00003	0.00009		4496.6	0.000479	0.000436	
7.38	-3.81325	0.00026	-1.64992	-0.00008	-1.5745	-8.24E-05	4504.395	0.00004	0.00011		4508.8	0.000464	0.000494	
7.4	-3.50038	-0.00128	-1.65715	-0.00009	-1.5818	-8.34E-05	4516.602	0.00004	0.0001		4521	0.000437	0.000425	
7.42	-3.18912	0.00029	-1.66375	-0.00008	-1.5885	-8.44E-05	4528.809	0.00002	0.00008		4533.2	0.00044	0.000305	
7.44	-2.90075	-0.00123	-1.66978	-0.00009	-1.5946	-8.53E-05	4541.016	0.00002	0.00005		4545.5	0.00047	0.000312	
7.46	-2.60405	-0.00036	-1.67521	-0.00009	-1.6001	-8.69E-05	4553.223	0.00004	0.00004		4557.7	0.000477	0.0004	
7.48	-2.30279	-0.00059	-1.68004	-0.00009	-1.605	-8.79E-05	4565.43	0.00004	0.00006		4569.9	0.000448	0.000423	
7.5	-2.09115	-0.00061	-1.68445	-0.00009	-1.6094	-8.91E-05	4577.637	0.00003	0.00006		4582.1	0.000423	0.000377	
7.52	-1.79468	0.00015	-1.68826	-0.00009	-1.6133	-8.95E-05	4589.844	0.00002	0.00005		4594.3	0.000444	0.000334	
7.54	-1.46023	-0.00117	-1.6914	-0.00009	-1.6165	-9.05E-05	4602.051	0.00003	0.00004		4606.5	0.000478	0.000334	
7.56	-1.18096	-0.00027	-1.69399	-0.00009	-1.6192	-9.20E-05	4614.258	0.00006	0.00002		4618.8	0.000471	0.000343	
7.58	-1.04692	0.00003	-1.69631	-0.00009	-1.6214	-9.22E-05	4626.465	0.00007	0.00002		4631	0.000418	0.000341	
7.6	-1.14116	-0.00082	-1.69882	-0.00009	-1.6236	-9.30E-05	4638.672	0.00007	0.00003		4643.2	0.000378	0.000329	
7.62	-1.11975	-0.00027	-1.70128	-0.00009	-1.6259	-9.41E-05	4650.879	0.00005	0.00004		4655.4	0.000403	0.000305	
7.64	-1.26526	-0.00088	-1.70403	-0.00001	-1.6283	-9.53E-05	4663.086	0.00003	0.00003		4667.6	0.000451	0.000297	
7.66	-1.5249	-0.00017	-1.70731	-0.0001	-1.631	-9.63E-05	4675.293	0.00002	0.00002		4679.9	0.000455	0.000338	
7.68	-1.85322	-0.00081	-1.71124	-0.0001	-1.6344	-9.73E-05	4687.5	0.00003	0.00003		4692.1	0.000418	0.00038	
7.7	-2.06686	-0.00085	-1.7156	-0.0001	-1.6383	-9.89E-05	4699.707	0.00004	0.00004		4704.3	0.000412	0.00036	
7.72	-2.32033	-0.00018	-1.72046	-0.0001	-1.6427	-1.00E-04	4711.914	0.00004	0.00003		4716.5	0.000465	0.000309	
7.74	-2.73314	-0.00036	-1.72615	-0.0001	-1.6478	-0.0001	4724.121	0.00005	0.00003		4728.7	0.000502	0.000333	
7.76	-2.95998	-0.00051	-1.7323	-0.0001	-1.6535	-0.0001	4736.328	0.00006	0.00007		4741	0.000468	0.000396	
7.78	-3.29549	-0.00098	-1.73911	-0.0001	-1.6597	-0.0001	4748.535	0.00006	0.0001		4753.2	0.000396	0.000371	
7.8	-3.60901	-0.00006	-1.74656	-0.0001	-1.6666	-0.0001	4760.742	0.00005	0.00011		4765.4	0.000391	0.000259	
7.82	-4.0421	-0.00009	-1.75486	-0.0001	-1.6743	-0.0001	4772.949	0.00004	0.00011		4777.6	0.000457	0.00027	
7.84	-4.24288	-0.0009	-1.76357	-0.00011	-1.6826	-0.00011	4785.156	0.00005	0.00011		4789.8	0.000483	0.000412	
7.86	-4.25283	0.00006	-1.7723	-0.00011	-1.6911	-0.00011	4797.363	0.00005	0.00014		4802.1	0.000437	0.000448	
7.88	-4.49166	-0.00066	-1.78151	-0.00011	-1.6998	-0.00011	4809.57	0.00004	0.00015		4814.3	0.000393	0.000323	
7.9	-4.79044	-0.00053	-1.79132	-0.00011	-1.7091	-0.00011	4821.777	0.00004	0.00015		4826.5	0.00043	0.000208	
7.92	-4.90181	-0.00045	-1.80135	-0.00011	-1.7188	-0.00011	4833.984	0.00004	0.00013		4838.7	0.00048	0.000356	
7.94	-4.74229	-0.00053	-1.81105	-0.00011	-1.7284	-0.00011	4846.191	0.00005	0.00013		4850.9	0.000461	0.00045	
7.96	-4.60247	-0.00004	-1.82048	-0.00011	-1.7378	-0.00011	4858.398	0.00005	0.00015		4863.1	0.000398	0.000349	
7.98	-4.41315	-0.00041	-1.82953	-0.00011	-1.7468	-0.00011	4870.605	0.00004	0.00017		4875.4	0.000393	0.000156	
8	-4.18904	-0.00001	-1.83814	-0.00011	-1.7554	-0.00011	4882.813	0.00004	0.00018		4887.6	0.000449	0.000324	
8.02	-3.9777	-0.00046	-1.84632	-0.00011	-1.7636	-0.00011	4895.02	0.00005	0.00019		4899.8	0.000466	0.000501	
8.04	-3.68108	0.00007	-1.8539	-0.00011	-1.7712	-0.00011	4907.227	0.00005	0.0002		4912	0.000416	0.000465	
8.06	-3.4375	-0.00032	-1.861	-0.00011	-1.7783	-0.00011	4919.434	0.00005	0.00021		4924.2	0.000375	0.000232	
8.08	-2.9809	0.00017	-1.86719	-0.00011	-1.7848	-0.00011	4931.641	0.00004	0.0002		4936.5	0.000409	0.000196	

8.1	-2.66541	-0.00075	-1.87274	-0.00011	-1.7904	-0.00011	4943.848	0.00003	0.00019		4948.7	0.000452	0.000434	
8.12	-2.49177	-0.00078	-1.87795	-0.00012	-1.7956	-0.00011	4956.055	0.00003	0.0002		4960.9	0.000436	0.000481	
8.14	-2.47534	0.0007	-1.88313	-0.00011	-1.8005	-0.00011	4968.262	0.00003	0.00023		4973.1	0.000394	0.000294	
8.16	-2.32035	-0.00026	-1.88799	-0.00011	-1.8053	-0.00011	4980.469	0.00003	0.00025		4985.3	0.000402	0.000113	
8.18	-1.90067	-0.00017	-1.89202	-0.00012	-1.8095	-0.00011	4992.676	0.00003	0.00023		4997.6	0.000446	0.000393	
8.2	-1.78578	-0.00035	-1.89582	-0.00012	-1.8132	-0.00012	5004.883	0.00003	0.00019		5009.8	0.000455	0.000534	
8.22	-1.64112	0.00013	-1.89932	-0.00012	-1.8167	-0.00012	5017.09	0.00003	0.00014		5022	0.00042	0.000444	
8.24	-1.63133	0.00055	-1.90281	-0.00011	-1.8199	-0.00011	5029.297	0.00002	0.00012		5034.2	0.000398	0.000227	
8.26	-1.55639	-0.00042	-1.90615	-0.00012	-1.8231	-0.00011	5041.504	0.00002	0.00014		5046.4	0.000418	0.000297	
8.28	-1.1305	-0.00034	-1.90863	-0.00012	-1.8258	-0.00012	5053.711	0.00002	0.00016		5058.7	0.000439	0.000467	
8.3	-0.77453	0.00034	-1.91041	-0.00012	-1.8277	-0.00012	5065.918	0.00002	0.00017		5070.9	0.000425	0.000445	
8.32	-0.48309	-0.00079	-1.91116	-0.00012	-1.8289	-0.00012	5078.125	0.00002	0.00017		5083.1	0.000402	0.00024	
8.34	-0.3389	0.00053	-1.9125	-0.00012	-1.8298	-0.00012	5090.332	0.00001	0.00015		5095.3	0.000406	0.00019	
8.36	0.12817	0.00017	-1.91247	-0.00012	-1.83	-0.00012	5102.539	0.00001	0.00014		5107.5	0.000425	0.000415	
8.38	0.51907	-0.00068	-1.91165	-0.00012	-1.8293	-0.00012	5114.746	0.00002	0.00014		5119.7	0.000425	0.0005	
8.4	0.67086	0.0003	-1.91054	-0.00012	-1.8282	-0.00012	5126.953	0.00002	0.00014		5132	0.000405	0.000395	
8.42	1.15353	0.00015	-1.90845	-0.00012	-1.8263	-0.00012	5139.16	0.00001	0.00013		5144.2	0.000395	0.000198	
8.44	1.30418	-0.00001	-1.90607	-0.00012	-1.8239	-0.00012	5151.367	0.00001	0.0001		5156.4	0.000411	0.000211	
8.46	1.32717	0.00011	-1.90364	-0.00012	-1.8212	-0.00012	5163.574	0.00002	0.00007		5168.6	0.000429	0.000333	
8.48	1.23051	-0.00014	-1.9014	-0.00012	-1.8187	-0.00012	5175.781	0.00002	0.00007		5180.8	0.000427	0.000329	
8.5	1.3563	0.00014	-1.89891	-0.00012	-1.8161	-0.00012	5187.988	0.00002	0.0001		5193.1	0.000409	0.000211	
8.52	1.24492	0.0003	-1.89665	-0.00012	-1.8135	-0.00012	5200.195	0.00002	0.00013		5205.3	0.000397	0.00017	
8.54	0.75499	-0.0003	-1.89536	-0.00012	-1.8115	-0.00012	5212.402	0.00001	0.00015		5217.5	0.000402	0.000322	
8.56	0.55891	0.00037	-1.89447	-0.00011	-1.8102	-0.00011	5224.609	0.00001	0.00017		5229.7	0.00041	0.000438	
8.58	0.17265	0.00033	-1.89435	-0.00011	-1.8095	-0.00011	5236.816	0.00002	0.00017		5241.9	0.000405	0.000439	
8.6	-0.1531	-0.00048	-1.89488	-0.00012	-1.8094	-0.00011	5249.023	0.00002	0.00016		5254.2	0.000391	0.000319	
8.62	-0.4148	-0.00014	-1.89593	-0.00012	-1.81	-0.00012	5261.23	0.00001	0.00015		5266.4	0.000391	0.000174	
8.64	-0.66928	0.00021	-1.8975	-0.00012	-1.8111	-0.00011	5273.438	0.00001	0.00014		5278.6	0.000405	0.00027	
8.66	-1.09941	0.0004	-1.89992	-0.00011	-1.8129	-0.00011	5285.645	0.00001	0.00013		5290.8	0.000412	0.000407	
8.68	-1.35298	-0.0006	-1.90285	-0.00012	-1.8153	-0.00011	5297.852	0.00002	0.00013		5303	0.000401	0.000401	
8.7	-1.29026	-0.00009	-1.90566	-0.00012	-1.818	-0.00012	5310.059	0.00001	0.00012		5315.2	0.000388	0.000234	
8.72	-1.39487	0.00066	-1.90867	-0.00011	-1.8206	-0.00011	5322.266	0.00001	0.00011		5327.5	0.000392	0.000131	
8.74	-1.55318	0.00067	-1.912	-0.00011	-1.8236	-0.00011	5334.473	0.00001	0.00013		5339.7	0.000404	0.000335	
8.76	-1.51082	-0.00061	-1.91525	-0.00011	-1.8266	-0.00011	5346.68	0.00001	0.00015		5351.9	0.000401	0.000422	
8.78	-1.53411	0.00071	-1.91854	-0.00011	-1.8297	-0.00011	5358.887	0.00001	0.00018		5364.1	0.00039	0.00031	
8.8	-1.5252	-0.00048	-1.92181	-0.00011	-1.8328	-0.00011	5371.094	0.00001	0.0002		5376.3	0.00039	0.000117	
8.82	-1.37537	-0.00017	-1.92479	-0.00011	-1.8357	-0.00011	5383.301	0.00001	0.00019		5388.6	0.000401	0.000306	
8.84	-1.1753	0.00097	-1.92736	-0.00011	-1.8382	-0.00011	5395.508	0.00002	0.00017		5400.8	0.000403	0.000455	
8.86	-1.11609	0.00003	-1.92982	-0.00011	-1.8405	-0.00011	5407.715	0.00002	0.00016		5413	0.000391	0.000377	
8.88	-0.96512	-0.00043	-1.93198	-0.00011	-1.8426	-0.00011	5419.922	0.00002	0.00018		5425.2	0.000382	9.70E-05	
8.9	-0.68248	-0.00001	-1.93356	-0.00011	-1.8442	-0.00011	5432.129	0.00001	0.00023		5437.4	0.000386	0.000304	
8.92	-0.69172	-0.00005	-1.93517	-0.00011	-1.8456	-0.00011	5444.336	0.00001	0.00026		5449.7	0.000391	0.000584	
8.94	-0.56241	-0.00002	-1.93652	-0.00011	-1.8469	-0.00011	5456.543	0.00002	0.00025		5461.9	0.000387	0.00063	
8.96	-0.2708	0.00024	-1.93729	-0.00011	-1.8477	-0.00011	5468.75	0.00002	0.00021		5474.1	0.00038	0.000416	
8.98	0.05757	-0.00018	-1.9374	-0.00011	-1.8479	-0.00011	5480.957	0.00001	0.00019		5486.3	0.000378	0.000129	
9	0.06692	0.00063	-1.93749	-0.00011	-1.8478	-0.00011	5493.164	0.00001	0.00021		5498.5	0.000378	0.000378	
9.02	-0.0077	-0.0005	-1.93773	-0.00011	-1.8477	-0.00011	5505.371	0.00001	0.00023		5510.8	0.000377	0.000543	
9.04	0.17192	-0.00033	-1.93761	-0.00011	-1.8476	-0.00011	5517.578	0.00001	0.00021		5523	0.000377	0.000445	

9.06	0.36205	0.00009	-1.93711	-0.00011	-1.847	-0.00011	5529.785	0.00001	0.00017		5535.2	0.000379	0.000139	
9.08	0.59279	-0.00019	-1.93615	-0.00011	-1.8461	-0.00011	5541.992	0.00001	0.00017		5547.4	0.000377	0.000247	
9.1	0.61856	0.00058	-1.93513	-0.00011	-1.8449	-0.00011	5554.199	0.00001	0.00021		5559.6	0.000377	0.000482	
9.12	0.72209	0.00005	-1.93392	-0.00011	-1.8435	-0.00011	5566.406	0.00001	0.00025		5571.8	0.000387	0.000476	
9.14	0.92248	-0.00001	-1.93229	-0.00011	-1.8419	-0.00011	5578.613	0.00001	0.00024		5584.1	0.000396	0.000244	
9.16	1.0714	0.00086	-1.93038	-0.00011	-1.8399	-0.00011	5590.82	0.00002	0.00021		5596.3	0.000389	0.000175	
9.18	1.39459	0.00018	-1.92781	-0.00011	-1.8374	-0.00011	5603.027	0.00001	0.00019		5608.5	0.000371	0.000435	
9.2	1.75191	-0.00029	-1.92453	-0.00011	-1.8343	-0.00011	5615.234	0.00001	0.00018		5620.7	0.000373	0.000509	
9.22	2.08195	-0.0001	-1.92059	-0.00011	-1.8304	-0.00011	5627.441	0.00002	0.00018		5632.9	0.000394	0.000351	
9.24	2.3142	-0.00019	-1.91619	-0.00011	-1.826	-0.00011	5639.648	0.00003	0.00016		5645.2	0.000402	0.000115	
9.26	2.60599	0.00054	-1.9112	-0.00011	-1.8211	-0.00011	5651.855	0.00003	0.00017		5657.4	0.00038	0.000325	
9.28	2.96238	-0.00027	-1.9055	-0.00011	-1.8155	-0.00011	5664.063	0.00002	0.00019		5669.6	0.000358	0.000486	
9.3	3.1111	0.00014	-1.8995	-0.00011	-1.8095	-0.00011	5676.27	0.00001	0.0002		5681.8	0.000369	0.000443	
9.32	3.21345	0.00035	-1.8933	-0.00011	-1.8031	-0.00011	5688.477	0.00002	0.00017		5694	0.000388	0.00025	
9.34	3.15784	-0.00009	-1.88721	-0.00011	-1.7968	-0.00011	5700.684	0.00003	0.00012		5706.3	0.000379	0.000184	
9.36	3.05255	0.00048	-1.88133	-0.00011	-1.7906	-0.00011	5712.891	0.00003	0.0001		5718.5	0.000351	0.000333	
9.38	2.87668	-0.00042	-1.8758	-0.00011	-1.7846	-0.00011	5725.098	0.00002	0.00013		5730.7	0.000348	0.000382	
9.4	2.65581	0.00098	-1.87071	-0.00011	-1.7791	-0.00011	5737.305	0.00001	0.00016		5742.9	0.000375	0.000307	
9.42	2.42276	-0.00001	-1.86609	-0.00011	-1.7774	-0.00011	5749.512	0.00002	0.00016		5755.1	0.000389	0.000212	
9.44	1.91136	-0.00006	-1.86249	-0.00011	-1.7697	-0.00011	5761.719	0.00003	0.00012		5767.4	0.000372	0.000228	
9.46	1.57483	0.0004	-1.85957	-0.00011	-1.7662	-0.00011	5773.926	0.00002	0.00008		5779.6	0.000349	0.000287	
9.48	1.33963	-0.0004	-1.85711	-0.00011	-1.7633	-0.00011	5786.133	0.00002	0.00005		5791.8	0.000349	0.000316	
9.5	1.15199	0.00093	-1.85503	-0.00011	-1.7608	-0.00011	5798.34	0.00001	0.00004		5804	0.000362	0.000315	
9.52	0.9981	0.0003	-1.85326	-0.00011	-1.7586	-0.00011	5810.547	0.00001	0.00003		5816.2	0.000368	0.000283	
9.54	0.77367	-0.00051	-1.85194	-0.00011	-1.7569	-0.00011	5822.754	0.00001	0.00002		5828.4	0.000365	0.000249	
9.56	0.66453	0.00015	-1.85083	-0.00011	-1.7554	-0.00011	5834.961	0.00001	0.00005		5840.7	0.00036	0.000273	
9.58	0.52805	0.00004	-1.85	-0.00011	-1.7542	-0.00011	5847.168	0.00001	0.00008		5852.9	0.000356	0.000315	
9.6	0.64092	0.001	-1.84895	-0.0001	-1.7531	-0.0001	5859.375	0.00001	0.0001		5865.1	0.000358	0.000291	
9.62	0.68958	-0.00003	-1.84779	-0.0001	-1.7517	-0.0001	5871.582	0.00001	0.0001		5877.3	0.000369	0.000218	
9.64	0.60661	0.00031	-1.8468	-0.0001	-1.7504	-0.0001	5883.789	0.00002	0.00007		5889.5	0.000377	0.000252	
9.66	0.60295	0.00026	-1.84582	-0.0001	-1.7492	-0.0001	5895.996	0.00002	0.00004		5901.8	0.000365	0.00035	
9.68	0.69437	0.00017	-1.84466	-0.0001	-1.7479	-0.0001	5908.203	0.00002	0.00005		5914	0.000345	0.000348	
9.7	0.8222	0.0009	-1.84324	-0.0001	-1.7464	-0.0001	5920.41	0.00001	0.00007		5926.2	0.000348	0.000219	
9.72	0.8198	-0.0004	-1.84182	-0.0001	-1.7448	-0.0001	5932.617	0.00001	0.00007		5938.4	0.000372	0.00017	
9.74	0.87277	0.00047	-1.8403	-0.0001	-1.7431	-0.0001	5944.824	0.00002	0.00007		5950.6	0.000377	0.000329	
9.76	1.02451	0.00048	-1.83848	-0.0001	-1.7412	-0.0001	5957.031	0.00002	0.0001		5962.9	0.000353	0.000388	
9.78	1.12327	0.00029	-1.83645	-0.0001	-1.739	-9.94E-05	5969.238	0.00002	0.00013		5975.1	0.000335	0.000271	
9.8	1.21767	0.00015	-1.83424	-0.0001	-1.7367	-9.89E-05	5981.445	0.00001	0.00015		5987.3	0.000352	0.000108	
9.82	1.29511	0.00045	-1.83188	-0.0001	-1.7342	-9.83E-05	5993.652	0.00002	0.00014		5999.5	0.00037	0.000294	
9.84	1.279	0.00018	-1.82954	-0.0001	-1.7316	-9.77E-05	6005.859	0.00002	0.00012		6011.7	0.000357	0.00042	
9.86	1.29422	0.00017	-1.82718	-0.0001	-1.729	-9.74E-05	6018.066	0.00002	0.00012		6023.9	0.000332	0.000347	
9.88	1.39127	0.00058	-1.82462	-0.0001	-1.7264	-9.66E-05	6030.273	0.00002	0.00013		6036.2	0.000339	0.000122	
9.9	1.53556	0.00083	-1.82177	-0.00009	-1.7234	-9.52E-05	6042.48	0.00001	0.00013		6048.4	0.000365	0.000232	
9.92	1.64008	-0.00015	-1.81872	-0.0001	-1.7203	-9.45E-05	6054.688	0.00002	0.00014		6060.6	0.000364	0.000425	
9.94	1.72439	0.00044	-1.81549	-0.00009	-1.7169	-9.42E-05	6066.895	0.00002	0.00015		6072.8	0.000337	0.000417	
9.96	1.73641	0.00027	-1.81225	-0.00009	-1.7134	-9.35E-05	6079.102	0.00002	0.00016		6085	0.00033	0.00021	
9.98	1.79465	-0.00004	-1.80888	-0.00009	-1.7099	-9.33E-05	6091.309	0.00002	0.00016		6097.3	0.000357	0.000157	
10	1.9281	0.00076	-1.80525	-0.00009	-1.7062	-9.26E-05	6103.516	0.00002	0.00017		6109.5	0.000374	0.000403	

10.02	2.1414	-0.00022	-1.80119	-0.00009	-1.7021	-9.20E-05	6115.723	0.00002	0.00018		6121.7	0.000359	0.000477	
10.04	2.40765	0.00037	-1.7966	-0.00009	-1.6976	-9.19E-05	6127.93	0.00002	0.00019		6133.9	0.000337	0.000329	
10.06	2.74631	0.0003	-1.79133	-0.00009	-1.6924	-9.12E-05	6140.137	0.00001	0.00017		6146.1	0.000342	7.90E-05	
10.08	3.16829	0.00019	-1.78522	-0.00009	-1.6865	-9.07E-05	6152.344	0.00001	0.00014		6158.4	0.000359	0.000294	
10.1	3.62232	0.0008	-1.7782	-0.00009	-1.6797	-8.97E-05	6164.551	0.00002	0.00014		6170.6	0.000355	0.00045	
10.12	3.94652	0.00033	-1.77053	-0.00009	-1.6721	-8.86E-05	6176.758	0.00002	0.00016		6182.8	0.000336	0.000401	
10.14	4.19162	0.0003	-1.76237	-0.00009	-1.664	-8.80E-05	6188.965	0.00001	0.00015		6195	0.000332	0.000198	
10.16	4.38157	0.00044	-1.75383	-0.00009	-1.6554	-8.72E-05	6201.172	0.00001	0.00012		6207.2	0.000347	0.000181	
10.18	4.35501	0.00011	-1.74535	-0.00009	-1.6467	-8.67E-05	6213.379	0.00001	0.00011		6219.5	0.000354	0.000342	
10.2	4.26765	0.00025	-1.73704	-0.00009	-1.6381	-8.63E-05	6225.586	0.00002	0.00015		6231.7	0.000343	0.000349	
10.22	4.07982	0.00051	-1.7291	-0.00009	-1.6297	-8.56E-05	6237.793	0.00001	0.00019		6243.9	0.000331	0.0002	
10.24	3.83535	0.00001	-1.72166	-0.00009	-1.6218	-8.50E-05	6250	0.00001	0.00018		6256.1	0.000335	0.000141	
10.26	3.60207	0.00095	-1.71468	-0.00008	-1.6144	-8.41E-05	6262.207	0.00001	0.00013		6268.3	0.000345	0.000305	
10.28	3.33033	-0.0005	-1.70824	-0.00008	-1.6074	-8.36E-05	6274.414	0.00001	0.00008		6280.5	0.000344	0.00036	
10.3	2.95501	0.00036	-1.70255	-0.00008	-1.6011	-8.38E-05	6286.621	0.00001	0.00009		6292.8	0.000334	0.000267	
10.32	2.6381	0.00052	-1.6975	-0.00008	-1.5955	-8.29E-05	6298.828	0.00001	0.00012		6305	0.00033	0.000127	
10.34	2.53401	-0.00004	-1.69266	-0.00008	-1.5904	-8.24E-05	6311.035	0.00001	0.00012		6317.2	0.000339	0.000209	
10.36	2.36949	0.00103	-1.68814	-0.00008	-1.5855	-8.14E-05	6323.242	0.00001	0.00009		6329.4	0.000349	0.000312	
10.38	2.18171	-0.00075	-1.68401	-0.00008	-1.5809	-8.11E-05	6335.449	0.00002	0.00006		6341.6	0.000345	0.000316	
10.4	2.22673	0.00001	-1.67978	-0.00008	-1.5765	-8.19E-05	6347.656	0.00002	0.00005		6353.9	0.00033	0.000256	
10.42	2.32025	0.00175	-1.67536	-0.00008	-1.572	-8.01E-05	6359.863	0.00001	0.00006		6366.1	0.000323	0.000228	
10.44	2.20723	-0.00138	-1.67117	-0.00008	-1.5674	-7.98E-05	6372.07	0.00001	0.00005		6378.3	0.000332	0.000263	
10.46	2.16144	0.00101	-1.66707	-0.00008	-1.5631	-8.01E-05	6384.277	0.00001	0.00003		6390.5	0.000342	0.000298	
10.48	2.23446	0.00062	-1.66283	-0.00008	-1.5587	-7.85E-05	6396.484	0.00001	0.00002		6402.7	0.000337	0.00029	
10.5	2.30803	-0.00032	-1.65844	-0.00008	-1.5541	-7.82E-05	6408.691	0.00001	0.00004		6415	0.000326	0.000227	
10.52	2.37755	0.00078	-1.65391	-0.00008	-1.5494	-7.77E-05	6420.898	0.00001	0.00005		6427.2	0.00033	0.000167	
10.54	2.43353	-0.00073	-1.64926	-0.00008	-1.5446	-7.77E-05	6433.105	0.00001	0.00006		6439.4	0.000343	0.000239	
10.56	2.42273	0.00038	-1.64464	-0.00008	-1.5398	-7.80E-05	6445.313	0.00002	0.00006		6451.6	0.00034	0.000338	
10.58	2.31015	0.00054	-1.64025	-0.00008	-1.535	-7.71E-05	6457.52	0.00002	0.00009		6463.8	0.000321	0.000335	
10.6	2.29442	-0.00003	-1.63588	-0.00008	-1.5304	-7.66E-05	6469.727	0.00001	0.00015		6476.1	0.000316	0.000202	
10.62	2.30767	0.00048	-1.63149	-0.00008	-1.5258	-7.62E-05	6481.934	0.00001	0.00021		6488.3	0.000334	0.00013	
10.64	2.20453	-0.00005	-1.62731	-0.00008	-1.5213	-7.57E-05	6494.141	0.00001	0.00023		6500.5	0.000345	0.000322	
10.66	2.10332	-0.00029	-1.62332	-0.00008	-1.517	-7.61E-05	6506.348	0.00002	0.00019		6512.7	0.000333	0.000423	
10.68	2.10061	0.00088	-1.61935	-0.00008	-1.5128	-7.55E-05	6518.555	0.00001	0.00011		6524.9	0.000317	0.000343	
10.7	2.15854	-0.00027	-1.61525	-0.00008	-1.5086	-7.49E-05	6530.762	0.00001	0.00007		6537.1	0.000325	0.000132	
10.72	2.20967	0.0007	-1.61106	-0.00007	-1.5042	-7.44E-05	6542.969	0.00001	0.00012		6549.4	0.000336	0.000236	
10.74	2.21086	0.00042	-1.60686	-0.00007	-1.4998	-7.33E-05	6555.176	0.00002	0.00017		6561.6	0.000328	0.000431	
10.76	2.21785	-0.00008	-1.60265	-0.00007	-1.4953	-7.30E-05	6567.383	0.00001	0.00017		6573.8	0.000312	0.000441	
10.78	2.3697	0.00021	-1.59814	-0.00007	-1.4908	-7.28E-05	6579.59	0.00001	0.00014		6586	0.000318	0.000254	
10.8	2.71273	0.00021	-1.59294	-0.00007	-1.4857	-7.24E-05	6591.797	0.00001	0.00013		6598.2	0.000334	0.000113	
10.82	2.97445	0.00007	-1.58721	-0.00007	-1.48	-7.21E-05	6604.004	0.00002	0.00014		6610.5	0.000329	0.000354	
10.84	3.11678	-0.00016	-1.5812	-0.00007	-1.4739	-7.22E-05	6616.211	0.00002	0.00015		6622.7	0.000308	0.000459	
10.86	3.35529	0.0008	-1.57472	-0.00007	-1.4674	-7.16E-05	6628.418	0.00001	0.00013		6634.9	0.000307	0.000358	
10.88	3.70804	-0.00002	-1.56752	-0.00007	-1.4604	-7.08E-05	6640.625	0.00001	0.00012		6647.1	0.000328	0.000158	
10.9	4.05806	0.00023	-1.55963	-0.00007	-1.4526	-7.06E-05	6652.832	0.00001	0.00014		6659.3	0.000335	0.00027	
10.92	4.32509	0.00086	-1.55121	-0.00007	-1.4442	-6.95E-05	6665.039	0.00002	0.00016		6671.6	0.000315	0.000416	
10.94	4.56339	0.00016	-1.5423	-0.00007	-1.4353	-6.85E-05	6677.246	0.00001	0.00015		6683.8	0.000303	0.000375	
10.96	4.72795	-0.00011	-1.53307	-0.00007	-1.426	-6.84E-05	6689.453	0.00001	0.00013		6696	0.000319	0.00018	

10.98	4.84351	0.00076	-1.52361	-0.00007	-1.4165	-6.78E-05	6701.66	0.00001	0.00012		6708.2	0.000336	0.00019	
11	4.9398	-0.00018	-1.51396	-0.00007	-1.4067	-6.72E-05	6713.867	0.00001	0.00015		6720.4	0.000329	0.000372	
11.02	4.91666	-0.0002	-1.50435	-0.00007	-1.3968	-6.76E-05	6726.074	0.00001	0.00018		6732.6	0.000315	0.000392	
11.04	4.78486	0.00058	-1.495	-0.00007	-1.3871	-6.72E-05	6738.281	0.00001	0.00019		6744.9	0.000316	0.000232	
11.06	4.65191	-0.00068	-1.48592	-0.00007	-1.3777	-6.73E-05	6750.488	0.00001	0.00018		6757.1	0.000319	0.000102	
11.08	4.52538	-0.00022	-1.4771	-0.00007	-1.3685	-6.82E-05	6762.695	0.00001	0.00016		6769.3	0.00031	0.000304	
11.1	4.34462	0.00118	-1.46863	-0.00007	-1.3596	-6.73E-05	6774.902	0.00001	0.00015		6781.5	0.000303	0.000395	
11.12	4.08395	-0.00088	-1.46069	-0.00007	-1.3512	-6.70E-05	6787.109	0.00001	0.00014		6793.7	0.000316	0.000317	
11.14	3.90209	0.00035	-1.45311	-0.00007	-1.3432	-6.75E-05	6799.316	0.00001	0.00011		6806	0.00033	0.000162	
11.16	3.85475	0.00078	-1.44562	-0.00007	-1.3355	-6.64E-05	6811.523	0.00002	0.00008		6818.2	0.000319	0.00022	
11.18	3.84474	-0.00013	-1.43816	-0.00007	-1.3278	-6.57E-05	6823.73	0.00002	0.00008		6830.4	0.000298	0.000333	
11.2	3.75454	0.00025	-1.43087	-0.00007	-1.3202	-6.56E-05	6835.938	0.00001	0.0001		6842.6	0.000299	0.000321	
11.22	3.54813	-0.00026	-1.424	-0.00007	-1.3129	-6.56E-05	6848.145	0.00001	0.00012		6854.8	0.000317	0.000212	
11.24	3.5307	0.00032	-1.41716	-0.00007	-1.3058	-6.55E-05	6860.352	0.00001	0.00013		6867.1	0.000319	0.000185	
11.26	3.5547	0.00011	-1.41028	-0.00007	-1.2987	-6.51E-05	6872.559	0.00001	0.00013		6879.3	0.000307	0.000289	
11.28	3.53446	0.00015	-1.40343	-0.00007	-1.2916	-6.48E-05	6884.766	0.00001	0.00012		6891.5	0.000307	0.000343	
11.3	3.5245	0.00015	-1.39661	-0.00006	-1.2845	-6.45E-05	6896.973	0.00001	0.0001		6903.7	0.00032	0.000309	
11.32	3.57147	0.00015	-1.38969	-0.00006	-1.2774	-6.42E-05	6909.18	0.00001	0.00008		6915.9	0.00032	0.000217	
11.34	3.55956	0.00045	-1.3828	-0.00006	-1.2703	-6.36E-05	6921.387	0.00001	0.00007		6928.2	0.000305	0.000163	
11.36	3.44443	-0.00046	-1.37613	-0.00006	-1.2633	-6.37E-05	6933.594	0.00001	0.00007		6940.4	0.000301	0.000238	
11.38	3.43639	0.00008	-1.36948	-0.00006	-1.2564	-6.40E-05	6945.801	0.00001	0.00008		6952.6	0.000313	0.000326	
11.4	3.44191	0.00003	-1.36283	-0.00006	-1.2496	-6.39E-05	6958.008	0.00001	0.00009		6964.8	0.000313	0.00033	
11.42	3.3575	-0.00024	-1.35633	-0.00006	-1.2428	-6.41E-05	6970.215	0.00002	0.00009		6977	0.000296	0.000228	
11.44	3.20971	0.00007	-1.35014	-0.00006	-1.2362	-6.43E-05	6982.422	0.00001	0.00011		6989.2	0.00029	0.000159	
11.46	3.08411	-0.00061	-1.34442	-0.00007	-1.2299	-6.48E-05	6994.629	0.00001	0.00013		7001.5	0.000307	0.000317	
11.48	2.92467	0.00084	-1.33857	-0.00006	-1.2239	-6.46E-05	7006.836	0.00001	0.00015		7013.7	0.000318	0.00043	
11.5	2.74274	0.00096	-1.33331	-0.00006	-1.2182	-6.28E-05	7019.043	0.00001	0.00015		7025.9	0.000305	0.000371	
11.52	2.67416	-0.00107	-1.32819	-0.00006	-1.2128	-6.29E-05	7031.25	0.00001	0.00016		7038.1	0.000295	0.000138	
11.54	2.60811	0.00096	-1.32319	-0.00006	-1.2075	-6.30E-05	7043.457	0.00001	0.00017		7050.3	0.000308	0.000182	
11.56	2.51917	-0.00088	-1.31838	-0.00006	-1.2024	-6.30E-05	7055.664	0.00001	0.0002		7062.6	0.000317	0.000439	
11.58	2.63016	0.0003	-1.31334	-0.00006	-1.1972	-6.35E-05	7067.871	0.00001	0.00022		7074.8	0.000303	0.000508	
11.6	2.82428	0.0005	-1.30792	-0.00006	-1.1918	-6.27E-05	7080.078	0.00001	0.00023		7087	0.000288	0.000344	
11.62	3.03746	-0.00073	-1.30207	-0.00006	-1.1859	-6.30E-05	7092.285	0.00001	0.00024		7099.2	0.000302	6.23E-05	
11.64	3.24862	0.00022	-1.2958	-0.00006	-1.1796	-6.35E-05	7104.492	0.00001	0.00027		7111.4	0.00032	0.000352	
11.66	3.51526	0.00014	-1.28899	-0.00006	-1.1729	-6.31E-05	7116.699	0.00002	0.00031		7123.7	0.00031	0.00055	
11.68	3.78632	-0.00038	-1.28164	-0.00006	-1.1656	-6.34E-05	7128.906	0.00002	0.00032		7135.9	0.000285	0.000505	
11.7	4.06606	0.00076	-1.27374	-0.00006	-1.1577	-6.30E-05	7141.113	0.00001	0.00031		7148.1	0.000287	0.000261	
11.72	4.33274	-0.00013	-1.26529	-0.00006	-1.1493	-6.23E-05	7153.32	0.00001	0.00028		7160.3	0.000311	0.000261	
11.74	4.48001	-0.00033	-1.25656	-0.00006	-1.1405	-6.28E-05	7165.527	0.00001	0.00027		7172.5	0.000316	0.00052	
11.76	4.52216	0.00031	-1.24774	-0.00006	-1.1315	-6.28E-05	7177.734	0.00001	0.00027		7184.8	0.000298	0.000586	
11.78	4.55338	-0.0004	-1.23886	-0.00006	-1.1224	-6.29E-05	7189.941	0.00001	0.00027		7197	0.00029	0.000403	
11.8	4.6494	-0.00047	-1.22978	-0.00006	-1.1132	-6.38E-05	7202.148	0.00001	0.00027		7209.2	0.000301	0.000178	
11.82	4.73221	0.00007	-1.22054	-0.00006	-1.1038	-6.42E-05	7214.355	0.00001	0.00028		7221.4	0.000302	0.000432	
11.84	4.72769	-0.00009	-1.21131	-0.00006	-1.0944	-6.42E-05	7226.563	0.00001	0.00031		7233.6	0.000287	0.000634	
11.86	4.70208	-0.00013	-1.20213	-0.00007	-1.085	-6.44E-05	7238.77	0.00001	0.00034		7245.8	0.000284	0.00059	
11.88	4.66598	0.00002	-1.19302	-0.00006	-1.0756	-6.45E-05	7250.977	0.00001	0.00032		7258.1	0.000305	0.000333	
11.9	4.61295	0.00032	-1.18402	-0.00006	-1.0663	-6.42E-05	7263.184	0.00001	0.00028		7270.3	0.000314	0.000194	
11.92	4.57367	0.00061	-1.1751	-0.00006	-1.0571	-6.33E-05	7275.391	0.00002	0.00022		7282.5	0.000295	0.00044	

11.94	4.53311	-0.00092	-1.16626	-0.00006	-1.048	-6.36E-05	7287.598	0.00001	0.00019		7294.7	0.000279	0.000545	
11.96	4.48835	-0.00017	-1.15751	-0.00007	-1.039	-6.47E-05	7299.805	0.00001	0.00019		7306.9	0.000294	0.000427	
11.98	4.53368	0.0003	-1.14866	-0.00006	-1.03	-6.45E-05	7312.012	0.00001	0.00019		7319.2	0.000311	0.000156	
12	4.63996	-0.00109	-1.13961	-0.00007	-1.0208	-6.53E-05	7324.219	0.00002	0.00019		7331.4	0.000301	0.00019	
12.02	4.69423	0.00043	-1.13044	-0.00007	-1.0115	-6.60E-05	7336.426	0.00002	0.00019		7343.6	0.000278	0.000395	
12.04	4.69321	0.00049	-1.12128	-0.00007	-1.0021	-6.51E-05	7348.633	0.00001	0.00019		7355.8	0.000281	0.00043	
12.06	4.65005	-0.00069	-1.11221	-0.00007	-0.99273	-6.53E-05	7360.84	0.00001	0.0002		7368	0.000301	0.00029	
12.08	4.60451	-0.00047	-1.10322	-0.00007	-0.98348	-6.64E-05	7373.047	0.00001	0.00019		7380.3	0.000302	4.35E-05	
12.1	4.58372	0.00001	-1.09428	-0.00007	-0.97429	-6.69E-05	7385.254	0.00001	0.00017		7392.5	0.000285	0.000212	
12.12	4.56468	0.00038	-1.08537	-0.00007	-0.96514	-6.65E-05	7397.461	0.00001	0.00015		7404.7	0.000281	0.000378	
12.14	4.47826	-0.00037	-1.07664	-0.00007	-0.9561	-6.65E-05	7409.668	0.00001	0.00014		7416.9	0.000295	0.000397	
12.16	4.36784	0.00011	-1.06813	-0.00007	-0.94725	-6.67E-05	7421.875	0.00001	0.00014		7429.1	0.0003	0.000265	
12.18	4.30985	-0.0005	-1.05973	-0.00007	-0.93858	-6.71E-05	7434.082	0.00001	0.00014		7441.3	0.000286	3.54E-05	
12.2	4.27242	0.0002	-1.05141	-0.00007	-0.92999	-6.74E-05	7446.289	0.00001	0.00013		7453.6	0.000278	0.000225	
12.22	4.18298	-0.0004	-1.04327	-0.00007	-0.92154	-6.76E-05	7458.496	0.00001	0.00013		7465.8	0.00029	0.000385	
12.24	4.07348	0.00015	-1.03535	-0.00007	-0.91328	-6.79E-05	7470.703	0.00001	0.00013		7478	0.0003	0.000385	
12.26	3.97806	0.00033	-1.02762	-0.00007	-0.90523	-6.74E-05	7482.91	0.00001	0.00013		7490.2	0.000291	0.000216	
12.28	3.96152	-0.00091	-1.01992	-0.00007	-0.89729	-6.80E-05	7495.117	0.00001	0.00014		7502.4	0.000277	7.24E-05	
12.3	3.87321	0.00039	-1.0124	-0.00007	-0.88946	-6.85E-05	7507.324	0.00001	0.00015		7514.7	0.000279	0.000317	
12.32	3.71678	-0.00023	-1.00519	-0.00007	-0.88187	-6.83E-05	7519.531	0.00001	0.00015		7526.9	0.000289	0.000435	
12.34	3.50682	-0.00053	-0.9984	-0.00007	-0.87464	-6.91E-05	7531.738	0.00001	0.00015		7539.1	0.000288	0.000359	
12.36	3.40864	0.00039	-0.99181	-0.00007	-0.86773	-6.92E-05	7543.945	0.00001	0.00012		7551.3	0.000278	0.000121	
12.38	3.42852	-0.0008	-0.98517	-0.00007	-0.86089	-6.97E-05	7556.152	0.00001	0.00011		7563.5	0.000273	0.000184	
12.4	3.43459	0.00037	-0.97853	-0.00007	-0.85403	-7.01E-05	7568.359	0.00001	0.00014		7575.8	0.000276	0.000399	
12.42	3.47207	-0.00037	-0.97181	-0.00007	-0.84712	-7.01E-05	7580.566	0.00001	0.00018		7588	0.000279	0.000437	
12.44	3.58326	-0.00055	-0.96487	-0.00007	-0.84007	-7.10E-05	7592.773	0	0.0002		7600.2	0.000283	0.000285	
12.46	3.76797	0.00153	-0.95756	-0.00007	-0.83271	-7.00E-05	7604.98	0	0.00016		7612.4	0.000289	2.27E-05	
12.48	3.97445	-0.00164	-0.94983	-0.00007	-0.82497	-7.01E-05	7617.188	0	0.0001		7624.6	0.00029	0.00022	
12.5	4.28269	0.0003	-0.94149	-0.00007	-0.81671	-7.15E-05	7629.395	0.00001	0.00007		7636.9	0.000284	0.000325	
12.52	4.56438	0.00014	-0.93259	-0.00007	-0.80787	-7.10E-05	7641.602	0	0.00009		7649.1	0.000281	0.00025	
12.54	4.72999	-0.00089	-0.92335	-0.00007	-0.79857	-7.18E-05	7653.809	0	0.0001		7661.3	0.000286	5.01E-05	
12.56	4.87534	0.00077	-0.91382	-0.00007	-0.78897	-7.19E-05	7666.016	0.00001	0.00008		7673.5	0.000288	0.000192	
12.58	4.99165	-0.00015	-0.90407	-0.00007	-0.7791	-7.13E-05	7678.223	0.00001	0.00005		7685.7	0.000281	0.000321	
12.6	5.03972	-0.00071	-0.89421	-0.00007	-0.76907	-7.21E-05	7690.43	0.00001	0.00006		7697.9	0.000274	0.000289	
12.62	5.02745	0.00051	-0.88438	-0.00007	-0.759	-7.23E-05	7702.637	0	0.00008		7710.2	0.000281	0.000133	
12.64	4.95457	-0.00017	-0.8747	-0.00007	-0.74902	-7.20E-05	7714.844	0.00001	0.00008		7722.4	0.000291	0.000144	
12.66	4.85667	0.00016	-0.86521	-0.00007	-0.73921	-7.20E-05	7727.051	0.00001	0.00007		7734.6	0.000288	0.000281	
12.68	4.73991	-0.00043	-0.85595	-0.00007	-0.72961	-7.23E-05	7739.258	0.00001	0.00007		7746.8	0.000273	0.00029	
12.7	4.72132	-0.00025	-0.84673	-0.00007	-0.72015	-7.30E-05	7751.465	0.00001	0.00008		7759	0.000266	0.000173	
12.72	4.70758	-0.00001	-0.83754	-0.00007	-0.71072	-7.32E-05	7763.672	0.00001	0.00007		7771.3	0.000272	0.000124	
12.74	4.68992	-0.00056	-0.82839	-0.00007	-0.70132	-7.38E-05	7775.879	0.00001	0.00005		7783.5	0.000275	0.000255	
12.76	4.67957	-0.00013	-0.81925	-0.00008	-0.69196	-7.45E-05	7788.086	0.00001	0.00005		7795.7	0.00027	0.000303	
12.78	4.7166	0.00016	-0.81004	-0.00007	-0.68256	-7.45E-05	7800.293	0.00001	0.00007		7807.9	0.000269	0.000238	
12.8	4.85497	-0.00046	-0.80056	-0.00008	-0.67299	-7.48E-05	7812.5	0	0.00009		7820.1	0.000275	0.00016	
12.82	5.0524	-0.00013	-0.79068	-0.00008	-0.66308	-7.53E-05	7824.707	0	0.00008		7832.4	0.000277	0.000217	
12.84	5.23671	0.00004	-0.78043	-0.00008	-0.65279	-7.54E-05	7836.914	0.00001	0.00005		7844.6	0.000269	0.000278	
12.86	5.3151	-0.00019	-0.77002	-0.00008	-0.64224	-7.56E-05	7849.121	0.00001	0.00003		7856.8	0.000264	0.00026	
12.88	5.34385	-0.00001	-0.75956	-0.00008	-0.63158	-7.59E-05	7861.328	0.00001	0.00002		7869	0.000272	0.000196	

12.9	5.39491	-0.00001	-0.74899	-0.00008	-0.62084	-7.60E-05	7873.535	0.00001	0.00003		7881.2	0.000283	0.000169	
12.92	5.41867	-0.00056	-0.73838	-0.00008	-0.61003	-7.66E-05	7885.742	0.00001	0.00002		7893.5	0.000285	0.000192	
12.94	5.32797	0.00009	-0.72795	-0.00008	-0.59928	-7.70E-05	7897.949	0.00001	0.00003		7905.7	0.000278	0.000216	
12.96	5.15484	-0.00023	-0.71787	-0.00008	-0.58888	-7.72E-05	7910.156	0	0.00005		7917.9	0.000273	0.000235	
12.98	4.98971	-0.0004	-0.70811	-0.00008	-0.57865	-7.78E-05	7922.363	0	0.00006		7930.1	0.000274	0.000237	
13	4.78632	-0.00041	-0.69876	-0.00008	-0.56888	-7.86E-05	7934.57	0	0.00005		7942.3	0.000277	0.000202	
13.02	4.62942	0.00024	-0.68973	-0.00008	-0.55946	-7.88E-05	7946.777	0.00001	0.00004		7954.5	0.000275	0.00016	
13.04	4.55422	-0.00042	-0.68084	-0.00008	-0.55028	-7.90E-05	7958.984	0.00001	0.00002		7966.8	0.000271	0.000182	
13.06	4.45487	-0.00039	-0.67216	-0.00008	-0.54127	-7.98E-05	7971.191	0.00001	0.00002		7979	0.000266	0.000214	
13.08	4.30245	-0.00018	-0.66378	-0.00008	-0.53251	-8.03E-05	7983.398	0.00001	0.00001		7991.2	0.000264	0.000189	
13.1	4.1577	-0.00018	-0.65569	-0.00008	-0.52405	-8.07E-05	7995.605	0.00001	0.00002		8003.4	0.000266	0.000162	
13.12	4.10524	0.00031	-0.6477	-0.00008	-0.51579	-8.06E-05	8007.813	0	0.00004		8015.6	0.000267	0.000234	
13.14	4.08878	-0.00044	-0.63975	-0.00008	-0.5076	-8.07E-05	8020.02	0	0.00007		8027.9	0.000266	0.000298	
13.16	4.0294	-0.00019	-0.63191	-0.00008	-0.49948	-8.13E-05	8032.227	0	0.00008		8040.1	0.000266	0.000257	
13.18	3.90128	0.00031	-0.62434	-0.00008	-0.49155	-8.12E-05	8044.434	0	0.00007		8052.3	0.00027	0.000118	
13.2	3.7367	-0.00073	-0.61709	-0.00008	-0.48391	-8.16E-05	8056.641	0	0.00005		8064.5	0.000273	0.000141	
13.22	3.64172	0.00006	-0.61003	-0.00008	-0.47653	-8.23E-05	8068.848	0	0.00005		8076.7	0.000269	0.000284	
13.24	3.61101	0.00029	-0.60303	-0.00008	-0.46928	-8.19E-05	8081.055	0	0.00007		8089	0.000262	0.000309	
13.26	3.65354	-0.00086	-0.59595	-0.00008	-0.46201	-8.25E-05	8093.262	0.00001	0.00008		8101.2	0.000266	0.000194	
13.28	3.75536	0.0001	-0.58866	-0.00008	-0.45446	-8.33E-05	8105.469	0.00001	0.00008		8113.4	0.000279	9.51E-05	
13.3	3.84855	-0.00067	-0.58119	-0.00008	-0.447	-8.38E-05	8117.676	0.00001	0.00006		8125.6	0.000283	0.000253	
13.32	3.94068	0.00007	-0.57353	-0.00008	-0.43921	-8.44E-05	8129.883	0.00001	0.00005		8137.8	0.000273	0.000335	
13.34	4.09937	-0.00018	-0.56556	-0.00009	-0.43117	-8.46E-05	8142.09	0.00001	0.00007		8150	0.000263	0.000268	
13.36	4.27764	-0.00051	-0.55723	-0.00009	-0.42279	-8.52E-05	8154.297	0	0.00008		8162.3	0.000267	0.000115	
13.38	4.3733	0.00021	-0.5487	-0.00009	-0.41414	-8.55E-05	8166.504	0	0.00008		8174.5	0.000273	0.000181	
13.4	4.37794	-0.0006	-0.54017	-0.00009	-0.40539	-8.59E-05	8178.711	0.00001	0.00008		8186.7	0.000269	0.000296	
13.42	4.3168	-0.00029	-0.53176	-0.00009	-0.3967	-8.68E-05	8190.918	0.00001	0.00008		8198.9	0.00026	0.00028	
13.44	4.23993	0.00026	-0.52351	-0.00009	-0.38814	-8.69E-05	8203.125	0	0.00008		8211.1	0.000261	0.000159	
13.46	4.11018	-0.00018	-0.51551	-0.00009	-0.37979	-8.68E-05	8215.332	0	0.00008		8223.4	0.000269	0.000151	
13.48	4.00784	-0.00035	-0.50772	-0.00009	-0.37167	-8.73E-05	8227.539	0.00001	0.00007		8235.6	0.000267	0.000255	
13.5	3.89883	-0.00029	-0.50015	-0.00009	-0.36377	-8.79E-05	8239.746	0.00001	0.00006		8247.8	0.000258	0.000254	
13.52	3.77793	-0.00014	-0.49282	-0.00009	-0.35609	-8.84E-05	8251.953	0	0.00008		8260	0.000257	0.00014	
13.54	3.81738	-0.00022	-0.48541	-0.00009	-0.34849	-8.87E-05	8264.16	0	0.0001		8272.2	0.000266	0.000133	
13.56	3.95205	-0.00011	-0.47773	-0.00009	-0.34072	-8.91E-05	8276.367	0	0.0001		8284.5	0.000269	0.000265	
13.58	4.09186	0.00005	-0.46977	-0.00009	-0.33268	-8.91E-05	8288.574	0	0.00009		8296.7	0.000261	0.000298	
13.6	4.09476	0.00002	-0.4618	-0.00009	-0.32449	-8.91E-05	8300.781	0	0.00006		8308.9	0.000257	0.000203	
13.62	4.20729	-0.00048	-0.45361	-0.00009	-0.31619	-8.95E-05	8312.988	0	0.00005		8321.1	0.000265	0.000103	
13.64	4.46659	-0.00041	-0.44449	-0.00009	-0.30752	-9.04E-05	8325.195	0.00001	0.00005		8333.3	0.000271	0.00021	
13.66	4.65869	0.00025	-0.43581	-0.00009	-0.29839	-9.06E-05	8337.402	0.00001	0.00006		8345.6	0.000264	0.000275	
13.68	4.81047	-0.00031	-0.42641	-0.00009	-0.28892	-9.06E-05	8349.609	0.00001	0.00007		8357.8	0.000254	0.000221	
13.7	4.95028	0.00027	-0.41674	-0.00009	-0.27916	-9.07E-05	8361.816	0	0.00007		8370	0.000257	0.000116	
13.72	5.09728	0.00038	-0.40677	-0.00009	-0.26911	-9.00E-05	8374.023	0	0.00006		8382.2	0.000266	0.000172	
13.74	5.16711	-0.00065	-0.39666	-0.00009	-0.25885	-9.03E-05	8386.23	0.00001	0.00006		8394.4	0.000264	0.000251	
13.76	5.09935	0.00055	-0.38668	-0.00009	-0.24858	-9.04E-05	8398.438	0.00001	0.00007		8406.6	0.000254	0.000237	
13.78	5.01105	-0.00108	-0.37689	-0.00009	-0.23847	-9.09E-05	8410.645	0.00001	0.00008		8418.9	0.00025	0.000165	
13.8	4.90272	0.00036	-0.3673	-0.00009	-0.22856	-9.16E-05	8422.852	0	0.00007		8431.1	0.000258	0.000158	
13.82	4.74826	0.00045	-0.35803	-0.00009	-0.21891	-9.08E-05	8435.059	0	0.00005		8443.3	0.000262	0.000199	
13.84	4.55684	-0.00124	-0.34914	-0.00009	-0.2096	-9.16E-05	8447.266	0	0.00004		8455.5	0.000257	0.000186	

13.86	4.30713	0.00049	-0.34075	-0.00009	-0.20074	-9.24E-05	8459.473	0	0.00006		8467.7	0.000252	0.000153	
13.88	4.14345	-0.00056	-0.33269	-0.00009	-0.19229	-9.24E-05	8471.68	0	0.00008		8480	0.000256	0.000192	
13.9	4.01955	0.00012	-0.32488	-0.00009	-0.18413	-9.29E-05	8483.887	0	0.00007		8492.2	0.000262	0.000237	
13.92	3.91361	0.00002	-0.31727	-0.00009	-0.17619	-9.27E-05	8496.094	0	0.00006		8504.4	0.00026	0.000221	
13.94	3.86802	-0.00099	-0.30976	-0.0001	-0.16841	-9.37E-05	8508.301	0.00001	0.00004		8516.6	0.000253	0.000186	
13.96	3.86951	0.00032	-0.30225	-0.00009	-0.16067	-9.44E-05	8520.508	0	0.00003		8528.8	0.000251	0.000215	
13.98	3.85932	-0.00028	-0.29475	-0.0001	-0.15294	-9.43E-05	8532.715	0	0.00002		8541.1	0.000256	0.000252	
14	3.81004	0	-0.28736	-0.0001	-0.14528	-9.46E-05	8544.922	0	0.00002		8553.3	0.000259	0.000221	
14.02	3.77311	0.00008	-0.28004	-0.00009	-0.13769	-9.45E-05	8557.129	0.00001	0.00004		8565.5	0.000257	0.000158	
14.04	3.74139	-0.00029	-0.27278	-0.0001	-0.13018	-9.47E-05	8569.336	0.00001	0.00006		8577.7	0.000253	0.000188	
14.06	3.62075	0.00016	-0.26576	-0.00001	-0.12282	-9.49E-05	8581.543	0.00001	0.00006		8589.9	0.000253	0.000246	
14.08	3.66286	-0.00018	-0.25866	-0.0001	-0.11553	-9.49E-05	8593.75	0.00001	0.00004		8602.2	0.000255	0.000227	
14.1	3.80945	0.00004	-0.25127	-0.0001	-0.10806	-9.50E-05	8605.957	0.00001	0.00003		8614.4	0.000254	0.000148	
14.12	3.87041	0.00057	-0.24375	-0.00009	-0.10038	-9.44E-05	8618.164	0.00001	0.00004		8626.6	0.000249	0.000157	
14.14	3.90151	-0.00064	-0.23617	-0.0001	-0.09261	-9.45E-05	8630.371	0.00001	0.00004		8638.8	0.000246	0.000228	
14.16	3.94622	0.00006	-0.2285	-0.0001	-0.08476	-9.51E-05	8642.578	0	0.00003		8651	0.000249	0.000224	
14.18	4.12595	0.00043	-0.22047	-0.00009	-0.07669	-9.46E-05	8654.785	0	0.00005		8663.2	0.000255	0.000155	
14.2	4.17857	-0.00035	-0.21234	-0.0001	-0.06838	-9.45E-05	8666.992	0	0.0001		8675.5	0.000255	0.000181	
14.22	4.15782	-0.00045	-0.20425	-0.0001	-0.06005	-9.53E-05	8679.199	0	0.00015		8687.7	0.000249	0.000276	
14.24	4.04541	0.00009	-0.19638	-0.0001	-0.05184	-9.57E-05	8691.406	0	0.00017		8699.9	0.000246	0.000295	
14.26	3.87051	0.00047	-0.18887	-0.0001	-0.04393	-9.51E-05	8703.613	0	0.00016		8712.1	0.000251	0.000217	
14.28	3.7753	-0.00057	-0.18154	-0.0001	-0.03628	-9.52E-05	8715.82	0	0.00011		8724.3	0.000254	0.000148	
14.3	3.66688	0.00032	-0.17443	-0.0001	-0.02884	-9.55E-05	8728.027	0	0.00006		8736.6	0.000248	0.000202	
14.32	3.49952	-0.00084	-0.16766	-0.0001	-0.02167	-9.60E-05	8740.234	0	0.00004		8748.8	0.000242	0.000226	
14.34	3.24713	0	-0.16139	-0.0001	-0.01493	-9.68E-05	8752.441	0	0.00004		8761	0.000246	0.000153	
14.36	3.17232	0.00073	-0.15527	-0.0001	-0.00851	-9.61E-05	8764.648	0	0.00005		8773.2	0.000253	9.67E-05	
14.38	3.26894	-0.00014	-0.14895	-0.0001	-0.00207	-9.55E-05	8776.855	0.00001	0.00005		8785.4	0.000251	0.000198	
14.4	3.33902	-0.00057	-0.1425	-0.0001	0.004542	-9.62E-05	8789.063	0.00001	0.00004		8797.7	0.00024	0.00024	
14.42	3.47445	0.00063	-0.13578	-0.0001	0.011355	-9.61E-05	8801.27	0.00001	0.00003		8809.9	0.000236	0.000168	
14.44	3.6832	-0.00034	-0.12863	-0.0001	0.018513	-9.59E-05	8813.477	0	0.00002		8822.1	0.000246	9.57E-05	
14.46	3.91587	-0.00046	-0.12103	-0.0001	0.026112	-9.67E-05	8825.684	0	0.00005		8834.3	0.000252	0.000225	
14.48	4.11605	0.00075	-0.11302	-0.0001	0.034144	-9.64E-05	8837.891	0	0.00008		8846.5	0.000246	0.000305	
14.5	4.34039	-0.00028	-0.10456	-0.0001	0.0426	-9.59E-05	8850.098	0	0.00008		8858.7	0.000241	0.000258	
14.52	4.53482	0.00012	-0.09572	-0.0001	0.051476	-9.61E-05	8862.305	0	0.00006		8871	0.000248	0.000143	
14.54	4.55642	0.00003	-0.08683	-0.0001	0.060567	-9.59E-05	8874.512	0	0.00005		8883.2	0.000254	0.000201	
14.56	4.5223	-0.00102	-0.07801	-0.0001	0.069646	-9.69E-05	8886.719	0	0.00006		8895.4	0.000248	0.000308	
14.58	4.42839	0.00098	-0.06938	-0.0001	0.078596	-9.69E-05	8898.926	0.00001	0.00008		8907.6	0.000239	0.000294	
14.6	4.30518	-0.00046	-0.06099	-0.0001	0.08733	-9.64E-05	8911.133	0.00001	0.00007		8919.8	0.000244	0.000159	
14.62	4.17678	0.00078	-0.05286	-0.0001	0.095812	-9.61E-05	8923.34	0.00001	0.00006		8932.1	0.000259	0.000105	
14.64	3.97262	-0.00007	-0.04514	-0.0001	0.10396	-9.54E-05	8935.547	0.00001	0.00007		8944.3	0.000264	0.000246	
14.66	3.68517	-0.00076	-0.038	-0.0001	0.11162	-9.62E-05	8947.754	0.00001	0.00009		8956.5	0.00025	0.000284	
14.68	3.4184	0.00083	-0.03138	-0.0001	0.11872	-9.61E-05	8959.961	0.00001	0.0001		8968.7	0.000238	0.00019	
14.7	3.33303	-0.00012	-0.02494	-0.0001	0.12547	-9.54E-05	8972.168	0	0.0001		8980.9	0.000245	9.21E-05	
14.72	3.3065	-0.00022	-0.01855	-0.0001	0.13211	-9.58E-05	8984.375	0.00001	0.0001		8993.2	0.000258	0.000218	
14.74	3.28899	0.00076	-0.0122	-0.00009	0.13871	-9.52E-05	8996.582	0.00001	0.0001		9005.4	0.000259	0.000292	
14.76	3.26214	-0.00112	-0.0059	-0.0001	0.14526	-9.56E-05	9008.789	0.00001	0.0001		9017.6	0.000245	0.000244	
14.78	3.21225	0.00088	0.0003	-0.0001	0.15173	-9.58E-05	9020.996	0.00001	0.00008		9029.8	0.000233	0.000134	
14.8	3.22084	0.00019	0.00652	-0.00009	0.15817	-9.48E-05	9033.203	0.00001	0.00005		9042	0.000231	0.00016	

14.82	3.28368	-0.00016	0.01286	-0.0001	0.16467	-9.47E-05	9045.41	0.00001	0.00006		9054.3	0.000233	0.000234	
14.84	3.36542	-0.00019	0.01937	-0.0001	0.17132	-9.51E-05	9057.617	0.00001	0.00008		9066.5	0.000229	0.000215	
14.86	3.31392	-0.00032	0.02577	-0.0001	0.178	-9.56E-05	9069.824	0.00001	0.0001		9078.7	0.000228	0.000134	
14.88	3.16802	0.00033	0.03188	-0.0001	0.18448	-9.56E-05	9082.031	0.00001	0.00011		9090.9	0.000237	0.000155	
14.9	3.04553	-0.00057	0.03775	-0.0001	0.1907	-9.58E-05	9094.238	0	0.00011		9103.1	0.000247	0.000236	
14.92	3.04547	0.00032	0.04361	-0.0001	0.19679	-9.61E-05	9106.445	0	0.0001		9115.3	0.000245	0.000254	
14.94	3.07333	0.0003	0.04954	-0.0001	0.20291	-9.55E-05	9118.652	0.00001	0.00008		9127.6	0.000233	0.000222	
14.96	3.03183	0.00036	0.05538	-0.00009	0.20901	-9.48E-05	9130.859	0.00001	0.00006		9139.8	0.000229	0.000209	
14.98	2.99834	-0.0004	0.06115	-0.0001	0.21504	-9.48E-05	9143.066	0.00001	0.00003		9152	0.000241	0.000214	
15	2.9965	0.00067	0.06692	-0.00009	0.22104	-9.46E-05	9155.273	0.00001	0.00003		9164.2	0.000256	0.000179	
15.02	3.0145	-0.00017	0.07272	-0.00009	0.22705	-9.41E-05	9167.48	0.00001	0.00004		9176.4	0.000257	0.000132	
15.04	3.02361	-0.00029	0.07854	-0.0001	0.23309	-9.45E-05	9179.688	0.00001	0.00004		9188.7	0.000246	0.000174	
15.06	2.96561	0.00006	0.08425	-0.0001	0.23907	-9.48E-05	9191.895	0	0.00002		9200.9	0.000241	0.000224	
15.08	2.82174	-0.0003	0.08967	-0.0001	0.24486	-9.50E-05	9204.102	0	0.00002		9213.1	0.000248	0.000199	
15.1	2.61638	0.00053	0.09468	-0.00009	0.2503	-9.48E-05	9216.309	0.00001	0.00005		9225.3	0.000252	0.000128	
15.12	2.45256	0.0001	0.09936	-0.00009	0.25537	-9.41E-05	9228.516	0.00001	0.00006		9237.5	0.000245	0.000153	
15.14	2.38585	-0.00096	0.10391	-0.0001	0.26021	-9.50E-05	9240.723	0.00001	0.00006		9249.8	0.000236	0.000219	
15.16	2.28807	0.00092	0.10826	-0.00009	0.26488	-9.50E-05	9252.93	0	0.00005		9262	0.00024	0.000207	
15.18	2.14832	0.00037	0.11233	-0.00009	0.26932	-9.37E-05	9265.137	0.00001	0.00003		9274.2	0.000249	0.000118	
15.2	1.97777	-0.00006	0.11606	-0.00009	0.27344	-9.34E-05	9277.344	0.00001	0.00003		9286.4	0.000243	0.000106	
15.22	1.95171	0.00048	0.11974	-0.00009	0.27737	-9.30E-05	9289.551	0.00001	0.00004		9298.6	0.000223	0.000184	
15.24	2.05458	-0.00056	0.12363	-0.00009	0.28138	-9.31E-05	9301.758	0.00001	0.00005		9310.9	0.000214	0.000186	
15.26	2.30202	0.00001	0.128	-0.00009	0.28574	-9.36E-05	9313.965	0.00001	0.00005		9323.1	0.000229	0.000107	
15.28	2.44	0.00031	0.13266	-0.00009	0.29048	-9.33E-05	9326.172	0.00001	0.00004		9335.3	0.000246	0.000109	
15.3	2.5075	0.00019	0.13745	-0.00009	0.29543	-9.28E-05	9338.379	0.00001	0.00005		9347.5	0.000242	0.000203	
15.32	2.93922	0.00046	0.1431	-0.00009	0.30087	-9.22E-05	9350.586	0.00001	0.00006		9359.7	0.000226	0.000218	
15.34	3.23498	0.00036	0.14935	-0.00009	0.30705	-9.14E-05	9362.793	0.00001	0.00006		9371.9	0.000221	0.00014	
15.36	3.26723	-0.0002	0.15566	-0.00009	0.31355	-9.12E-05	9375	0	0.00004		9384.2	0.000232	0.000104	
15.38	3.18695	0.00002	0.16181	-0.00009	0.32	-9.14E-05	9387.207	0	0.00002		9396.4	0.00024	0.000197	
15.4	3.19619	0.00048	0.16798	-0.00009	0.32639	-9.09E-05	9399.414	0.00001	0.00004		9408.6	0.000233	0.000226	
15.42	3.1782	0.00012	0.17411	-0.00009	0.33276	-9.03E-05	9411.621	0.00001	0.00007		9420.8	0.000226	0.000152	
15.44	3.05851	-0.00013	0.18	-0.00009	0.339	-9.03E-05	9423.828	0	0.00009		9433	0.000232	8.84E-05	
15.46	2.97665	0.00008	0.18573	-0.00009	0.34503	-9.03E-05	9436.035	0	0.00009		9445.3	0.00024	0.0002	
15.48	2.84669	-0.00042	0.1912	-0.00009	0.35086	-9.07E-05	9448.242	0.00001	0.00007		9457.5	0.000238	0.000264	
15.5	2.59413	0.00093	0.19616	-0.00009	0.3563	-9.02E-05	9460.449	0.00001	0.00004		9469.7	0.000231	0.000229	
15.52	2.50741	0.00015	0.20095	-0.00009	0.3614	-8.91E-05	9472.656	0.00001	0.00004		9481.9	0.000234	0.000168	
15.54	2.35412	0.00017	0.20544	-0.00009	0.36626	-8.88E-05	9484.863	0	0.00005		9494.1	0.000244	0.000211	
15.56	2.29528	0.00036	0.2098	-0.00009	0.37091	-8.82E-05	9497.07	0.00001	0.00006		9506.4	0.000246	0.00026	
15.58	2.35909	-0.00036	0.2143	-0.00009	0.37556	-8.82E-05	9509.277	0.00001	0.00005		9518.6	0.000237	0.000215	
15.6	2.47229	0.00025	0.21902	-0.00009	0.38039	-8.83E-05	9521.484	0.00001	0.00004		9530.8	0.000229	0.0001	
15.62	2.48221	0.00047	0.22376	-0.00009	0.38535	-8.76E-05	9533.691	0.00001	0.00002		9543	0.00023	0.000139	
15.64	2.31839	-0.00016	0.22817	-0.00009	0.39015	-8.73E-05	9545.898	0	0.00004		9555.2	0.000234	0.000237	
15.66	2.4481	0.00007	0.23284	-0.00009	0.39492	-8.74E-05	9558.105	0.00001	0.00006		9567.4	0.00023	0.00024	
15.68	2.50852	-0.00012	0.23763	-0.00009	0.39987	-8.75E-05	9570.313	0.00001	0.00006		9579.7	0.000221	0.000157	
15.7	2.58489	0.00044	0.24258	-0.00009	0.40497	-8.71E-05	9582.52	0.00001	0.00005		9591.9	0.000217	0.000113	
15.72	2.6933	0.00045	0.24774	-0.00009	0.41024	-8.62E-05	9594.727	0	0.00004		9604.1	0.000222	0.000173	
15.74	2.69436	-0.00035	0.25291	-0.00009	0.41563	-8.61E-05	9606.934	0	0.00005		9616.3	0.000227	0.00018	
15.76	2.60794	0.00069	0.2579	-0.00009	0.42093	-8.58E-05	9619.141	0	0.00006		9628.5	0.000228	0.000116	

15.78	2.44325	-0.00016	0.26256	-0.00009	0.42599	-8.53E-05	9631.348	0	0.00006		9640.8	0.000228	0.000111	
15.8	2.37039	-0.00002	0.26708	-0.00009	0.4308	-8.55E-05	9643.555	0	0.00004		9653	0.000231	0.000182	
15.82	2.39855	0.00003	0.27165	-0.00009	0.43557	-8.54E-05	9655.762	0	0.00002		9665.2	0.000234	0.000197	
15.84	2.24028	0.00009	0.2759	-0.00009	0.44021	-8.53E-05	9667.969	0	0.00003		9677.4	0.000232	0.000152	
15.86	2.16643	0.00037	0.28001	-0.00008	0.44461	-8.49E-05	9680.176	0	0.00004		9689.6	0.000227	0.000146	
15.88	2.11718	-0.00008	0.28402	-0.00009	0.4489	-8.46E-05	9692.383	0	0.00005		9701.9	0.000227	0.000192	
15.9	2.03779	0.00043	0.28787	-0.00008	0.45305	-8.42E-05	9704.59	0	0.00004		9714.1	0.000231	0.000189	
15.92	1.80556	0.00036	0.29126	-0.00008	0.4569	-8.34E-05	9716.797	0	0.00004		9726.3	0.000232	0.000133	
15.94	1.824	0.00034	0.29468	-0.00008	0.46053	-8.27E-05	9729.004	0	0.00005		9738.5	0.000227	0.000148	
15.96	2.22069	0.00028	0.2989	-0.00008	0.46457	-8.21E-05	9741.211	0	0.00005		9750.7	0.000221	0.000214	
15.98	2.00377	-0.00045	0.30268	-0.00008	0.46879	-8.23E-05	9753.418	0	0.00006		9763	0.000222	0.000204	
16	1.65816	0.00032	0.30578	-0.00008	0.47246	-8.24E-05	9765.625	0	0.00006		9775.2	0.000227	9.23E-05	
16.02	1.60925	0.00022	0.30877	-0.00008	0.47572	-8.19E-05	9777.832	0	0.00007		9787.4	0.000228	7.52E-05	
16.04	1.73711	0.00008	0.31202	-0.00008	0.47907	-8.16E-05	9790.039	0.00001	0.00006		9799.6	0.000222	0.000215	
16.06	1.8746	-0.00009	0.31554	-0.00008	0.48268	-8.16E-05	9802.246	0.00001	0.00004		9811.8	0.000221	0.000258	
16.08	2.00132	0.00069	0.31932	-0.00008	0.48656	-8.10E-05	9814.453	0.00001	0.00002		9824	0.000226	0.000193	
16.1	2.01016	0.0006	0.32312	-0.00008	0.49057	-7.97E-05	9826.66	0	0.00002		9836.3	0.000229	0.000116	
16.12	1.81289	-0.00039	0.32652	-0.00008	0.49439	-7.95E-05	9838.867	0	0.00002		9848.5	0.000225	0.000192	
16.14	1.91513	0.00024	0.33013	-0.00008	0.49812	-7.96E-05	9851.074	0	0.00003		9860.7	0.00022	0.000246	
16.16	2.17952	-0.00031	0.33426	-0.00008	0.50221	-7.97E-05	9863.281	0	0.00003		9872.9	0.000222	0.000203	
16.18	2.09058	0.00004	0.33822	-0.00008	0.50648	-8.00E-05	9875.488	0	0.00003		9885.1	0.000228	0.000138	
16.2	1.95736	0.00012	0.34191	-0.00008	0.51053	-7.98E-05	9887.695	0	0.00003		9897.4	0.00023	0.0002	
16.22	1.89961	0.00033	0.34548	-0.00008	0.51439	-7.94E-05	9899.902	0.00001	0.00003		9909.6	0.000228	0.000256	
16.24	1.94921	0.00024	0.34916	-0.00008	0.51824	-7.88E-05	9912.109	0.00001	0.00003		9921.8	0.000226	0.000212	
16.26	1.88082	0.00015	0.35269	-0.00008	0.52207	-7.84E-05	9924.316	0.00001	0.00004		9934	0.000223	0.000119	
16.28	1.88467	0.00017	0.35624	-0.00008	0.52583	-7.81E-05	9936.523	0.00001	0.00005		9946.2	0.000217	0.000178	
16.3	1.89656	0.00012	0.35981	-0.00008	0.52962	-7.78E-05	9948.73	0.00001	0.00005		9958.5	0.000211	0.000258	
16.32	1.67878	0.00019	0.36294	-0.00008	0.53319	-7.75E-05	9960.938	0.00001	0.00004		9970.7	0.000214	0.000226	
16.34	1.6386	0.00012	0.36599	-0.00008	0.53651	-7.72E-05	9973.145	0.00001	0.00002		9982.9	0.000224	9.33E-05	
16.36	1.74254	0.00039	0.36925	-0.00008	0.53989	-7.67E-05	9985.352	0	0.00002		9995.1	0.000229	0.000127	
16.38	1.76548	0.00002	0.37256	-0.00008	0.5434	-7.63E-05	9997.559	0	0.00004		10007	0.000224	0.000253	
16.4	1.60396	0.00006	0.37554	-0.00008	0.54677	-7.62E-05	10009.77	0	0.00005		10020	0.000217	0.000264	
16.42	1.43996	0.0004	0.3782	-0.00008	0.54981	-7.57E-05	10021.97	0	0.00006		10032	0.000216	0.000154	
16.44	1.39498	-0.00007	0.38076	-0.00008	0.55265	-7.54E-05	10034.18	0	0.00006		10044	0.000219	9.86E-05	
16.46	1.40988	0.00027	0.38336	-0.00008	0.55545	-7.52E-05	10046.39	0	0.00006		10056	0.00022	0.000237	
16.48	1.4988	0.0003	0.38613	-0.00007	0.55836	-7.46E-05	10058.59	0	0.00006		10068	0.000221	0.000294	
16.5	1.45248	0	0.38881	-0.00007	0.56131	-7.43E-05	10070.8	0	0.00005		10081	0.000224	0.000225	
16.52	1.23211	0.00022	0.39105	-0.00007	0.564	-7.41E-05	10083.01	0	0.00004		10093	0.000226	8.61E-05	
16.54	1.08864	-0.00013	0.39301	-0.00007	0.56632	-7.40E-05	10095.21	0	0.00002		10105	0.000224	0.000137	
16.56	1.11172	0.00036	0.39501	-0.00007	0.56852	-7.38E-05	10107.42	0	0.00003		10117	0.00022	0.000227	
16.58	1.24159	0.00018	0.39726	-0.00007	0.57087	-7.32E-05	10119.63	0	0.00005		10130	0.000221	0.000213	
16.6	1.3006	-0.00074	0.39964	-0.00007	0.57341	-7.38E-05	10131.84	0	0.00006		10142	0.000223	0.000126	
16.62	1.38922	0.00066	0.40219	-0.00007	0.5761	-7.39E-05	10144.04	0	0.00006		10154	0.000222	0.000111	
16.64	1.34715	-0.00009	0.40466	-0.00007	0.57884	-7.33E-05	10156.25	0	0.00004		10166	0.000218	0.000175	
16.66	1.14268	0.00045	0.40673	-0.00007	0.58133	-7.29E-05	10168.46	0	0.00002		10178	0.000217	0.000179	
16.68	0.984	0.00021	0.40847	-0.00007	0.58345	-7.23E-05	10180.66	0	0.00001		10191	0.00022	0.000131	
16.7	1.08482	-0.00034	0.41041	-0.00007	0.58552	-7.24E-05	10192.87	0.00001	0.00003		10203	0.00022	0.000126	
16.72	1.13166	0.00011	0.41245	-0.00007	0.58774	-7.26E-05	10205.08	0.00001	0.00004		10215	0.000217	0.000174	

16.74	1.02083	0.00047	0.41427	-0.00007	0.58989	-7.21E-05	10217.29	0.00001	0.00006		10227	0.000215	0.000194	
16.76	0.80049	0.00031	0.41565	-0.00007	0.59171	-7.13E-05	10229.49	0	0.00008		10239	0.000218	0.000185	
16.78	0.65767	0.00005	0.41674	-0.00007	0.59317	-7.09E-05	10241.7	0	0.00009		10252	0.000219	0.000174	
16.8	0.81771	-0.00032	0.41815	-0.00007	0.59465	-7.12E-05	10253.91	0	0.00009		10264	0.000216	0.000154	
16.82	0.95655	-0.00033	0.41984	-0.00007	0.59642	-7.18E-05	10266.11	0	0.00008		10276	0.000213	0.000113	
16.84	0.90472	0.00067	0.42142	-0.00007	0.59828	-7.15E-05	10278.32	0	0.00005		10288	0.000214	0.00012	
16.86	0.74431	0.00017	0.42269	-0.00007	0.59993	-7.07E-05	10290.53	0	0.00003		10301	0.000217	0.000178	
16.88	0.64189	-0.00001	0.42375	-0.00007	0.60132	-7.05E-05	10302.73	0	0.00003		10313	0.000218	0.00019	
16.9	0.62387	0.0006	0.42477	-0.00007	0.60258	-6.99E-05	10314.94	0	0.00004		10325	0.000217	0.000132	
16.92	0.75383	-0.00052	0.42605	-0.00007	0.60396	-6.98E-05	10327.15	0	0.00004		10337	0.000218	0.000105	
16.94	0.83177	0.00037	0.42749	-0.00007	0.60555	-7.00E-05	10339.36	0	0.00004		10349	0.000218	0.000195	
16.96	0.68898	-0.00036	0.42864	-0.00007	0.60707	-7.00E-05	10351.56	0	0.00004		10362	0.000216	0.000235	
16.98	0.59927	-0.00026	0.42962	-0.00007	0.60836	-7.06E-05	10363.77	0.00001	0.00005		10374	0.000215	0.000168	
17	0.56937	0.00053	0.43053	-0.00007	0.60952	-7.03E-05	10375.98	0.00001	0.00006		10386	0.000216	5.86E-05	
17.02	0.52813	0.00005	0.43136	-0.00007	0.61062	-6.97E-05	10388.18	0.00001	0.00007		10398	0.000217	0.000188	
17.04	0.48289	-0.0002	0.43211	-0.00007	0.61163	-6.99E-05	10400.39	0.00001	0.00006		10411	0.000215	0.000287	
17.06	0.35455	0.00042	0.43259	-0.00007	0.61247	-6.97E-05	10412.6	0.00001	0.00004		10423	0.000213	0.000258	
17.08	0.18757	-0.00045	0.43274	-0.00007	0.61301	-6.97E-05	10424.8	0.00001	0.00002		10435	0.000213	0.000105	
17.1	0.19022	0.00014	0.4329	-0.00007	0.61339	-7.00E-05	10437.01	0	0.00003		10447	0.000215	0.000109	
17.12	0.41625	0.00029	0.43351	-0.00007	0.614	-6.96E-05	10449.22	0	0.00003		10459	0.000214	0.000274	
17.14	0.5933	0.00024	0.43447	-0.00007	0.61501	-6.91E-05	10461.43	0.00001	0.00003		10472	0.000211	0.000317	
17.16	0.68432	-0.00011	0.43561	-0.00007	0.61628	-6.89E-05	10473.63	0.00001	0.00003		10484	0.000211	0.000219	
17.18	0.78307	-0.00008	0.43695	-0.00007	0.61775	-6.91E-05	10485.84	0.00001	0.00002		10496	0.000213	6.73E-05	
17.2	0.78133	0.00079	0.43829	-0.00007	0.61932	-6.84E-05	10498.05	0.00001	0.00002		10508	0.000214	0.000192	
17.22	0.57627	-0.00068	0.43922	-0.00007	0.62067	-6.83E-05	10510.25	0	0.00004		10521	0.000212	0.000282	
17.24	0.64649	0.00015	0.44029	-0.00007	0.6219	-6.88E-05	10522.46	0	0.00005		10533	0.000211	0.000232	
17.26	0.73854	-0.00003	0.44154	-0.00007	0.62328	-6.87E-05	10534.67	0	0.00005		10545	0.00021	6.75E-05	
17.28	0.57964	-0.00015	0.44248	-0.00007	0.6246	-6.89E-05	10546.88	0	0.00005		10557	0.00021	0.000139	
17.3	0.22949	0.00043	0.44271	-0.00007	0.62541	-6.86E-05	10559.08	0	0.00005		10569	0.00021	0.000272	
17.32	0.0005	0.0002	0.44249	-0.00007	0.62564	-6.80E-05	10571.29	0	0.00007		10582	0.000211	0.000277	
17.34	0.16425	0.00006	0.44259	-0.00007	0.6258	-6.77E-05	10583.5	0	0.00008		10594	0.000214	0.000151	
17.36	0.2688	-0.00006	0.4429	-0.00007	0.62624	-6.77E-05	10595.7	0	0.00008		10606	0.000216	4.13E-05	
17.38	0.28957	-0.00024	0.44326	-0.00007	0.62679	-6.80E-05	10607.91	0	0.00007		10618	0.000214	0.000204	
17.4	0.20753	0.00038	0.44345	-0.00007	0.62729	-6.79E-05	10620.12	0.00001	0.00006		10630	0.000212	0.000264	
17.42	0.21914	0.00033	0.44366	-0.00007	0.62772	-6.72E-05	10632.32	0	0.00004		10643	0.000211	0.0002	
17.44	0.46193	0.00013	0.44436	-0.00007	0.6284	-6.67E-05	10644.53	0	0.00002		10655	0.00021	7.32E-05	
17.46	0.52581	-0.00061	0.44519	-0.00007	0.62939	-6.72E-05	10656.74	0	0.00001		10667	0.000208	0.000141	
17.48	0.52508	-0.00018	0.44602	-0.00007	0.63044	-6.80E-05	10668.95	0.00001	0.00001		10679	0.000206	0.000227	
17.5	0.47653	0.00048	0.44674	-0.00007	0.63144	-6.77E-05	10681.15	0	0.00002		10692	0.000207	0.000213	
17.52	0.40063	-0.0004	0.44732	-0.00007	0.63232	-6.76E-05	10693.36	0	0.00002		10704	0.000207	0.000126	
17.54	0.34031	0.0008	0.44778	-0.00007	0.63306	-6.72E-05	10705.57	0	0.00002		10716	0.000206	0.000115	
17.56	0.2298	-0.00055	0.44801	-0.00007	0.63363	-6.69E-05	10717.77	0	0.00003		10728	0.000206	0.000192	
17.58	0.25988	0.00013	0.44831	-0.00007	0.63412	-6.74E-05	10729.98	0	0.00003		10740	0.000209	0.000215	
17.6	0.16169	0.00016	0.44841	-0.00007	0.63454	-6.71E-05	10742.19	0	0.00003		10753	0.000212	0.000179	
17.62	0.10721	-0.00021	0.4484	-0.00007	0.63481	-6.71E-05	10754.39	0	0.00002		10765	0.00021	0.000152	
17.64	0.09307	-0.00011	0.44836	-0.00007	0.63501	-6.74E-05	10766.6	0	0.00003		10777	0.000208	0.00018	
17.66	0.08393	-0.00022	0.4483	-0.00007	0.63519	-6.78E-05	10778.81	0	0.00004		10789	0.000209	0.000202	
17.68	0.16772	0.00059	0.44841	-0.00007	0.63544	-6.74E-05	10791.02	0	0.00005		10802	0.000213	0.000188	

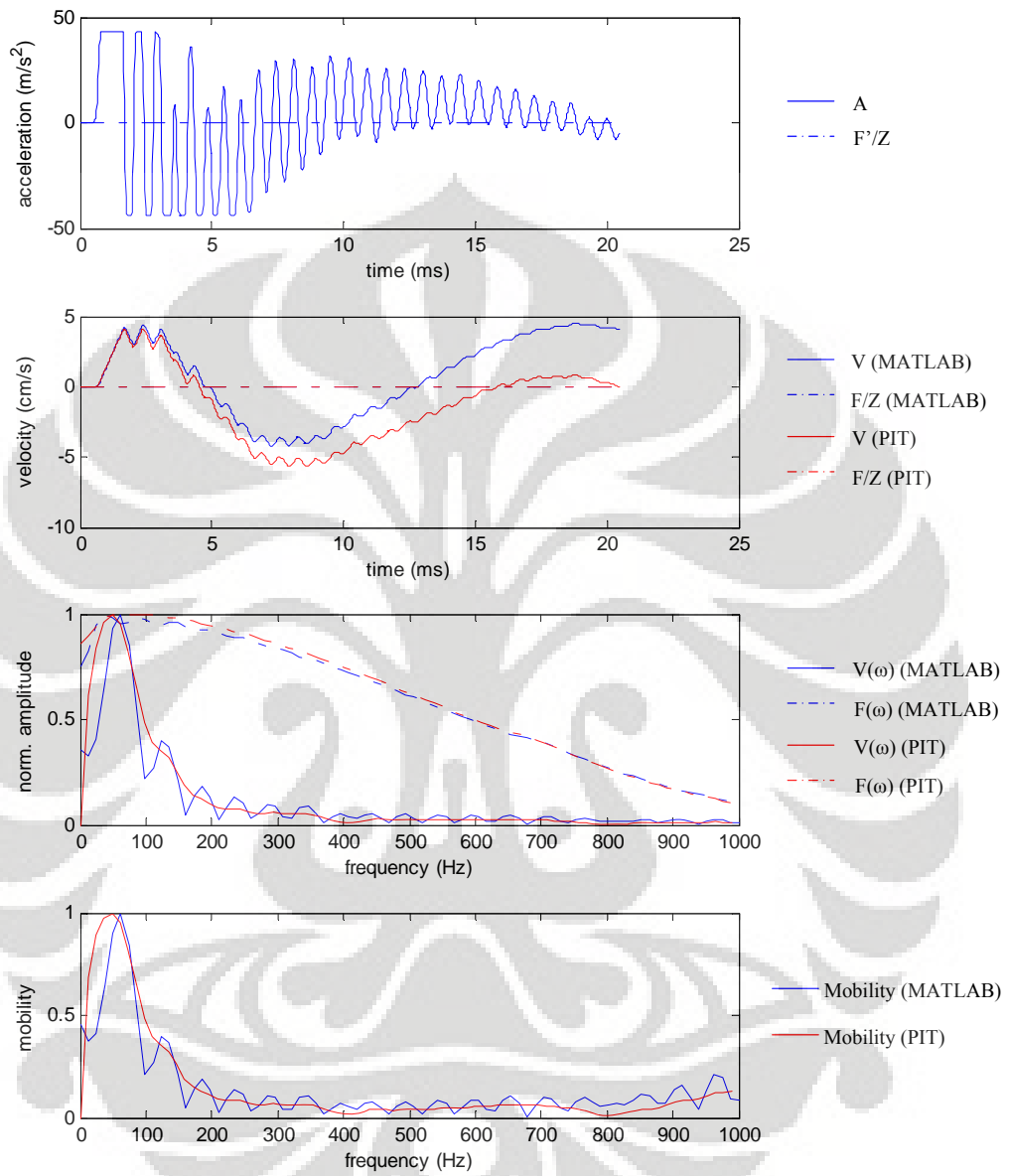
17.7	0.13164	-0.00049	0.44845	-0.00007	0.63574	-6.73E-05	10803.22	0.00001	0.00004		10814	0.000214	0.000162	
17.72	0.15236	0.00006	0.44853	-0.00007	0.63602	-6.77E-05	10815.43	0.00001	0.00003		10826	0.000214	0.000149	
17.74	0.11233	-0.00004	0.44853	-0.00007	0.63629	-6.77E-05	10827.64	0.00001	0.00004		10838	0.000213	0.000144	
17.76	0.01454	0.00022	0.44834	-0.00007	0.63641	-6.75E-05	10839.84	0	0.00008		10850	0.000212	0.000144	
17.78	-0.11616	0.00039	0.44788	-0.00007	0.63631	-6.69E-05	10852.05	0	0.00011		10863	0.000209	0.000157	
17.8	-0.15042	-0.00041	0.44735	-0.00007	0.63604	-6.69E-05	10864.26	0	0.00013		10875	0.000203	0.000159	
17.82	-0.12672	-0.0003	0.44688	-0.00007	0.63577	-6.77E-05	10876.46	0.00001	0.00012		10887	0.0002	0.00013	
17.84	-0.27652	0.00038	0.4461	-0.00007	0.63536	-6.76E-05	10888.67	0.00001	0.0001		10899	0.000203	0.000107	
17.86	-0.44364	-0.00003	0.44499	-0.00007	0.63464	-6.72E-05	10900.88	0.00001	0.00007		10912	0.000207	0.000144	
17.88	-0.45196	-0.0004	0.44386	-0.00007	0.63375	-6.77E-05	10913.09	0.00001	0.00005		10924	0.000207	0.000182	
17.9	-0.36691	0.00008	0.4429	-0.00007	0.63293	-6.80E-05	10925.29	0	0.00004		10936	0.000204	0.000171	
17.92	-0.36087	0.0003	0.44195	-0.00007	0.6322	-6.76E-05	10937.5	0	0.00003		10948	0.000204	0.000136	
17.94	-0.37501	-0.00023	0.44098	-0.00007	0.63147	-6.75E-05	10949.71	0	0.00003		10960	0.000204	0.000155	
17.96	-0.29645	0.00029	0.44016	-0.00007	0.63079	-6.75E-05	10961.91	0	0.00002		10973	0.000202	0.000199	
17.98	-0.26209	-0.00042	0.43941	-0.00007	0.63024	-6.76E-05	10974.12	0	0.00002		10985	0.000199	0.000194	
18	-0.20048	-0.00061	0.43879	-0.00007	0.62977	-6.86E-05	10986.33	0	0.00003		10997	0.0002	0.000137	
18.02	-0.12884	0.00052	0.43831	-0.00007	0.62944	-6.87E-05	10998.54	0	0.00003		11009	0.000203	0.000124	
18.04	-0.09953	0.00022	0.43788	-0.00007	0.62921	-6.80E-05	11010.74	0	0.00004		11022	0.000205	0.000188	
18.06	-0.14128	-0.00009	0.43738	-0.00007	0.62897	-6.78E-05	11022.95	0	0.00004		11034	0.000205	0.000215	
18.08	-0.30543	0.00033	0.43654	-0.00007	0.62853	-6.76E-05	11035.16	0	0.00003		11046	0.000204	0.000172	
18.1	-0.46237	-0.00027	0.43539	-0.00007	0.62776	-6.75E-05	11047.36	0	0.00003		11058	0.000204	0.000124	
18.12	-0.64347	-0.00065	0.43388	-0.00007	0.62665	-6.85E-05	11059.57	0.00001	0.00003		11070	0.000205	0.000171	
18.14	-0.75576	0.00036	0.43214	-0.00007	0.62525	-6.88E-05	11071.78	0	0.00004		11083	0.000204	0.000218	
18.16	-0.86965	0.00039	0.43018	-0.00007	0.62363	-6.80E-05	11083.98	0	0.00004		11095	0.000203	0.000189	
18.18	-0.93558	-0.0004	0.42808	-0.00007	0.62182	-6.80E-05	11096.19	0	0.00004		11107	0.000203	0.000114	
18.2	-0.92577	0.00028	0.42601	-0.00007	0.61996	-6.81E-05	11108.4	0	0.00004		11119	0.000204	0.000144	
18.22	-0.9068	-0.00026	0.42397	-0.00007	0.61813	-6.81E-05	11120.61	0	0.00004		11131	0.000205	0.00023	
18.24	-0.88712	-0.00063	0.42197	-0.00007	0.61634	-6.90E-05	11132.81	0	0.00004		11144	0.000203	0.000249	
18.26	-0.88385	0.0008	0.41998	-0.00007	0.61456	-6.88E-05	11145.02	0	0.00004		11156	0.0002	0.000187	
18.28	-0.78915	-0.00027	0.41818	-0.00007	0.61289	-6.83E-05	11157.23	0	0.00004		11168	0.000199	0.000102	
18.3	-0.78129	-0.00018	0.41639	-0.00007	0.61132	-6.88E-05	11169.43	0	0.00003		11180	0.0002	0.000131	
18.32	-0.87582	-0.00021	0.41441	-0.00007	0.60966	-6.91E-05	11181.64	0	0.00002		11193	0.000202	0.000179	
18.34	-0.90409	-0.00017	0.41238	-0.00007	0.60788	-6.95E-05	11193.85	0	0.00002		11205	0.000204	0.000161	
18.36	-0.93858	0.00091	0.41028	-0.00007	0.60604	-6.88E-05	11206.05	0	0.00004		11217	0.000204	0.000109	
18.38	-1.0047	-0.00054	0.40805	-0.00007	0.6041	-6.84E-05	11218.26	0	0.00006		11229	0.000203	0.000136	
18.4	-1.03615	-0.00077	0.40575	-0.00007	0.60206	-6.97E-05	11230.47	0	0.00005		11241	0.000201	0.000197	
18.42	-1.05821	0.00039	0.40341	-0.00007	0.59996	-7.01E-05	11242.68	0	0.00004		11254	0.000201	0.00021	
18.44	-1.04105	-0.00056	0.4011	-0.00007	0.59786	-7.03E-05	11254.88	0.00001	0.00003		11266	0.000201	0.000173	
18.46	-1.01915	0.00052	0.39884	-0.00007	0.5958	-7.03E-05	11267.09	0.00001	0.00003		11278	0.000201	0.000144	
18.48	-0.99458	0.00021	0.39663	-0.00007	0.59379	-6.96E-05	11279.3	0	0.00003		11290	0.0002	0.000166	
18.5	-1.05137	0.00005	0.3943	-0.00007	0.59174	-6.93E-05	11291.5	0	0.00003		11303	0.000198	0.000182	
18.52	-1.10356	0.00012	0.39187	-0.00007	0.58959	-6.92E-05	11303.71	0	0.00002		11315	0.000196	0.000154	
18.54	-1.04811	-0.00077	0.38955	-0.00007	0.58744	-6.98E-05	11315.92	0	0.00002		11327	0.000195	0.00012	
18.56	-1.04108	-0.00032	0.38724	-0.00007	0.58535	-7.09E-05	11328.13	0	0.00001		11339	0.000197	0.000143	
18.58	-1.12057	0.00011	0.38477	-0.00007	0.58319	-7.11E-05	11340.33	0	0.00001		11351	0.0002	0.000179	
18.6	-1.2835	0.00014	0.38198	-0.00007	0.58078	-7.09E-05	11352.54	0	0.00001		11364	0.000201	0.000171	
18.62	-1.33945	-0.00088	0.37908	-0.00007	0.57816	-7.16E-05	11364.75	0	0.00002		11376	0.0002	0.000126	
18.64	-1.34828	-0.00007	0.37616	-0.00007	0.57547	-7.25E-05	11376.95	0	0.00003		11388	0.000199	0.000117	

18.66	-1.43015	0.00039	0.37307	-0.00007	0.57269	-7.22E-05	11389.16	0	0.00004		11400	0.0002	0.000167	
18.68	-1.4811	0.00021	0.36989	-0.00007	0.56978	-7.16E-05	11401.37	0	0.00004		11413	0.000202	0.000196	
18.7	-1.47265	0.00022	0.36672	-0.00007	0.56683	-7.12E-05	11413.57	0	0.00003		11425	0.000202	0.000177	
18.72	-1.40284	-0.00068	0.36369	-0.00007	0.56395	-7.17E-05	11425.78	0	0.00002		11437	0.0002	0.000139	
18.74	-1.39182	0.00032	0.36068	-0.00007	0.56116	-7.20E-05	11437.99	0	0.00001		11449	0.000201	0.000147	
18.76	-1.37171	-0.00013	0.35771	-0.00007	0.55839	-7.18E-05	11450.2	0	0.00001		11461	0.000203	0.000181	
18.78	-1.31501	-0.00041	0.35486	-0.00007	0.55571	-7.24E-05	11462.4	0	0.00001		11474	0.000203	0.000184	
18.8	-1.38491	-0.00014	0.35186	-0.00007	0.55301	-7.29E-05	11474.61	0.00001	0.00001		11486	0.000198	0.000151	
18.82	-1.39611	-0.00028	0.34885	-0.00007	0.55023	-7.33E-05	11486.82	0.00001	0.00003		11498	0.000193	0.000137	
18.84	-1.36183	0.00019	0.3459	-0.00007	0.54747	-7.34E-05	11499.02	0	0.00005		11510	0.000193	0.000169	
18.86	-1.37415	0.00011	0.34292	-0.00007	0.54473	-7.31E-05	11511.23	0	0.00007		11522	0.000196	0.000191	
18.88	-1.43862	-0.00038	0.33982	-0.00007	0.54192	-7.34E-05	11523.44	0	0.00008		11535	0.000198	0.000172	
18.9	-1.49422	0.00055	0.33661	-0.00007	0.53899	-7.32E-05	11535.64	0.00001	0.00008		11547	0.000197	0.000136	
18.92	-1.43184	-0.00077	0.33352	-0.00007	0.53606	-7.34E-05	11547.85	0.00001	0.00007		11559	0.000195	0.000139	
18.94	-1.43225	0.00006	0.33043	-0.00007	0.5332	-7.42E-05	11560.06	0.00001	0.00005		11571	0.000195	0.000167	
18.96	-1.48432	0.00026	0.32724	-0.00007	0.53028	-7.38E-05	11572.27	0	0.00003		11584	0.000194	0.000172	
18.98	-1.58565	-0.00042	0.32384	-0.00007	0.52721	-7.40E-05	11584.47	0	0.00002		11596	0.000194	0.000159	
19	-1.67208	-0.00015	0.32028	-0.00008	0.52395	-7.46E-05	11596.68	0	0.00001		11608	0.000194	0.000166	
19.02	-1.7439	0.00045	0.31656	-0.00007	0.52054	-7.43E-05	11608.89	0	0.00001		11620	0.000196	0.000191	
19.04	-1.82122	-0.00042	0.3127	-0.00008	0.51697	-7.42E-05	11621.09	0	0.00001		11632	0.000198	0.000189	
19.06	-1.89683	-0.00038	0.30868	-0.00008	0.51325	-7.50E-05	11633.3	0	0.00001		11645	0.000197	0.000148	
19.08	-1.92887	0.00036	0.3046	-0.00008	0.50943	-7.51E-05	11645.51	0	0.00002		11657	0.000194	0.000105	
19.1	-1.90643	-0.00009	0.30056	-0.00008	0.50559	-7.56E-05	11657.71	0	0.00002		11669	0.000194	0.000133	
19.12	-1.86317	0.00057	0.29661	-0.00008	0.50182	-7.59E-05	11669.92	0	0.00003		11681	0.000196	0.00018	
19.14	-1.79803	-0.00033	0.29279	-0.00008	0.49816	-7.57E-05	11682.13	0	0.00003		11694	0.000198	0.000192	
19.16	-1.72256	-0.00011	0.28912	-0.00008	0.49464	-7.61E-05	11694.34	0.00001	0.00002		11706	0.000196	0.000169	
19.18	-1.60896	0.00018	0.28568	-0.00008	0.49131	-7.61E-05	11706.54	0.00001	0.00003		11718	0.000195	0.000144	
19.2	-1.55037	-0.00011	0.28235	-0.00008	0.48815	-7.60E-05	11718.75	0	0.00003		11730	0.000195	0.000157	
19.22	-1.52545	-0.00007	0.27907	-0.00008	0.48508	-7.62E-05	11730.96	0	0.00004		11742	0.000195	0.000185	
19.24	-1.54442	-0.00014	0.27576	-0.00008	0.48201	-7.64E-05	11743.16	0	0.00004		11755	0.000193	0.000195	
19.26	-1.56515	0.00041	0.27241	-0.00008	0.47889	-7.61E-05	11755.37	0	0.00003		11767	0.000192	0.000183	
19.28	-1.57617	-0.00025	0.26903	-0.00008	0.47575	-7.59E-05	11767.58	0.00001	0.00002		11779	0.000192	0.000167	
19.3	-1.56202	-0.00003	0.26568	-0.00008	0.47262	-7.65E-05	11779.79	0	0.00002		11791	0.000195	0.000167	
19.32	-1.54545	0.00002	0.26237	-0.00008	0.46951	-7.68E-05	11791.99	0	0.00004		11804	0.000196	0.000173	
19.34	-1.65816	-0.00049	0.25883	-0.00008	0.46631	-7.72E-05	11804.2	0	0.00005		11816	0.000194	0.000162	
19.36	-1.7211	0.00013	0.25516	-0.00008	0.46293	-7.76E-05	11816.41	0	0.00005		11828	0.000191	0.000143	
19.38	-1.70163	0.00038	0.25153	-0.00008	0.4595	-7.71E-05	11828.61	0	0.00004		11840	0.000191	0.000152	
19.4	-1.7124	-0.00074	0.24788	-0.00008	0.45609	-7.75E-05	11840.82	0	0.00003		11852	0.000192	0.000183	
19.42	-1.70526	0.00046	0.24425	-0.00008	0.45267	-7.77E-05	11853.03	0	0.00003		11865	0.000193	0.000194	
19.44	-1.77172	-0.00006	0.24048	-0.00008	0.44919	-7.73E-05	11865.23	0	0.00003		11877	0.000192	0.000173	
19.46	-1.81998	0.0003	0.23661	-0.00008	0.4456	-7.71E-05	11877.44	0	0.00003		11889	0.000191	0.000144	
19.48	-1.95241	-0.00022	0.23249	-0.00008	0.44183	-7.70E-05	11889.65	0	0.00002		11901	0.000192	0.000142	
19.5	-2.05006	-0.00091	0.22816	-0.00008	0.43783	-7.81E-05	11901.86	0	0.00003		11913	0.000192	0.000146	
19.52	-1.98619	0.00009	0.22396	-0.00008	0.43379	-7.90E-05	11914.06	0	0.00005		11926	0.000191	0.000134	
19.54	-1.91985	-0.00048	0.2199	-0.00008	0.42989	-7.94E-05	11926.27	0.00001	0.00006		11938	0.000191	0.000142	
19.56	-1.86726	0.00023	0.21594	-0.00008	0.4261	-7.96E-05	11938.48	0.00001	0.00005		11950	0.000192	0.00019	
19.58	-1.91244	0.00005	0.21189	-0.00008	0.42232	-7.93E-05	11950.68	0	0.00003		11962	0.000192	0.000217	
19.6	-1.90386	0.00004	0.20786	-0.00008	0.4185	-7.92E-05	11962.89	0	0.00002		11975	0.000192	0.000181	

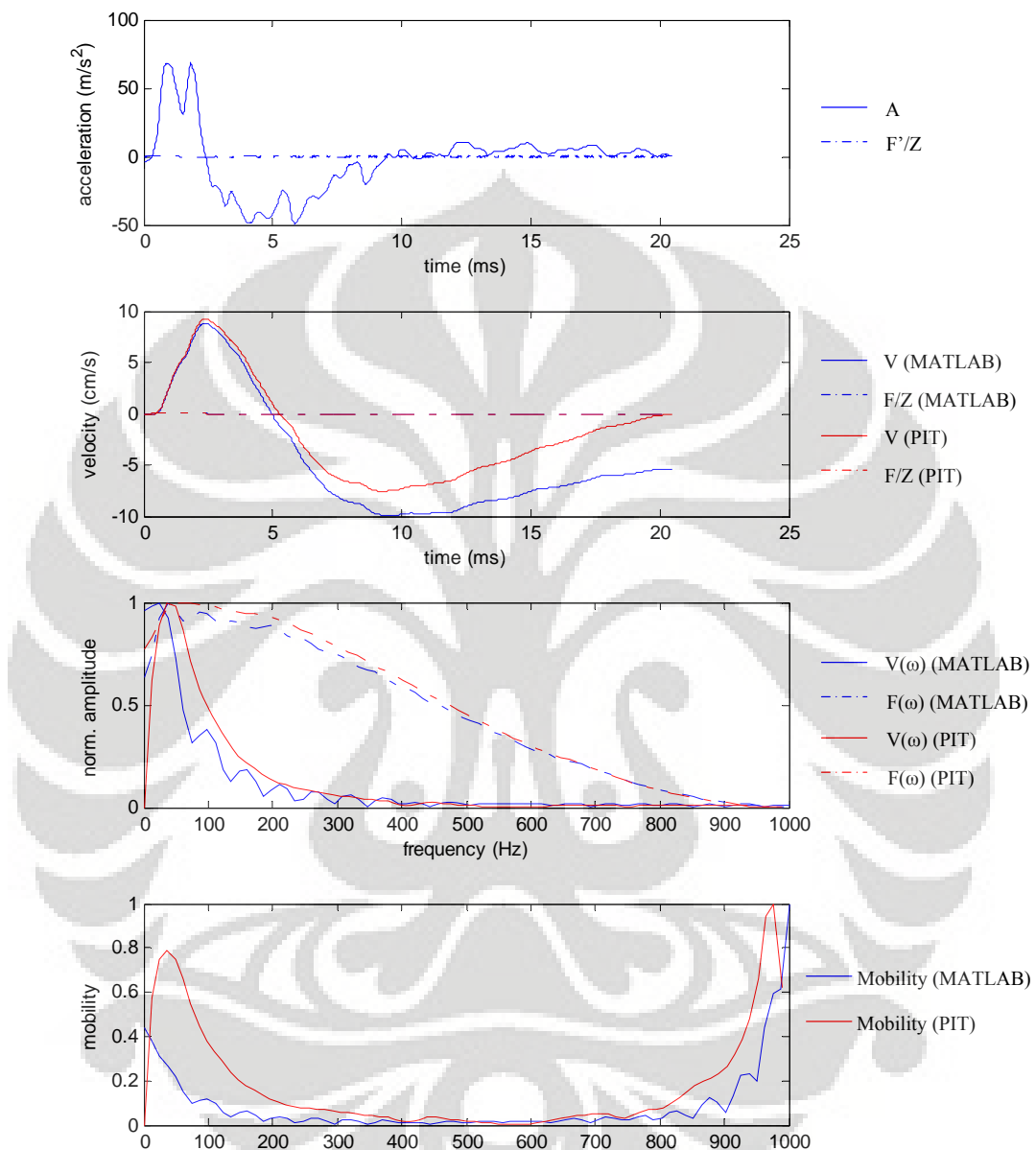
19.62	-1.87496	0.00031	0.20388	-0.00008	0.41472	-7.89E-05	11975.1	0.00001	0.00001		11987	0.000189	8.26E-05	
19.64	-1.85488	-0.00113	0.19995	-0.00008	0.41099	-7.97E-05	11987.3	0.00001	0.00001		11999	0.000188	5.48E-05	
19.66	-1.78879	0.00026	0.19615	-0.00008	0.40735	-8.06E-05	11999.51	0.00001	0.00002		12011	0.000189	0.000154	
19.68	-1.83379	-0.00025	0.19226	-0.00008	0.40373	-8.06E-05	12011.72	0	0.00004		12023	0.000191	0.00019	
19.7	-1.90373	-0.00004	0.18822	-0.00008	0.39999	-8.09E-05	12023.93	0	0.00005		12036	0.00019	0.000151	
19.72	-1.90106	0.00011	0.1842	-0.00008	0.39619	-8.08E-05	12036.13	0	0.00006		12048	0.000188	8.58E-05	
19.74	-1.86885	-0.00063	0.18024	-0.00008	0.39242	-8.13E-05	12048.34	0	0.00005		12060	0.000188	0.000113	
19.76	-1.90494	0.00088	0.1762	-0.00008	0.38864	-8.11E-05	12060.55	0	0.00004		12072	0.000189	0.000162	
19.78	-1.9891	-0.00018	0.172	-0.00008	0.38475	-8.04E-05	12072.75	0	0.00003		12085	0.00019	0.000161	
19.8	-2.03111	-0.00052	0.16771	-0.00008	0.38073	-8.11E-05	12084.96	0	0.00003		12097	0.000189	0.000131	
19.82	-2.12179	0.00045	0.16324	-0.00008	0.37657	-8.11E-05	12097.17	0	0.00002		12109	0.000188	0.000139	
19.84	-2.24993	-0.00083	0.15852	-0.00008	0.3722	-8.15E-05	12109.38	0	0.00001		12121	0.00019	0.000175	
19.86	-2.3449	0.00017	0.15361	-0.00008	0.36761	-8.22E-05	12121.58	0	0.00002		12133	0.000191	0.000188	
19.88	-2.41796	0.00087	0.14855	-0.00008	0.36285	-8.11E-05	12133.79	0	0.00003		12146	0.00019	0.000174	
19.9	-2.47941	-0.00087	0.14336	-0.00008	0.35795	-8.11E-05	12146	0.00001	0.00003		12158	0.000187	0.000158	
19.92	-2.48382	0.00088	0.13817	-0.00008	0.35298	-8.11E-05	12158.2	0	0.00002		12170	0.000186	0.000147	
19.94	-2.43478	-0.00065	0.13308	-0.00008	0.34807	-8.09E-05	12170.41	0	0.00003		12182	0.000188	0.000129	
19.96	-2.38543	-0.00022	0.12808	-0.00008	0.34325	-8.18E-05	12182.62	0	0.00004		12195	0.00019	0.00012	
19.98	-2.31873	0.00004	0.12322	-0.00008	0.33854	-8.19E-05	12194.82	0	0.00004		12207	0.00019	0.000141	
20	-2.25049	-0.00022	0.11849	-0.00008	0.33397	-8.21E-05	12207.03	0.00001	0.00003		12219	0.000188	0.000161	
20.02	-2.23129	0.00016	0.11381	-0.00008	0.32949	-8.22E-05	12219.24	0.00001	0.00002		12231	0.000187	0.00015	
20.04	-2.215	0.00009	0.10915	-0.00008	0.32504	-8.19E-05	12231.45	0.00001	0.00002		12243	0.000187	0.000133	
20.06	-2.19481	-0.0006	0.10454	-0.00008	0.32063	-8.24E-05	12243.65	0.00001	0.00003		12256	0.000186	0.000155	
20.08	-2.26974	-0.00029	0.09977	-0.00008	0.31617	-8.33E-05	12255.86	0	0.00004		12268	0.000185	0.000188	
20.1	-2.40712	-0.00036	0.09474	-0.00008	0.31149	-8.40E-05	12268.07	0	0.00003		12280	0.000186	0.000181	
20.12	-2.47897	0.0004	0.08955	-0.00008	0.30661	-8.39E-05	12280.27	0	0.00002		12292	0.000188	0.000135	
20.14	-2.50421	0.00041	0.08432	-0.00008	0.30162	-8.31E-05	12292.48	0	0.00002		12304	0.000187	0.000108	
20.16	-2.52427	-0.00037	0.07905	-0.00008	0.2966	-8.31E-05	12304.69	0.00001	0.00002		12317	0.000184	0.000144	
20.18	-2.51579	0.00031	0.07379	-0.00008	0.29156	-8.31E-05	12316.89	0.00001	0.00002		12329	0.000184	0.000173	
20.2	-2.44801	0.00039	0.06867	-0.00008	0.28659	-8.24E-05	12329.1	0.00001	0.00002		12341	0.000188	0.000164	
20.22	-2.41448	-0.00013	0.06362	-0.00008	0.28173	-8.22E-05	12341.31	0	0.00002		12353	0.000191	0.000138	
20.24	-2.43915	0.00031	0.05851	-0.00008	0.27688	-8.20E-05	12353.52	0	0.00003		12366	0.000189	0.000132	
20.26	-2.45402	-0.00077	0.05338	-0.00008	0.27198	-8.25E-05	12365.72	0	0.00004		12378	0.000186	0.000141	
20.28	-2.46646	-0.00037	0.04822	-0.00008	0.26706	-8.36E-05	12377.93	0	0.00004		12390	0.000186	0.000139	
20.3	-2.50906	0.00117	0.04298	-0.00008	0.26209	-8.28E-05	12390.14	0	0.00004		12402	0.000188	0.00013	
20.32	-2.58201	-0.00095	0.03759	-0.00008	0.257	-8.26E-05	12402.34	0	0.00003		12414	0.000189	0.000128	
20.34	-2.62477	0.00046	0.03212	-0.00008	0.25179	-8.31E-05	12414.55	0	0.00001		12427	0.000188	0.000129	
20.36	-2.65612	-0.00073	0.02658	-0.00008	0.24651	-8.33E-05	12426.76	0	0.00002		12439	0.000186	0.000124	
20.38	-2.67953	0.00003	0.021	-0.00008	0.24117	-8.40E-05	12438.96	0	0.00003		12451	0.000184	0.000122	
20.4	-2.63737	0.00046	0.0155	-0.00008	0.23586	-8.36E-05	12451.17	0	0.00004		12463	0.000182	0.000133	
20.42	-2.55979	-0.00078	0.01016	-0.00009	0.23066	-8.39E-05	12463.38	0.00001	0.00004		12476	0.00018	0.000147	
20.44	-2.47213	0.00103	0.00499	-0.00008	0.22563	-8.36E-05	12475.59	0.00001	0.00003		12488	0.00018	0.000153	
20.46	-2.38141	-0.00062	0	-0.00008	0.22077	-8.32E-05	12487.79	0	0.00003		12500	0.000183	0.000154	
						...	24987.79	0.00041	0.0014		25012	0.00013	0.000101	

**LAMPIRAN 4**  
**Perbandingan Grafik**  
**Antara Hasil Hitung MATLAB dan PIT**

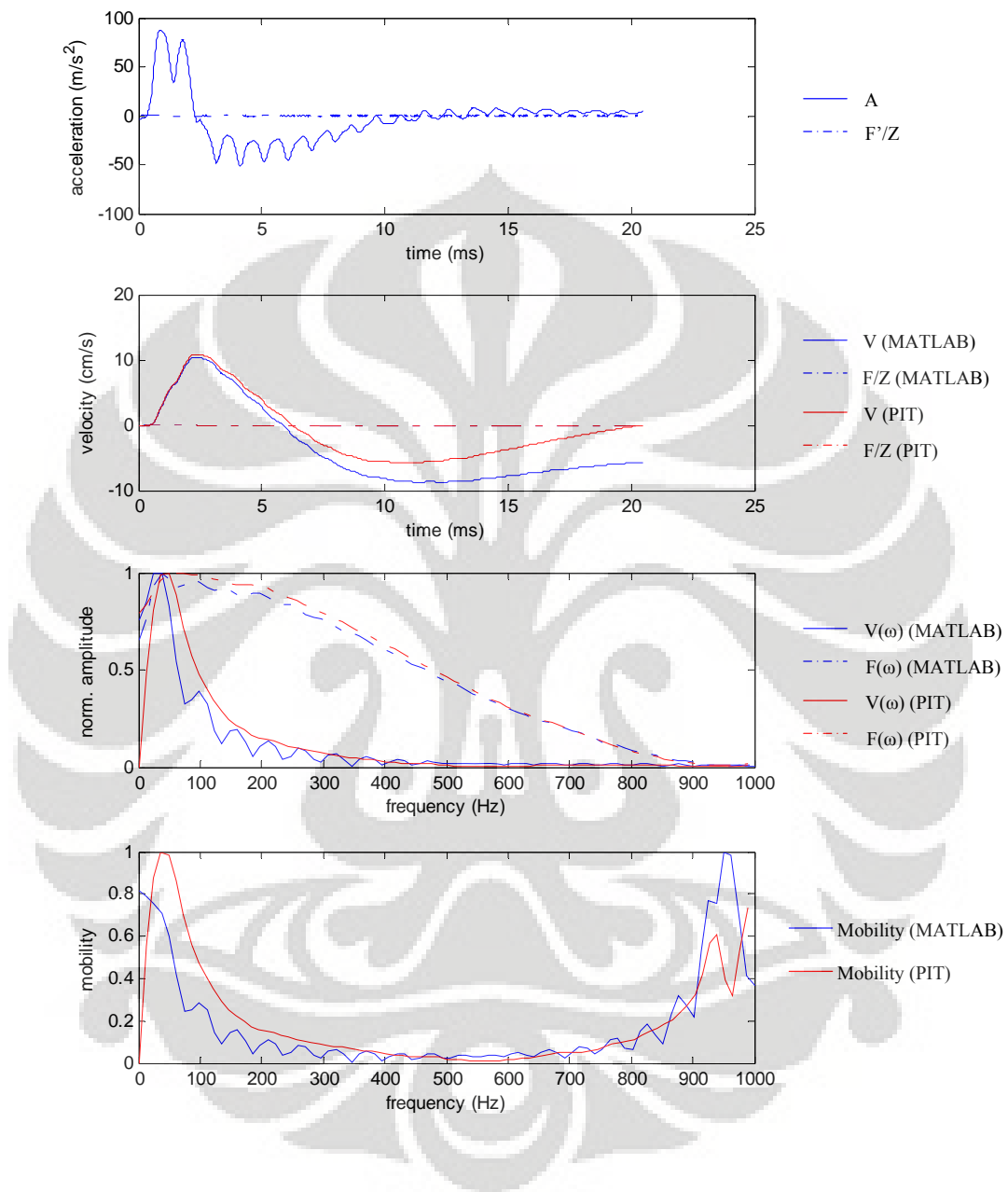
## TIANG BETON 1 (1 M)



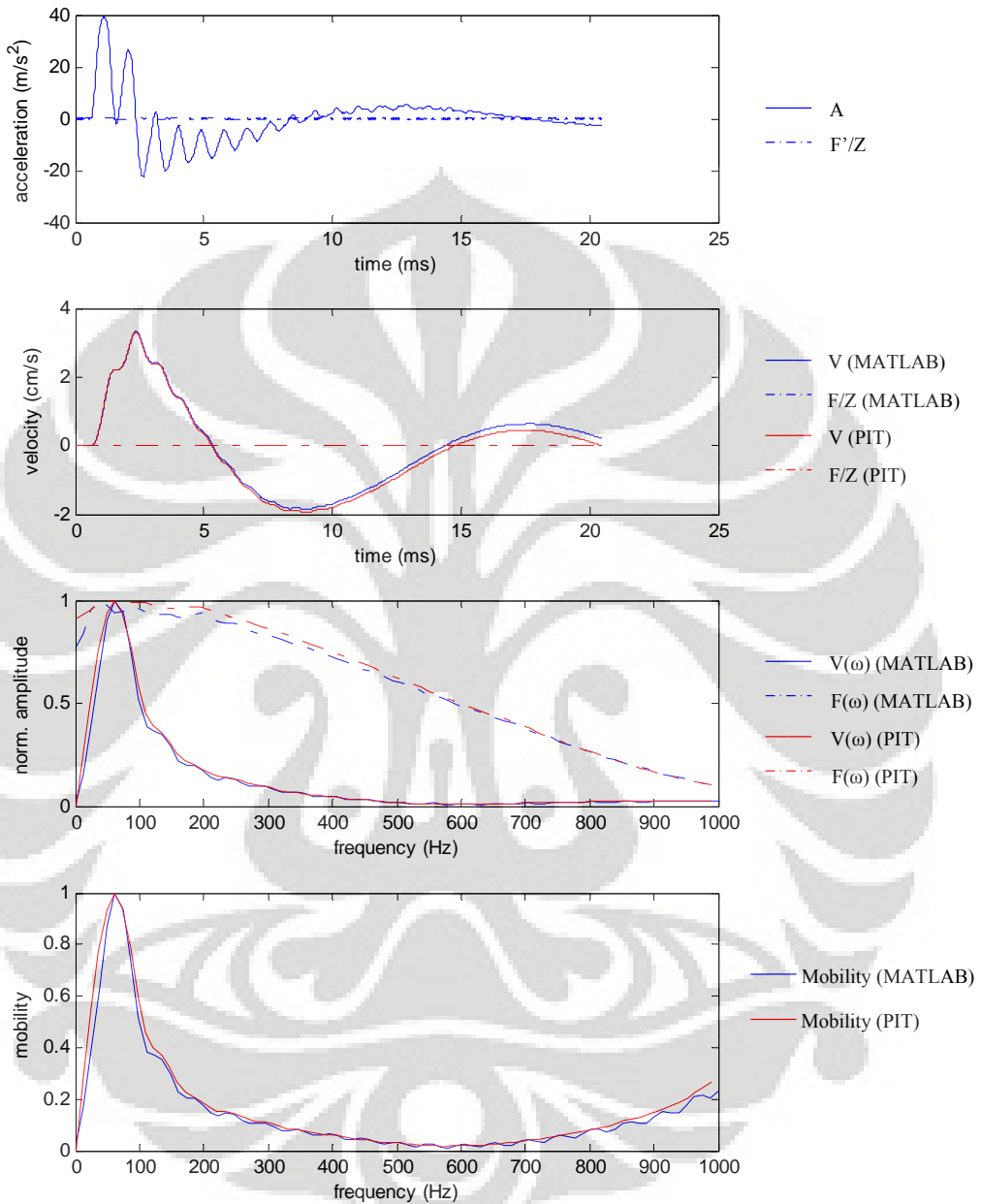
## TIANG BETON 2 (1,5 M)



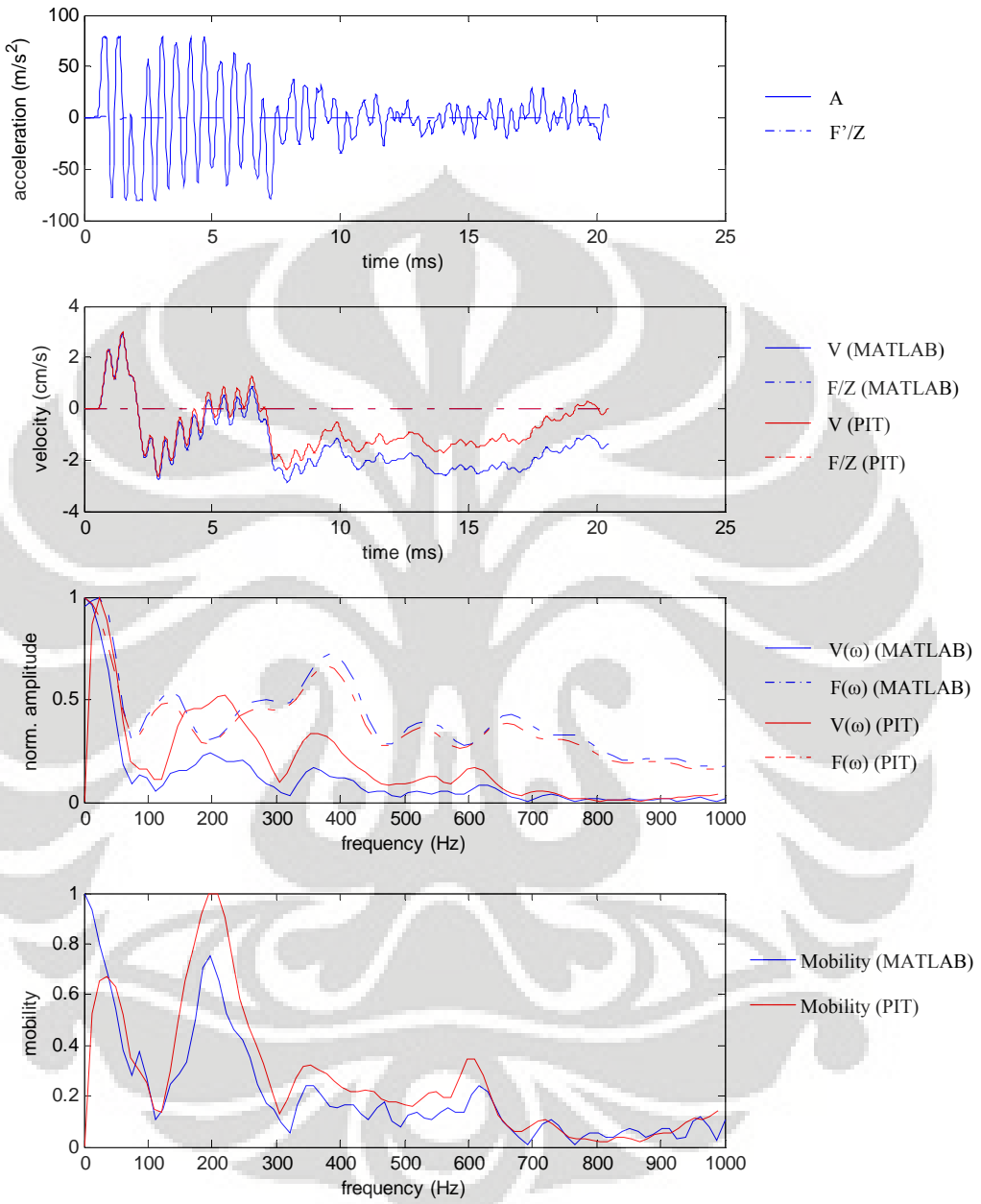
## TIANG BETON 3 (1,5 M DEFECT)



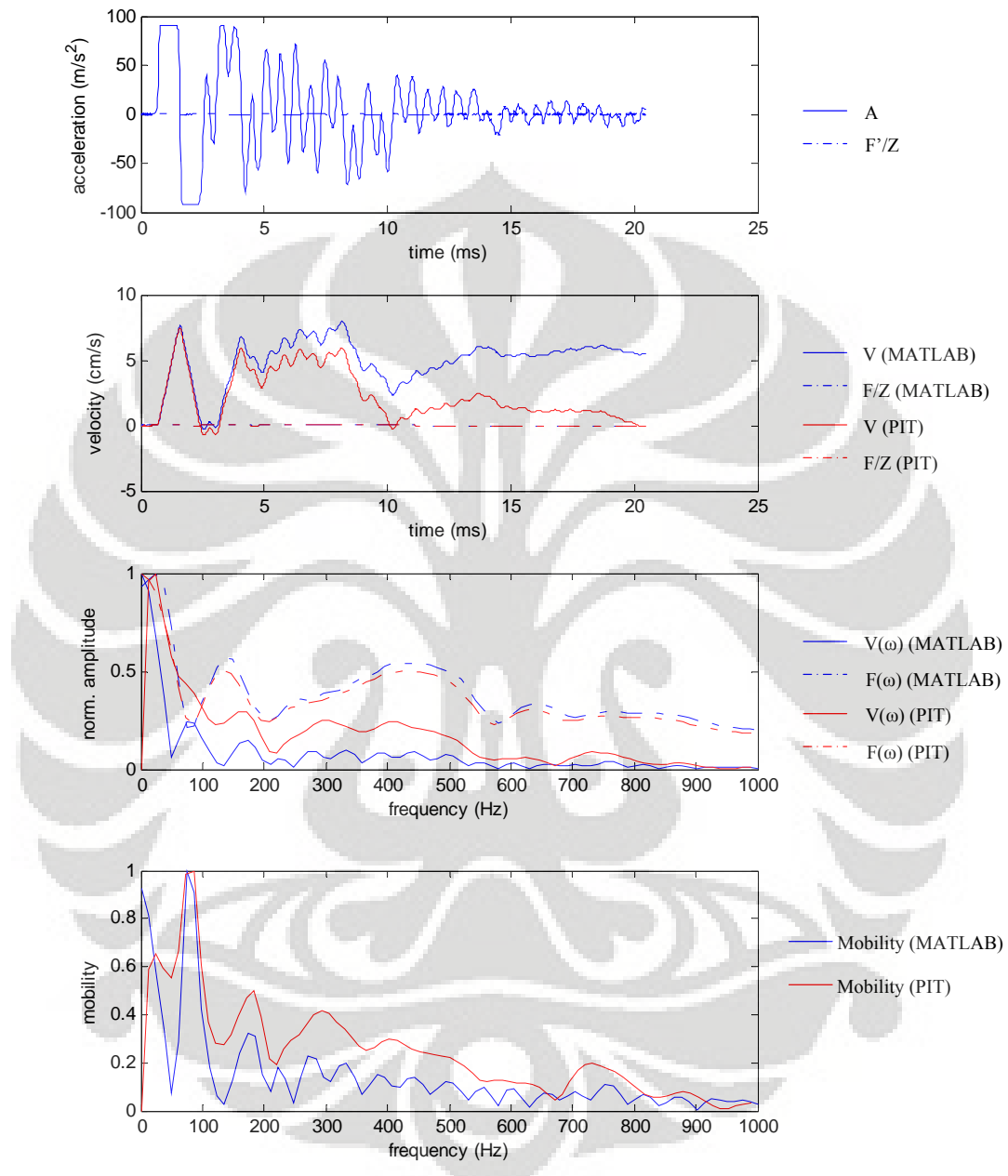
## TIANG BETON 4 (1,5 M RC)



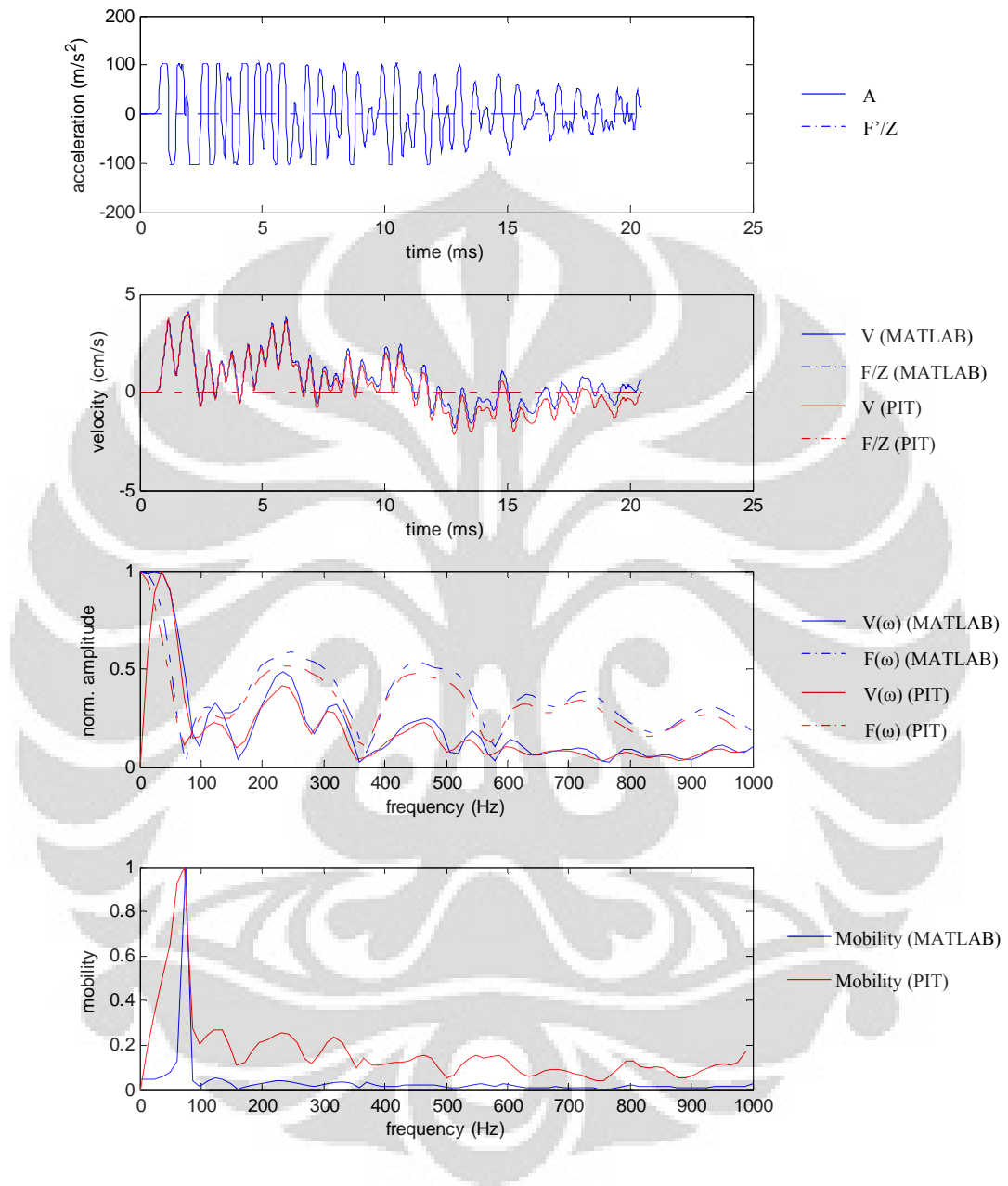
## TIANG BAJA 1 M PENAMPANG 2,5 × 2,5



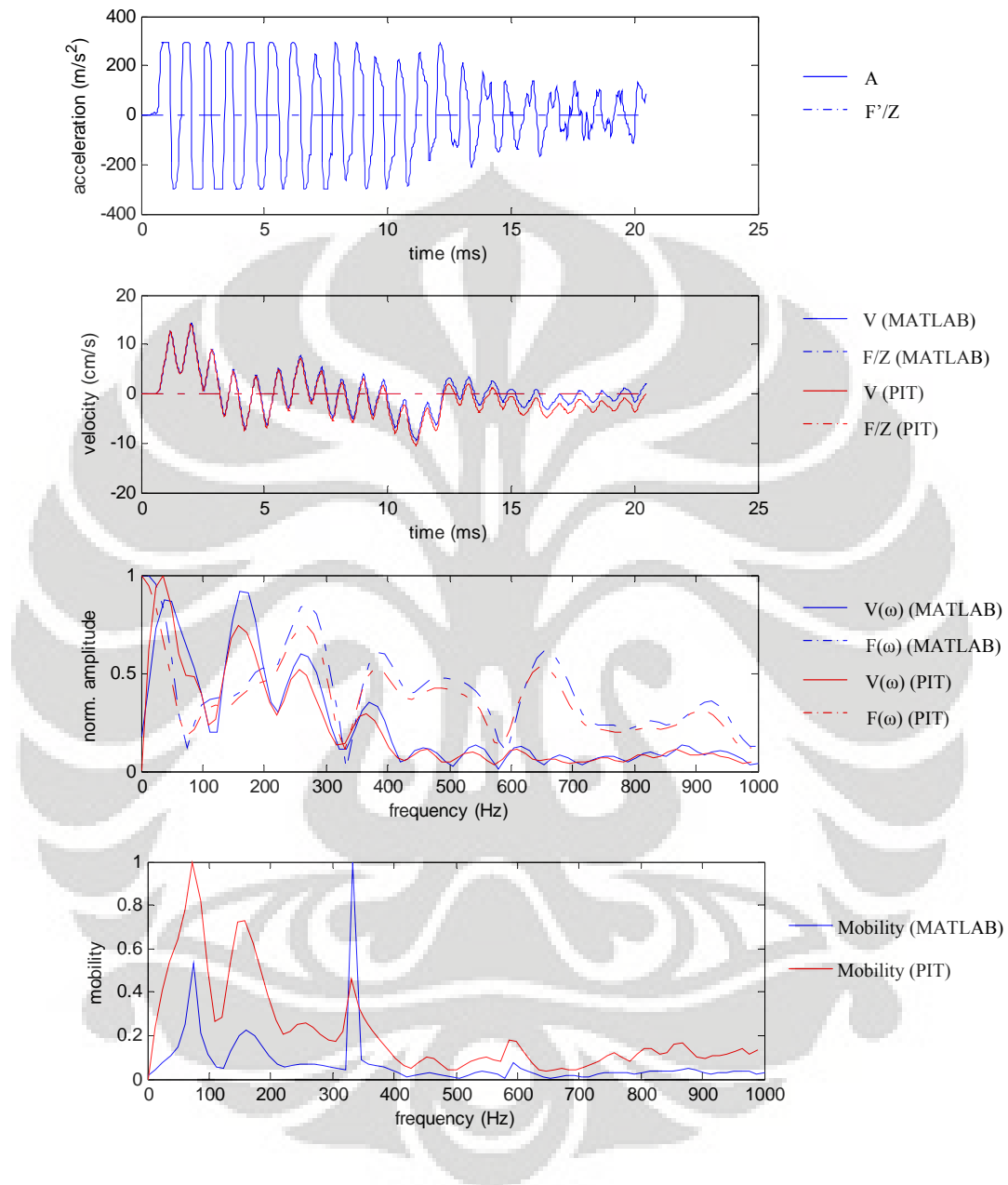
## TIANG BAJA 1 M PENAMPANG 1,5 × 1,5



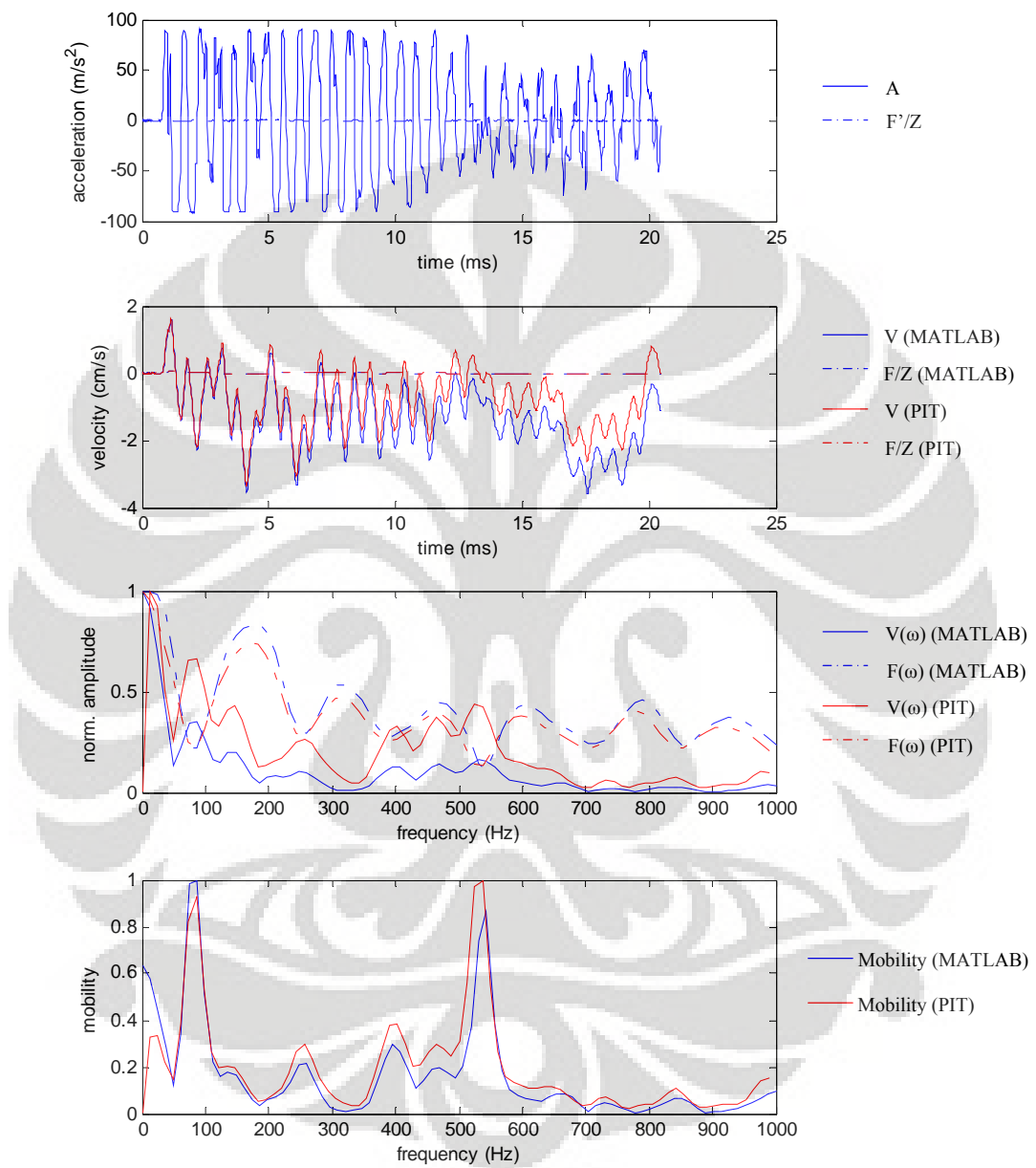
## TIANG BAJA 2 M PENAMPANG 2,5 × 2,5



## TIANG BAJA 2 M PENAMPANG 1,5 × 1,5



## TIANG BAJA 3 M PENAMPANG 2,5 ×2,5



## TIANG BAJA 3 M PENAMPANG 1,5 × 1,5

